

85 Años
1934 - 2019
Por el control
del cáncer

Anuario

Estadístico

◆ 2016 ◆



Instituto Nacional
de Cancerología-ESE
Colombia
Por el control del cáncer

Anuario

Estadístico

◆ 2016 ◆

Instituto Nacional de Cancerología - ESE
Anuario estadístico 2016

Volumen 14

ISSN: 1909-8995

Página web: www.cancer.gov.co

Diseño y diagramación:

Ma. Angelik Bautista Vargas
Oficina de Comunicaciones
Instituto Nacional de Cancerología - ESE

Corrección de estilo:

Carlos David Contreras

Impreso en:

Strategy Ltda.
Bogotá, mayo de 2019



**Instituto Nacional
de Cancerología-ESE
Colombia**

Por el control del cáncer

JUÁN PABLO URIBE RESTREPO

Ministro de Salud y Protección Social

CAROLINA WIESNER CEBALLOS

Directora General

ESPERANZA PEÑA TORRES

Subdirectora de Investigaciones, Vigilancia
Epidemiológica, Promoción y Prevención

JESÚS ANTONIO ACOSTA PEÑALOSA

Subdirector Médico y de Docencia

JUAN JOSÉ PÉREZ ACEVEDO

Subdirector Administrativo y Financiero

INSTITUTO NACIONAL DE CANCEROLOGÍA - ESE

Constanza Pardo

Edición

Coordinadora del Grupo Vigilancia Epidemiológica del Cáncer

Comité de Publicaciones Científicas

Carolina Wiesner

Julie Milena Galvis

Raúl Hernando Murillo

Enrique Cadena

Ricardo Sánchez

Carlos Arturo Hernández

Alfredo Romero

Luis Felipe Torres

Jean Paul Vernot

Sandra Quijano

Stefano Vinaccia

Carlos Alfonso Duarte

Ricardo Brugés

María Mercedes Bravo

Mónica Molano

Marion Piñeros

Jovanny Zabaleta

Luis Carvajal

Jesús Pérez

Carmen García

Grupos de trabajo

Grupo Vigilancia Epidemiológica del Cáncer

Constanza Pardo – Coordinadora de grupo. Procesamiento, compilación y edición

Yudy Juliana Valdivieso – Profesional especializada. Procesamiento

María Elena Reyes – Profesional especializada. Procesamiento

Nury Farieta – Auxiliar administrativo. Colaboradora

Christian Mendoza – Auxiliar administrativo. Colaborador

Ingrid Ruiz – Auxiliar administrativo. Colaboradora

Jenny Patricia Castro – Técnico. Colaboradora

Oficina Asesora de Planeación y Sistemas de Información

Carlos Alberto Gómez – Técnico administrativo. Procesamiento

Grupo Área Análisis de datos

Francisco Avendaño – Profesional especializado. Procesamiento y compilación

Grupo de Infecciones Asociadas al Cuidado de la Salud

Cielo De Jesús Almenares – Profesional especializada. Compilación

Ángela Piraján – Profesional especializada. Procesamiento

Grupo Área Investigaciones

Diana Patricia Cárdenas – Profesional especializada. Procesamiento y compilación

Agradecimientos

El Instituto Nacional de Cancerología desea expresar su agradecimiento a todos los grupos por su aporte y contribución en la publicación generada: Clínicas y Servicios, Grupo de Patología, Grupo de Archivo de Historias Clínicas, Grupo de Enfermería y Grupo de Sistemas, cuyos integrantes siempre contribuyen de manera importante a esta publicación.

Contenido

Presentación

6

Foreword

8

Registro institucional de cáncer

13

Mortalidad institucional

63

Producción hospitalaria

77

Infecciones asociadas a la atención en salud

85

Proyectos institucionales de investigación

93

Publicaciones científicas

107

Glosario

121

Referencias

123

Presentación

El Instituto Nacional de Cancerología (INC), institución del estado colombiano que trabaja en el control integral del cáncer presenta la gestión realizada en la institución con el Anuario estadístico 2016.

El Anuario estadístico 2016 (décima cuarta edición) presenta las principales estadísticas e indicadores de los procesos misionales que se desarrollan en el Instituto, como son el de atención oncológica específica, gestión ambulatoria y hospitalaria, investigación y salud pública. Esta publicación está compuesta por seis capítulos: en el primero se presenta la información del registro institucional de cáncer. El segundo capítulo muestra el comportamiento de la mortalidad institucional; el tercero, la producción hospitalaria; el cuarto, las infecciones asociadas a la atención en salud (IAAS); el quinto, los proyectos institucionales de investigación; y el sexto, las publicaciones científicas.

Se presentan datos correspondientes a nuestros pacientes residentes en Bogotá, correspondiente al 48% de los casos totales de cáncer en el Instituto. Por ser una proporción importante de atención en cáncer, los datos pueden ser usados para establecer acciones en el Distrito de Bogotá.

En el 2016 se atendieron 6.958 casos nuevos de cáncer en el INC. Los tres grupos principales de tumores malignos, en orden descendente fueron: piel, sistema digestivo y aparato genital femenino. Las principales localizaciones tanto en hombres como mujeres fueron: piel, mama, estómago, cuello del útero, próstata, colon-recto, tiroides y sistema hematopoyético (fig. 1).

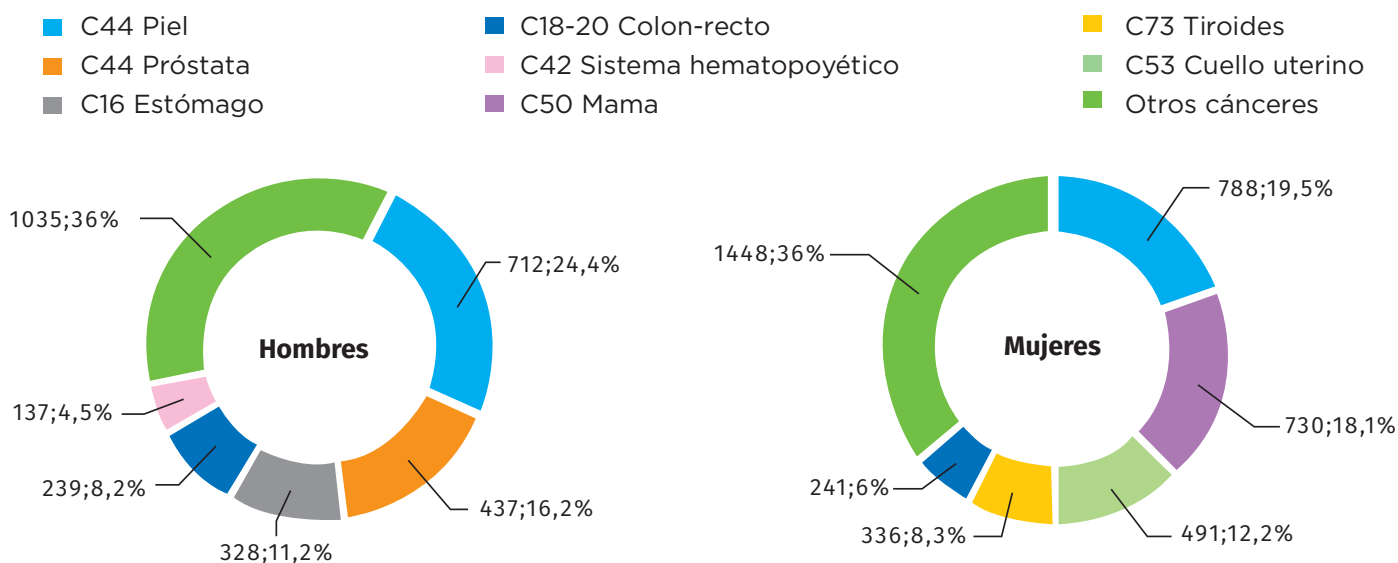


Figura 1. Primeras localizaciones de cáncer, hombres y mujeres, INC, 2016

En relación con los tratamientos realizados en el INC, quedó un porcentaje de casos que no lo recibe (37,2%). De este total, la no atención obedece a causas como la no continuidad de los pacientes en su proceso de atención en el INC (70%), pacientes con tratamientos previos realizados y que ingresaron al INC para control y seguimiento (15,7%), y pacientes que murieron sin alcanzar a tener un tratamiento (10,8%) (Ver glosario, término “tratamiento”). Este comportamiento hace parte de las limitaciones del sistema de salud colombiano que no facilita una atención integral del cancer.

Se certificaron 1.242 defunciones, de las que 66,5% eran residentes de Bogotá, principalmente en las localidades de San Cristóbal (12,3%), Kennedy (12,1%) y Rafael Uribe (10%). Del total de las muertes, los tumores malignos ocupan el primer lugar como causa básica (97,1%), seguido de las enfermedades hipertensivas (0,6%) y enfermedad por VIH (0,5%). Se continuaron con las actividades de producción asistencial con un total de 158.473 consultas y un índice global de infecciones asociadas a la atención en salud de 10%.

Resaltar que en la población atendida en el INC, más del 45% de los casos nuevos de cáncer al año corresponde a mayores de 65 años. Dentro de la revisión de especialidades no se encuentra la evaluación geriátrica, herramienta que actualmente es clave en la atención de personas mayores en pro de mejores resultados clínicos. Esto se convierte en un reto para la institución, donde al comportamiento clínico de un paciente con cáncer se suma el proceso de envejecimiento, haciéndolo más vulnerable.

En total hubo 143 proyectos institucionales de investigación. Del año en vigencia fueron aprobados (9,1%), en curso (75,5%) y cerrados (15,4%). Se realizaron en total 43 publicaciones científicas: publicaciones en revistas internacionales (39,5%), en revistas nacionales (25,6%), participación en publicaciones extrainstitucionales (30,2%) y la publicación de 2 libros. Todos los artículos científicos corresponden a un primer autor institucional, y se describe según la forma de citación. La excepción está en los artículos extrainstitucionales, donde el primer autor corresponde a la institución líder de la publicación.

Como Directora General del INC, quiero expresar mi agradecimiento a los distintos servicios por su dedicación en la consignación de los datos en la historia clínica. De igual manera a la oficina asesora de planeación, al comité de infecciones intrahospitalarias, al grupo área de investigaciones y al grupo de vigilancia epidemiológica del cáncer por su aporte en las actividades de compilación de esta publicación.

Al igual que las otras ediciones, este Anuario estadístico 2016 se pone a disposición para el mayor número de usuarios, entes interesados, la comunidad en general y en forma muy especial a los funcionarios de la institución. El documento lo encontrará en la página web del INC: <http://www.cancer.gov.co/> (sección de publicaciones).

Este Anuario, como producto final de la gestión institucional, tiene tres años de atraso en su publicación debido a la complejidad de la metodología en la captura y gestión de la información. Esta metodología garantiza la calidad y confiabilidad de los datos reportados. Actualmente, el INC se encuentra en el desarrollo y adquisición de recursos tecnológicos que mejorarán la oportunidad de esta publicación manteniendo el rigor metodológico y la calidad de la información.

Carolina Wiesner Ceballos
Directora General

Foreword

The Colombian National Cancer Institute (NCI) is a Colombian State Institution that works in the comprehensive control of cancer and reports a summary of its output in Annual Reports – of which this 14th edition reports on key statistics and indicators of processes executed at the Institute in 2016

Topics covered in this report are specific cancer care provided, ambulatory and hospital management, research and public health activities. The reports consists of six chapters: the first chapter contains information derived from the hospital-based cancer registry; chapter 2 presents the institutional mortality statistics; the third chapter discusses the hospital production; the fourth shows statistics on healthcare-associated infections; institutional research projects are presented in chapter five and scientific publications are listed in chapter six.

As 48% of our patients are residents of Bogota, we decided to present data from this population separately. Being an important cancer care provider in the city, we feel that these data can help in priority-setting for cancer in the district of Bogota.

In 2016, a total of 6,958 new cancer patients were attended at INC. The three main groups of malignant tumors remain, in descending order: cancers of the skin, digestive system, and female genital tract. The main cancers types attended to in our institution were cancers of the skin, breast, stomach, cervix, prostate, colon-rectum, thyroid, and hematopoietic system (Figure 1).

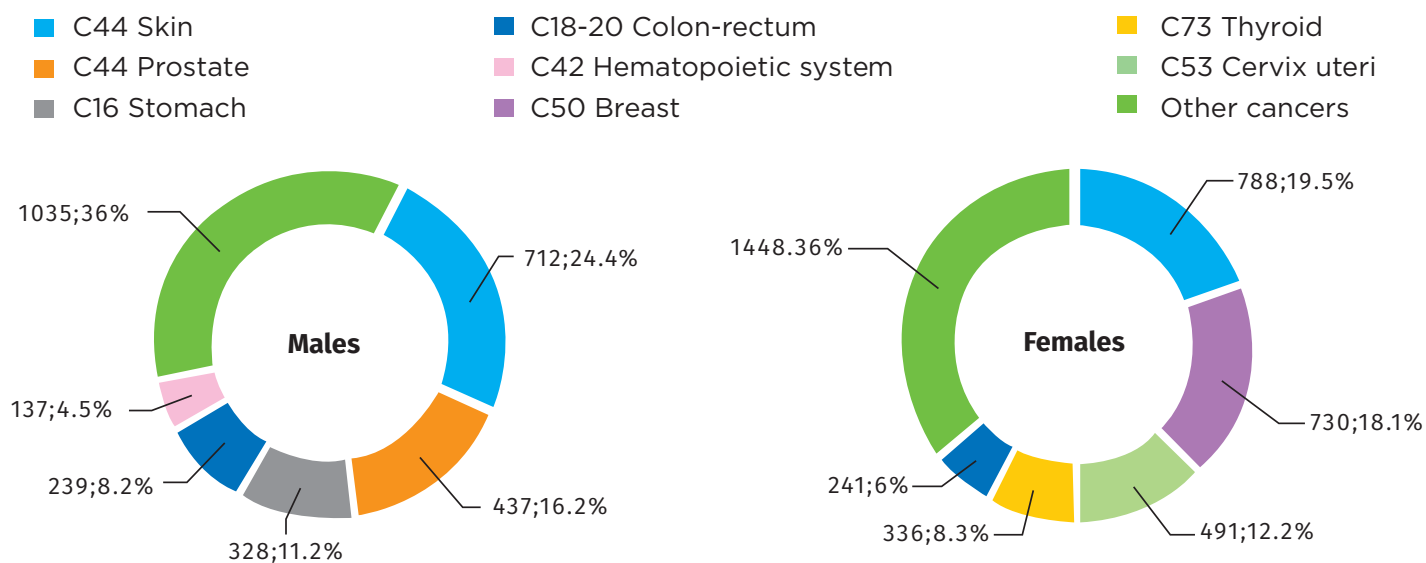


Figure 1. Common cancer types, males and females, INC, 2016

Slightly more than 1/3 of patients attended at INC did not receive treatment (37.2%), mainly because patients continued their treatment in another institution (70%), or because patients came to INC for medical checks and follow-up after having been treated elsewhere (15.7%); another 10.8% passed away before having received their treatment (see glossary, term “treatment”). In part, this is due to the Colombian health system limitations, because the system does not provide comprehensive cancer care.

At the institute, 1,242 deaths were certified, the majority of which concerned residents of the city of Bogota (66.5%), in particular from the localities San Cristobal (12.3%), Kennedy (12.1%), and Rafael Uribe (10%). The most frequent underlying cause of death was cancer (97.1%), followed by deaths from hypertensive disease (0.6%), and HIV infections (0.5%). Medical care provision remained stable with 158,473 medical consultations, as did the overall rate of hospital infections (at 10%).

It's important to highlight that according to the population attended at the INC, more than 45% of the new cancer cases per year corresponds to people over 65 years old. Within the specialty review, geriatric attention is not included. The geriatric evaluation is a tool, which is a current key in elderly care in favor of better clinical outcomes. This becomes a challenge for the institution, where the aging process is added to the cancer patient's clinical behavior, making them more vulnerable.

At INC, we had 143 institutional research projects in 2016, approved with initiation date in 2016 (9.1%), currently ongoing (75.5%) and closed (15.4%). There were two books and 43 scientific publications, 39.5% of which published in international journals, 25.6% in national journals and 30.2% resulting from collaboration in projects with other institutions. All scientific papers correspond to a first institutional author, and it is described according to the citation form. The exception is in the extra-institutional articles, where the first author corresponds to the leading institution of the publication.

As the director of the Colombian National Cancer Institute, I would like to express my appreciation to the clinical services for their dedication to the provision of data in the medical record. Likewise, thanks to the planning office, the committee of nosocomial infections, equipment research and epidemiological surveillance group, who contributed with their activities to the realization of this 14th edition of the Anuario Estadístico.

At INC we find it important that available information is disseminated, and therefore this edition, like the previous ones, of the Annual Report 2016 is available free of charge to the clients of INC, stakeholders, the general community, and in particular to the officials of the institution. The document is also available at the NCI website: <http://www.cancer.gov.co/> (Publications section).

This Annual Report, as the final product of the Institutional management, has a 3-year delay in its publication due to the complexity of the methodology being used for data capture and management. This methodology guarantees the quality and reliability of the reported data. Currently, INC is developing and acquiring technological resources that will improve the opportunity of this publication while keeping the methodological rigor and the quality of the information.

Carolina Wiesner Ceballos
General Director

Índice de tablas

1. Registro Institucional de Cáncer, INC, Colombia, 2016 13

| | | |
|-----------|---|----|
| Tabla 1. | Distribución de casos nuevos de cáncer por sexo, según localización primaria | 15 |
| Tabla 2. | Distribución de casos nuevos de cáncer por grupos quinquenales de edad según localización primaria, en hombres | 17 |
| Tabla 3. | Distribución de casos nuevos de cáncer por grupos quinquenales de edad según localización primaria, en mujeres | 19 |
| Tabla 4. | Distribución de casos nuevos de cáncer en niños, por grupos de edad, según grupos diagnósticos (ICCC-3) | 21 |
| Tabla 5. | Distribución de casos nuevos de cáncer por base de diagnóstico, según localización primaria | 23 |
| Tabla 6. | Distribución de casos nuevos de cáncer por sexo, según localización primaria y diagnóstico histológico | 25 |
| Tabla 7. | Distribución de casos nuevos de tumores de los tejidos hematopoyético y linfoide, según clasificación de la Organización Mundial de la Salud | 42 |
| Tabla 8. | Distribución de casos nuevos de cáncer por verificación histológica y grupos de edad, según localización primaria | 44 |
| Tabla 9. | Distribución de casos nuevos de cáncer por régimen de afiliación al SGSSS, según localización primaria | 46 |
| Tabla 10. | Distribución de casos nuevos de cáncer por régimen de afiliación al SGSSS, según departamento de residencia habitual | 48 |
| Tabla 11. | Distribución de casos nuevos de cáncer por clasificación de caso, según localización primaria | 49 |
| Tabla 12. | Casos nuevos de cáncer por sexo, según grandes grupos de edad | 50 |
| Tabla 13. | Casos nuevos de cáncer de mama, según estado clínico y por régimen de afiliación al ingreso | 51 |
| Tabla 14. | Casos nuevos de cáncer de cuello uterino, según estado clínico al ingreso | 51 |
| Tabla 15. | Distribución de casos nuevos de melanoma maligno invasivo, según localización primaria | 51 |
| Tabla 16. | Distribución de casos nuevos de cáncer por tratamiento recibido en el INC, según localización primaria | 52 |
| Tabla 17. | Distribución de casos nuevos de cáncer de residentes en Bogotá, por sexo y según localización primaria | 55 |
| Tabla 18. | Distribución de casos nuevos de cáncer de residentes en Bogotá por régimen de afiliación al SGSSS, según localización primaria | 57 |
| Tabla 19. | Distribución de casos nuevos de cáncer de residentes en Bogotá, por sexo, según Entidades Administradoras de Planes de Beneficios de Salud - EAPB | 59 |
| Tabla 20. | Distribución de casos nuevos de cáncer de la población no asegurada residente en Bogotá, por sexo, según localización | 60 |
| Tabla 21. | Casos nuevos de cáncer de mama en pacientes residentes en Bogotá, según estado clínico al ingreso y régimen de afiliación | 60 |
| Tabla 22. | Casos nuevos de cáncer de cuello uterino en pacientes residentes en Bogotá, según estado clínico al ingreso y régimen de afiliación | 61 |

2. Mortalidad institucional, INC, Colombia, 2016 63

| | | |
|-----------|--|----|
| Tabla 23. | Defunciones certificadas por sitio de defunción, según sexo y grupos de edad | 65 |
| Tabla 24. | Mortalidad por sitio de defunción, según lugar de residencia habitual | 66 |
| Tabla 25. | Mortalidad por régimen de afiliación al SGSSS, según lugar de residencia habitual | 67 |
| Tabla 26. | Mortalidad por sitio de defunción, según causa básica de defunción, en hombres | 68 |
| Tabla 27. | Mortalidad por sitio de defunción, según causa básica de defunción, en mujeres | 69 |
| Tabla 28. | Mortalidad por régimen de afiliación al SGSSS, según causa básica de defunción, en hombres | 70 |
| Tabla 29. | Mortalidad por régimen de afiliación al SGSSS, según causa básica de defunción, en mujeres | 71 |
| Tabla 30. | Mortalidad por área de residencia habitual, según causa básica de defunción | 72 |
| Tabla 31. | Mortalidad por grandes grupos de edad, según causa básica de defunción | 73 |
| Tabla 32. | Mortalidad por sitio de defunción, según mes de la defunción | 74 |
| Tabla 33. | Mortalidad por sitio de defunción, según nivel educativo | 74 |
| Tabla 34. | Mortalidad según horas de estancia hospitalaria | 75 |
| Tabla 35. | Mortalidad en Bogotá, por localidad de residencia habitual | 75 |

3. Producción hospitalaria, INC, Colombia, 2016 77

| | | |
|-----------|---|----|
| Tabla 36. | Producción trimestral consolidada según tipo de actividades e indicadores | 79 |
| Tabla 37. | Producción trimestral de consulta externa, según servicio | 80 |
| Tabla 38. | Producción trimestral de radioterapia, según tipo de procedimientos | 81 |
| Tabla 39. | Producción trimestral según tipo de procedimientos de quimioterapia | 81 |
| Tabla 40. | Producción trimestral de procedimientos quirúrgicos, según servicio | 81 |
| Tabla 41. | Producción trimestral del laboratorio clínico | 82 |
| Tabla 42. | Producción trimestral del servicio de imágenes diagnósticas, según tipo de examen | 82 |
| Tabla 43. | Producción trimestral de exámenes diagnósticos y otros procedimientos | 82 |
| Tabla 44. | Producción trimestral de la unidad de cuidado intensivo | 83 |
| Tabla 45. | Producción trimestral de sesiones de rehabilitación y terapias respiratorias | 83 |
| Tabla 46. | Producción trimestral del banco de sangre, según procedimiento | 83 |
| Tabla 47. | Producción trimestral de clínica de hematología y trasplante de médula ósea | 84 |
| Tabla 48. | Producción trimestral del servicio de patología y citología | 84 |

| | |
|--|------------|
| 4. Infecciones asociadas a la atención en salud, INC, Colombia, 2016 | 85 |
| Tabla 49. Índice global de infecciones asociadas a la atención en salud | 87 |
| Tabla 50. Tasa global de infecciones asociadas a la atención en salud | 87 |
| Tabla 51. Infecciones asociadas a la atención en salud por mes, según especialidad médica | 88 |
| Tabla 52. Infecciones asociadas a la atención en salud por mes, según tipo de infección | 89 |
| Tabla 53. Índice de mortalidad por infecciones asociadas a la atención en salud por mes | 90 |
| Tabla 54. Índice de infecciones asociadas a la atención en salud por especialidad médica | 90 |
| Tabla 55. Infecciones asociadas a la atención en salud por tipo de muestra, según microorganismo aislado | 91 |
| Tabla 56. Patrón de susceptibilidad de los principales bacilos Gram negativos aislados en infecciones asociadas a la atención en salud | 92 |
| Tabla 57. Patrón de susceptibilidad de los principales cocos Gram positivos aislados en infecciones asociadas a la atención en salud | 92 |
| 5. Proyectos institucionales de investigación y publicaciones científicas, INC, Colombia, 2016 | 93 |
| Tabla 58. Proyectos institucionales de investigación aprobados, en curso o terminados, según línea de investigación | 95 |
| 6. Publicaciones científicas | 107 |
| Tabla 59. Publicaciones científicas por grupo, según filiación del primer autor | 109 |
| 7. Glosario | 121 |
| 8. Referencias | 123 |

Registro Institucional de Cáncer

El registro institucional de cáncer del INC presenta la información sobre los casos nuevos de cáncer que ingresaron en un año y fueron atendidos en la institución.





85 Años
1934 - 2019
Por el control
del cáncer

Tabla 1. Distribución de casos nuevos de cáncer por sexo, según localización primaria, INC, Colombia, 2016



| Localización primaria (CIEO-3)* | Hombres | | Mujeres | | Total | |
|---|------------|-------------|------------|-------------|--------------|-------------|
| | No. | % | No. | % | No. | % |
| Labio, cavidad oral y faringe | | | | | | |
| C00 Labio | 2 | 0,1 | 0 | 0,0 | 2 | 0,0 |
| C01 Base de la lengua | 1 | 0,0 | 2 | 0,0 | 3 | 0,0 |
| C02 Otras partes de la lengua | 11 | 0,4 | 14 | 0,3 | 25 | 0,4 |
| C03 Encía | 2 | 0,1 | 0 | 0,0 | 2 | 0,0 |
| C04 Suelo de la boca | 2 | 0,1 | 2 | 0,0 | 4 | 0,1 |
| C05 Paladar | 5 | 0,2 | 4 | 0,1 | 9 | 0,1 |
| C06 Otras partes de la boca | 7 | 0,2 | 10 | 0,2 | 17 | 0,2 |
| C07 Glándula parótida | 4 | 0,1 | 8 | 0,2 | 12 | 0,2 |
| C08 Otras glándulas salivares mayores | 2 | 0,1 | 1 | 0,0 | 3 | 0,0 |
| C09 Amígdala | 11 | 0,4 | 5 | 0,1 | 16 | 0,2 |
| C10 Orofaringe | 9 | 0,3 | 1 | 0,0 | 10 | 0,1 |
| C11 Nasofaringe | 5 | 0,2 | 5 | 0,1 | 10 | 0,1 |
| C13 Hipofaringe | 2 | 0,1 | 0 | 0,0 | 2 | 0,0 |
| C14 Otras localizaciones de labio, cavidad bucal y faringe | 1 | 0,0 | 1 | 0,0 | 2 | 0,0 |
| Total (C01-C14) | 64 | 2,2 | 53 | 1,3 | 117 | 1,7 |
| Sistema digestivo | | | | | | |
| C15 Esófago | 45 | 1,5 | 25 | 0,6 | 70 | 1,0 |
| C16 Estómago | 328 | 11,2 | 216 | 5,4 | 544 | 7,8 |
| C17 Intestino delgado | 16 | 0,5 | 11 | 0,3 | 27 | 0,4 |
| C18 Colon | 110 | 3,8 | 137 | 3,4 | 247 | 3,5 |
| C19 Unión rectosigmoidea | 21 | 0,7 | 9 | 0,2 | 30 | 0,4 |
| C20 Recto | 108 | 3,7 | 95 | 2,4 | 203 | 2,9 |
| C21 Ano y canal anal | 7 | 0,2 | 28 | 0,7 | 35 | 0,5 |
| C22 Hígado y vías biliares intrahepáticas | 32 | 1,1 | 19 | 0,5 | 51 | 0,7 |
| C23 Vesícula biliar | 7 | 0,2 | 36 | 0,9 | 43 | 0,6 |
| C24 Otras partes de las vías biliares | 7 | 0,2 | 8 | 0,2 | 15 | 0,2 |
| C25 Páncreas | 40 | 1,4 | 27 | 0,7 | 67 | 1,0 |
| C26 Otras localizaciones del aparato digestivo | 0 | 0,0 | 1 | 0,0 | 1 | 0,0 |
| Total (C15-C26) | 721 | 24,6 | 612 | 15,2 | 1.333 | 19,2 |
| Sistema respiratorio y órganos intratorácicos | | | | | | |
| C30 Fosa nasal y oído medio | 6 | 0,2 | 4 | 0,1 | 10 | 0,1 |
| C31 Senos accesorios | 8 | 0,3 | 6 | 0,1 | 14 | 0,2 |
| C32 Laringe | 29 | 1,0 | 2 | 0,0 | 31 | 0,4 |
| C33 Tráquea | 1 | 0,0 | 0 | 0,0 | 1 | 0,0 |
| C34 Bronquios y pulmón | 84 | 2,9 | 63 | 1,6 | 147 | 2,1 |
| C37 Timo | 1 | 0,0 | 3 | 0,1 | 4 | 0,1 |
| C38 Corazón, mediastino y pleura | 15 | 0,5 | 7 | 0,2 | 22 | 0,3 |
| Total (C30-C38) | 144 | 4,9 | 85 | 2,1 | 229 | 3,3 |
| Huesos y articulaciones | | | | | | |
| C40 Huesos y articulaciones de las extremidades | 22 | 0,8 | 17 | 0,4 | 39 | 0,6 |
| C41 Huesos y articulaciones de otras localizaciones | 13 | 0,4 | 17 | 0,4 | 30 | 0,4 |
| Total (C40-C41) | 35 | 1,2 | 34 | 0,8 | 69 | 1,0 |
| Sistema hematopoyético y reticuloendotelial (C42) | 137 | 4,7 | 140 | 3,5 | 277 | 4,0 |
| Piel (C44) | 712 | 24,4 | 788 | 19,5 | 1.500 | 21,6 |
| Tejido conjuntivo subcutáneo y otros tejidos blandos | | | | | | |
| C47 Nervios periféricos y SNA | 2 | 0,1 | 0 | 0,0 | 2 | 0,0 |
| C48 Retroperitoneo y peritoneo | 21 | 0,7 | 31 | 0,8 | 52 | 0,7 |

(continúa)

Tabla 1. Distribución de casos nuevos de cáncer por sexo, según localización primaria, INC, Colombia, 2016



| Localización primaria (CIEO-3)* | Hombres | | Mujeres | | Total | |
|--|--------------|-------------|--------------|-------------|--------------|-------------|
| | No. | % | No. | % | No. | % |
| C49 Tejidos conjuntivo, subcutáneo y otros tejidos blandos | 59 | 2,0 | 58 | 1,4 | 117 | 1,7 |
| Total (C47-C49) | 82 | 2,8 | 89 | 2,2 | 171 | 2,5 |
| Mama (C50) | 5 | 0,2 | 730 | 18,1 | 735 | 10,6 |
| Aparato genital femenino | | | | | | |
| C51 Vulva | 0 | 0,0 | 29 | 0,7 | 29 | 0,4 |
| C52 Vagina | 0 | 0,0 | 13 | 0,3 | 13 | 0,2 |
| C53 Cuello del útero | 0 | 0,0 | 491 | 12,2 | 491 | 7,1 |
| C54 Cuerpo del útero | 0 | 0,0 | 145 | 3,6 | 145 | 2,1 |
| C55 Útero, SAI | 0 | 0,0 | 12 | 0,3 | 12 | 0,2 |
| C56 Ovario | 0 | 0,0 | 131 | 3,2 | 131 | 1,9 |
| C57 Otras localizaciones del aparato genital femenino | 0 | 0,0 | 1 | 0,0 | 1 | 0,0 |
| C58 Placenta | 0 | 0,0 | 3 | 0,1 | 3 | 0,0 |
| Total (C51-C58) | 0 | 0,0 | 825 | 20,5 | 825 | 11,9 |
| Aparato genital masculino | | | | | | |
| C60 Pene | 25 | 0,9 | 0 | 0,0 | 25 | 0,4 |
| C61 Glándula prostática | 473 | 16,2 | 0 | 0,0 | 473 | 6,8 |
| C62 Testículo | 59 | 2,0 | 0 | 0,0 | 59 | 0,8 |
| C63 Otras localizaciones aparato genital masculino | 5 | 0,2 | 0 | 0,0 | 5 | 0,1 |
| Total (C60-C63) | 562 | 19,2 | 0 | 0,0 | 562 | 8,1 |
| Aparato urinario | | | | | | |
| C64 Riñón | 51 | 1,7 | 29 | 0,7 | 80 | 1,1 |
| C67 Vejiga | 55 | 1,9 | 18 | 0,4 | 73 | 1,0 |
| C68 Otras localizaciones del aparato urinario | 0 | 0,0 | 1 | 0,0 | 1 | 0,0 |
| Total (C64-C68) | 106 | 3,6 | 48 | 1,2 | 154 | 2,2 |
| Ojos y anexos (C69) | 61 | 2,1 | 48 | 1,2 | 109 | 1,6 |
| Encéfalo y sistema nervioso central | | | | | | |
| C70 Meninges | 6 | 0,2 | 7 | 0,2 | 13 | 0,2 |
| C71 Encéfalo | 54 | 1,8 | 46 | 1,1 | 100 | 1,4 |
| C72 Médula espinal, nervios craneales del SNC | 0 | 0,0 | 4 | 0,1 | 4 | 0,1 |
| Total (C70-C72) | 60 | 2,1 | 57 | 1,4 | 117 | 1,7 |
| Glándulas endocrinas | | | | | | |
| C73 Glándula tiroides | 61 | 2,1 | 336 | 8,3 | 397 | 5,7 |
| C74 Glándula suprarrenal | 4 | 0,1 | 2 | 0,0 | 6 | 0,1 |
| C75 Otras glándulas endocrinas | 3 | 0,1 | 1 | 0,0 | 4 | 0,1 |
| Total (C73-C75) | 68 | 2,3 | 339 | 8,4 | 407 | 5,8 |
| Ganglios linfáticos (C77) | 101 | 3,5 | 85 | 2,1 | 186 | 2,7 |
| Localización primaria desconocida (C80) | 66 | 2,3 | 101 | 2,5 | 167 | 2,4 |
| Total | 2.924 | 100 | 4.034 | 100 | 6.958 | 100 |

*CIEO-3: Clasificación internacional de enfermedades para oncología, tercera revisión, 2003.
Fuente: Registro Institucional de Cáncer, INC.

Tabla 2. Distribución de casos nuevos de cáncer por grupos quinquenales de edad según localización primaria, hombres, INC, Colombia, 2016

| Localización primaria (CIEO-3)* | 0-4 | 5-9 | 10-14 | 15-19 | 20-24 | 25-29 | 30-34 | 35-39 | 40-44 | 45-49 | 50-54 | 55-59 | 60-64 | 65-69 | 70-74 | 75+ | Total |
|--|-----|-----|-------|-------|-------|-------|-------|-------|-------|-------|-------|-------|-------|-------|-------|-----|-------|
| C00 Labio | 0 | 0 | 0 | 0 | 0 | 0 | 0 | 0 | 0 | 1 | 0 | 0 | 0 | 0 | 0 | 1 | 2 |
| C01 Base de la lengua | 0 | 0 | 0 | 0 | 0 | 0 | 0 | 0 | 0 | 0 | 0 | 0 | 0 | 0 | 0 | 1 | 1 |
| C02 Otras partes de la lengua | 0 | 0 | 0 | 0 | 1 | 0 | 0 | 0 | 0 | 1 | 1 | 1 | 1 | 2 | 4 | 0 | 11 |
| C03 Encía | 1 | 0 | 0 | 0 | 0 | 0 | 0 | 0 | 0 | 0 | 1 | 0 | 0 | 0 | 0 | 0 | 2 |
| C04 Suelo de la boca | 0 | 0 | 0 | 0 | 0 | 0 | 0 | 0 | 0 | 0 | 0 | 1 | 1 | 0 | 0 | 0 | 2 |
| C05 Paladar | 0 | 0 | 0 | 0 | 0 | 0 | 1 | 0 | 0 | 1 | 0 | 0 | 0 | 0 | 1 | 2 | 5 |
| C06 Otras partes de la boca | 0 | 0 | 0 | 0 | 0 | 0 | 0 | 1 | 0 | 0 | 1 | 0 | 1 | 2 | 0 | 2 | 7 |
| C07 Glándula parótida | 0 | 0 | 0 | 0 | 0 | 0 | 0 | 0 | 1 | 0 | 1 | 0 | 0 | 0 | 1 | 1 | 4 |
| C08 Otras glándulas salivares mayores | 0 | 0 | 0 | 0 | 0 | 0 | 0 | 0 | 0 | 0 | 0 | 0 | 0 | 0 | 0 | 2 | 2 |
| C09 Amígdala | 0 | 0 | 0 | 0 | 0 | 0 | 0 | 0 | 1 | 0 | 1 | 1 | 3 | 2 | 0 | 3 | 11 |
| C10 Orofaringe | 0 | 0 | 0 | 0 | 0 | 0 | 0 | 0 | 0 | 0 | 1 | 0 | 1 | 3 | 0 | 4 | 9 |
| C11 Nasofaringe | 0 | 0 | 0 | 0 | 0 | 0 | 0 | 0 | 1 | 0 | 0 | 3 | 0 | 0 | 1 | 0 | 5 |
| C13 Hipofaringe | 0 | 0 | 0 | 0 | 0 | 0 | 0 | 0 | 0 | 0 | 0 | 0 | 0 | 0 | 1 | 1 | 2 |
| C14 Otras localizaciones de labio, cavidad bucal y faringe | 0 | 0 | 0 | 0 | 0 | 0 | 0 | 0 | 0 | 0 | 0 | 0 | 0 | 0 | 0 | 1 | 1 |
| C15 Esófago | 0 | 0 | 0 | 0 | 0 | 0 | 1 | 0 | 0 | 1 | 5 | 3 | 8 | 5 | 4 | 18 | 45 |
| C16 Estómago | 0 | 0 | 1 | 0 | 0 | 2 | 6 | 11 | 9 | 26 | 35 | 39 | 43 | 38 | 44 | 74 | 328 |
| C17 Intestino delgado | 0 | 0 | 0 | 0 | 0 | 0 | 0 | 0 | 0 | 2 | 1 | 2 | 4 | 2 | 2 | 3 | 16 |
| C18 Colon | 0 | 1 | 0 | 3 | 0 | 2 | 3 | 5 | 6 | 7 | 9 | 12 | 19 | 16 | 7 | 20 | 110 |
| C19 Unión rectosigmoidea | 0 | 0 | 0 | 0 | 0 | 0 | 0 | 0 | 1 | 1 | 2 | 1 | 6 | 7 | 2 | 1 | 21 |
| C20 Recto | 0 | 0 | 0 | 0 | 0 | 0 | 1 | 1 | 2 | 5 | 11 | 10 | 11 | 19 | 24 | 24 | 108 |
| C21 Ano y canal anal | 0 | 0 | 0 | 0 | 0 | 0 | 0 | 1 | 0 | 0 | 0 | 2 | 2 | 1 | 1 | 0 | 7 |
| C22 Hígado y vías biliares intrahepáticas | 1 | 0 | 0 | 0 | 2 | 0 | 0 | 0 | 1 | 0 | 2 | 2 | 8 | 9 | 4 | 3 | 32 |
| C23 Vesícula biliar | 0 | 0 | 0 | 0 | 0 | 0 | 0 | 0 | 0 | 1 | 1 | 2 | 2 | 0 | 0 | 1 | 7 |
| C24 Otras partes de las vías biliares | 0 | 0 | 0 | 0 | 0 | 0 | 0 | 0 | 0 | 0 | 0 | 3 | 2 | 0 | 0 | 2 | 7 |
| C25 Páncreas | 0 | 0 | 0 | 0 | 0 | 1 | 0 | 1 | 2 | 5 | 5 | 7 | 6 | 6 | 6 | 1 | 40 |
| C30 Fosa nasal y oído medio | 0 | 0 | 0 | 0 | 0 | 0 | 0 | 0 | 0 | 2 | 0 | 1 | 0 | 0 | 2 | 1 | 6 |
| C31 Senos accesorios | 0 | 0 | 1 | 0 | 1 | 0 | 0 | 0 | 0 | 0 | 0 | 2 | 0 | 4 | 0 | 0 | 8 |
| C32 Laringe | 0 | 0 | 0 | 0 | 0 | 0 | 0 | 0 | 0 | 0 | 1 | 1 | 6 | 7 | 6 | 8 | 29 |
| C33 Tráquea | 0 | 0 | 0 | 0 | 0 | 0 | 0 | 0 | 0 | 0 | 0 | 0 | 0 | 0 | 0 | 1 | 1 |

(continúa)

Tabla 2. Distribución de casos nuevos de cáncer por grupos quinquenales de edad según localización primaria, hombres, INC, Colombia, 2016

| Localización primaria (CIEO-3)* | 0-4 | 5-9 | 10-14 | 15-19 | 20-24 | 25-29 | 30-34 | 35-39 | 40-44 | 45-49 | 50-54 | 55-59 | 60-64 | 65-69 | 70-74 | 75+ | Total |
|--|-----------|-----------|-----------|-----------|-----------|-----------|-----------|-----------|-----------|------------|------------|------------|------------|------------|------------|------------|--------------|
| C34 Bronquios y pulmón | 0 | 0 | 0 | 1 | 0 | 0 | 1 | 0 | 1 | 4 | 6 | 5 | 16 | 12 | 17 | 21 | 84 |
| C37 Tímo | 0 | 0 | 0 | 0 | 0 | 0 | 0 | 0 | 0 | 0 | 0 | 0 | 1 | 0 | 0 | 0 | 1 |
| C38 Corazón, mediastino y pleura | 0 | 0 | 1 | 2 | 2 | 0 | 0 | 2 | 0 | 1 | 0 | 1 | 2 | 2 | 2 | 0 | 15 |
| C40 Huesos y articulaciones de las extremidades | 0 | 1 | 6 | 6 | 2 | 2 | 0 | 0 | 0 | 0 | 2 | 0 | 2 | 0 | 0 | 1 | 22 |
| C41 Huesos y articulaciones de otras localizaciones | 0 | 1 | 2 | 0 | 2 | 1 | 1 | 1 | 0 | 1 | 0 | 2 | 1 | 0 | 0 | 1 | 13 |
| C42 Sistema hematopoyético y reticuloendotelial | 11 | 14 | 9 | 9 | 4 | 4 | 1 | 5 | 6 | 5 | 9 | 11 | 8 | 8 | 17 | 16 | 137 |
| C44 Piel | 0 | 1 | 5 | 0 | 2 | 1 | 9 | 10 | 16 | 18 | 43 | 33 | 43 | 96 | 117 | 318 | 712 |
| C47 Nervios periféricos y SNA | 0 | 0 | 0 | 0 | 0 | 0 | 0 | 0 | 0 | 0 | 0 | 0 | 1 | 0 | 0 | 1 | 2 |
| C48 Retroperitoneo y peritoneo | 0 | 0 | 0 | 0 | 2 | 0 | 0 | 3 | 0 | 1 | 1 | 2 | 0 | 2 | 7 | 3 | 21 |
| C49 Tejidos conjuntivo, subcutáneo y otros tejidos blandos | 2 | 0 | 3 | 5 | 6 | 1 | 4 | 6 | 1 | 2 | 4 | 6 | 7 | 7 | 1 | 4 | 59 |
| C50 Mama | 0 | 0 | 0 | 0 | 0 | 0 | 0 | 0 | 0 | 0 | 0 | 2 | 1 | 0 | 1 | 1 | 5 |
| C60 Pene | 0 | 0 | 0 | 0 | 1 | 0 | 1 | 2 | 1 | 2 | 4 | 4 | 2 | 2 | 1 | 5 | 25 |
| C61 Glándula prostática | 0 | 0 | 0 | 0 | 0 | 0 | 0 | 2 | 1 | 7 | 17 | 39 | 76 | 104 | 103 | 124 | 473 |
| C62 Testículo | 0 | 1 | 0 | 10 | 11 | 14 | 7 | 4 | 3 | 3 | 3 | 1 | 0 | 2 | 0 | 0 | 59 |
| C63 Otras localizaciones aparato genital masculino | 0 | 0 | 0 | 0 | 0 | 0 | 0 | 0 | 0 | 0 | 1 | 1 | 1 | 0 | 1 | 1 | 5 |
| C64 Riñón | 0 | 3 | 1 | 0 | 0 | 0 | 1 | 0 | 2 | 4 | 6 | 9 | 7 | 7 | 6 | 5 | 51 |
| C67 Vejiga | 1 | 0 | 0 | 0 | 0 | 0 | 1 | 0 | 0 | 1 | 1 | 3 | 13 | 11 | 5 | 19 | 55 |
| C69 Ojos y anexos | 10 | 1 | 0 | 0 | 0 | 0 | 0 | 2 | 1 | 10 | 6 | 2 | 6 | 4 | 5 | 14 | 61 |
| C70 Meninges | 0 | 0 | 0 | 0 | 0 | 0 | 0 | 0 | 0 | 2 | 1 | 1 | 0 | 1 | 0 | 1 | 6 |
| C71 Encéfalo | 8 | 4 | 5 | 2 | 2 | 2 | 3 | 2 | 6 | 3 | 3 | 4 | 3 | 4 | 2 | 1 | 54 |
| C73 Glándula tiroides | 0 | 0 | 1 | 3 | 0 | 4 | 4 | 9 | 2 | 5 | 6 | 7 | 6 | 5 | 5 | 4 | 61 |
| C74 Glándula suprarrenal | 1 | 0 | 1 | 0 | 0 | 0 | 0 | 0 | 1 | 0 | 0 | 0 | 1 | 0 | 0 | 0 | 4 |
| C75 Otras glándulas endocrinas | 0 | 0 | 1 | 0 | 2 | 0 | 0 | 0 | 0 | 0 | 0 | 0 | 0 | 0 | 0 | 0 | 3 |
| C77 Ganglios linfáticos | 1 | 4 | 2 | 3 | 6 | 5 | 0 | 6 | 4 | 4 | 12 | 11 | 10 | 7 | 9 | 17 | 101 |
| C80 Localización primaria desconocida | 0 | 0 | 0 | 1 | 0 | 1 | 1 | 2 | 4 | 7 | 10 | 5 | 10 | 6 | 5 | 14 | 66 |
| Total | 36 | 31 | 39 | 45 | 46 | 40 | 46 | 76 | 73 | 133 | 213 | 242 | 341 | 403 | 414 | 746 | 2.924 |

*CIEO-3: Clasificación internacional de enfermedades para oncología, tercera revisión, 2003.
Fuente: Registro Institucional de Cáncer, INC.

Tabla 3. Distribución de casos nuevos de cáncer por grupos quinquenales de edad según localización primaria, mujeres, INC, Colombia, 2016

| Localización primaria (CIEO-3)* | 0-4 | 5-9 | 10-14 | 15-19 | 20-24 | 25-29 | 30-34 | 35-39 | 40-44 | 45-49 | 50-54 | 55-59 | 60-64 | 65-69 | 70-74 | 75+ | Total |
|--|-----|-----|-------|-------|-------|-------|-------|-------|-------|-------|-------|-------|-------|-------|-------|-----|-------|
| C01 Base de la lengua | 0 | 0 | 0 | 0 | 0 | 0 | 0 | 0 | 0 | 0 | 0 | 1 | 0 | 0 | 0 | 1 | 2 |
| C02 Otras partes de la lengua | 0 | 0 | 0 | 0 | 0 | 0 | 0 | 0 | 3 | 1 | 4 | 0 | 0 | 2 | 2 | 2 | 14 |
| C04 Suelo de la boca | 0 | 0 | 0 | 0 | 0 | 0 | 0 | 0 | 0 | 0 | 0 | 0 | 0 | 0 | 0 | 2 | 2 |
| C05 Paladar | 0 | 0 | 0 | 0 | 0 | 0 | 0 | 0 | 1 | 1 | 0 | 1 | 0 | 0 | 0 | 1 | 4 |
| C06 Otras partes de la boca | 0 | 0 | 0 | 0 | 0 | 0 | 0 | 1 | 0 | 0 | 1 | 1 | 4 | 0 | 1 | 2 | 10 |
| C07 Glándula parótida | 0 | 0 | 0 | 0 | 0 | 0 | 0 | 0 | 0 | 0 | 2 | 4 | 0 | 0 | 2 | 0 | 8 |
| C08 Otras glándulas salivares mayores | 0 | 0 | 0 | 0 | 0 | 0 | 0 | 0 | 0 | 0 | 1 | 0 | 0 | 0 | 0 | 0 | 1 |
| C09 Amígdala | 0 | 0 | 0 | 0 | 0 | 0 | 0 | 0 | 0 | 1 | 2 | 0 | 0 | 0 | 0 | 2 | 5 |
| C10 Orofaringe | 0 | 0 | 0 | 0 | 0 | 0 | 0 | 0 | 0 | 0 | 0 | 1 | 0 | 0 | 0 | 0 | 1 |
| C11 Nasofaringe | 1 | 0 | 0 | 0 | 0 | 0 | 1 | 0 | 0 | 0 | 1 | 1 | 0 | 0 | 0 | 1 | 5 |
| C14 Otras localizaciones de labio, cavidad bucal y faringe | 0 | 0 | 0 | 0 | 0 | 0 | 0 | 0 | 0 | 0 | 1 | 0 | 0 | 0 | 0 | 0 | 1 |
| C15 Esófago | 0 | 0 | 0 | 0 | 0 | 0 | 0 | 0 | 0 | 2 | 1 | 1 | 2 | 3 | 3 | 13 | 25 |
| C16 Estómago | 0 | 0 | 0 | 0 | 4 | 2 | 6 | 9 | 12 | 20 | 24 | 22 | 21 | 23 | 27 | 46 | 216 |
| C17 Intestino delgado | 0 | 0 | 0 | 0 | 0 | 0 | 0 | 0 | 0 | 3 | 2 | 2 | 1 | 0 | 1 | 2 | 11 |
| C18 Colon | 0 | 0 | 0 | 0 | 1 | 2 | 5 | 4 | 10 | 9 | 10 | 15 | 26 | 15 | 17 | 23 | 137 |
| C19 Unión rectosigmoidea | 0 | 0 | 0 | 0 | 0 | 0 | 0 | 0 | 1 | 0 | 0 | 4 | 0 | 1 | 1 | 2 | 9 |
| C20 Recto | 0 | 0 | 0 | 0 | 0 | 2 | 2 | 4 | 4 | 8 | 10 | 11 | 16 | 13 | 10 | 15 | 95 |
| C21 Ano y canal anal | 0 | 0 | 0 | 0 | 0 | 0 | 1 | 2 | 2 | 0 | 4 | 2 | 4 | 3 | 5 | 5 | 28 |
| C22 Hígado y vías biliares intrahepáticas | 2 | 1 | 0 | 0 | 0 | 0 | 0 | 1 | 0 | 0 | 1 | 2 | 5 | 2 | 2 | 3 | 19 |
| C23 Vesícula biliar | 0 | 0 | 0 | 0 | 0 | 0 | 0 | 0 | 0 | 2 | 3 | 1 | 9 | 1 | 6 | 14 | 36 |
| C24 Otras partes de las vías biliares | 0 | 0 | 0 | 0 | 0 | 0 | 0 | 0 | 1 | 0 | 1 | 2 | 3 | 0 | 1 | 0 | 8 |
| C25 Páncreas | 0 | 0 | 0 | 0 | 0 | 0 | 1 | 0 | 2 | 3 | 0 | 3 | 2 | 4 | 5 | 7 | 27 |
| C26 Otras localizaciones del aparato digestivo | 0 | 0 | 0 | 0 | 0 | 0 | 0 | 0 | 0 | 0 | 0 | 0 | 0 | 0 | 1 | 0 | 1 |
| C30 Fosa nasal y oído medio | 0 | 0 | 0 | 0 | 0 | 0 | 1 | 0 | 1 | 0 | 0 | 0 | 1 | 0 | 0 | 1 | 4 |
| C31 Senos accesorios | 0 | 0 | 0 | 0 | 0 | 0 | 0 | 0 | 1 | 0 | 1 | 2 | 0 | 0 | 1 | 1 | 6 |
| C32 Laringe | 0 | 0 | 0 | 0 | 0 | 0 | 0 | 0 | 0 | 0 | 0 | 0 | 1 | 1 | 0 | 0 | 2 |
| C34 Bronquios y pulmón | 0 | 0 | 0 | 0 | 0 | 1 | 1 | 1 | 5 | 2 | 7 | 7 | 11 | 11 | 8 | 9 | 63 |
| C37 Timo | 0 | 0 | 0 | 0 | 0 | 0 | 0 | 0 | 0 | 0 | 1 | 0 | 1 | 0 | 1 | 0 | 3 |
| C38 Corazón, mediastino y pleura | 0 | 0 | 0 | 0 | 0 | 0 | 0 | 0 | 0 | 1 | 0 | 1 | 1 | 0 | 2 | 2 | 7 |
| C40 Huesos y articulaciones de las extremidades | 0 | 1 | 4 | 2 | 1 | 1 | 2 | 3 | 1 | 0 | 0 | 0 | 1 | 0 | 0 | 1 | 17 |

(continúa)

Tabla 3. Distribución de casos nuevos de cáncer por grupos quinquenales de edad según localización primaria, mujeres, INC, Colombia, 2016

| Localización primaria (CIEO-3)* | 0-4 | 5-9 | 10-14 | 15-19 | 20-24 | 25-29 | 30-34 | 35-39 | 40-44 | 45-49 | 50-54 | 55-59 | 60-64 | 65-69 | 70-74 | 75+ | Total |
|--|-----------|-----------|-----------|-----------|-----------|-----------|------------|------------|------------|------------|------------|------------|------------|------------|------------|------------|--------------|
| C41 Huesos y articulaciones de otras localizaciones | 0 | 0 | 4 | 0 | 2 | 0 | 1 | 0 | 0 | 2 | 0 | 1 | 3 | 2 | 0 | 2 | 17 |
| C42 Sistema hematopoyético y reticuloendotelial | 8 | 13 | 5 | 4 | 7 | 2 | 2 | 5 | 6 | 7 | 8 | 11 | 18 | 16 | 11 | 17 | 140 |
| C44 Piel | 1 | 0 | 1 | 1 | 1 | 8 | 4 | 8 | 15 | 25 | 30 | 66 | 61 | 58 | 96 | 413 | 788 |
| C48 Retroperitoneo y peritoneo | 2 | 0 | 1 | 0 | 0 | 1 | 1 | 0 | 3 | 2 | 4 | 6 | 4 | 4 | 1 | 2 | 31 |
| C49 Tejidos conjuntivo, subcutáneo y otros tejidos blandos | 2 | 0 | 3 | 3 | 4 | 2 | 2 | 5 | 3 | 4 | 7 | 9 | 3 | 2 | 4 | 5 | 58 |
| C50 Mama | 0 | 0 | 0 | 0 | 3 | 7 | 18 | 36 | 63 | 99 | 94 | 85 | 109 | 68 | 71 | 77 | 730 |
| C51 Vulva | 0 | 0 | 0 | 0 | 0 | 1 | 0 | 1 | 1 | 1 | 2 | 3 | 2 | 4 | 3 | 11 | 29 |
| C52 Vagina | 0 | 0 | 0 | 0 | 0 | 0 | 1 | 0 | 0 | 1 | 1 | 3 | 3 | 2 | 0 | 2 | 13 |
| C53 Cuello del útero | 0 | 0 | 0 | 2 | 4 | 30 | 41 | 61 | 62 | 58 | 53 | 38 | 48 | 37 | 25 | 32 | 491 |
| C54 Cuerpo del útero | 0 | 0 | 0 | 0 | 0 | 2 | 4 | 2 | 4 | 10 | 18 | 22 | 34 | 21 | 22 | 6 | 145 |
| C55 Útero, SAI | 0 | 0 | 0 | 0 | 0 | 0 | 0 | 0 | 0 | 4 | 2 | 1 | 3 | 2 | 0 | 0 | 12 |
| C56 Ovario | 0 | 1 | 4 | 4 | 3 | 3 | 8 | 5 | 12 | 15 | 21 | 17 | 16 | 7 | 6 | 9 | 131 |
| C57 Otras localizaciones del aparato genital femenino | 0 | 0 | 0 | 0 | 0 | 0 | 0 | 0 | 1 | 0 | 0 | 0 | 0 | 0 | 0 | 0 | 1 |
| C58 Placenta | 0 | 0 | 1 | 0 | 0 | 1 | 1 | 0 | 0 | 0 | 0 | 0 | 0 | 0 | 0 | 0 | 3 |
| C64 Riñón | 3 | 3 | 0 | 1 | 0 | 1 | 3 | 1 | 1 | 3 | 2 | 2 | 2 | 2 | 0 | 5 | 29 |
| C67 Vejiga | 0 | 0 | 0 | 0 | 0 | 0 | 0 | 0 | 0 | 1 | 0 | 2 | 4 | 3 | 2 | 6 | 18 |
| C68 Otras localizaciones del aparato urinario | 0 | 0 | 0 | 0 | 0 | 0 | 0 | 0 | 0 | 0 | 0 | 0 | 1 | 0 | 0 | 0 | 1 |
| C69 Ojos y anexos | 5 | 0 | 0 | 0 | 2 | 1 | 2 | 5 | 4 | 3 | 1 | 5 | 6 | 6 | 1 | 7 | 48 |
| C70 Meninges | 0 | 0 | 0 | 0 | 0 | 1 | 0 | 2 | 0 | 2 | 0 | 1 | 0 | 0 | 0 | 1 | 7 |
| C71 Encéfalo | 6 | 2 | 3 | 0 | 1 | 1 | 2 | 4 | 2 | 4 | 4 | 5 | 4 | 3 | 5 | 0 | 46 |
| C72 Médula espinal, nervios craneales del SNC | 0 | 1 | 0 | 1 | 1 | 0 | 0 | 0 | 0 | 0 | 1 | 0 | 0 | 0 | 0 | 0 | 4 |
| C73 Glándula tiroides | 0 | 1 | 4 | 8 | 7 | 12 | 21 | 31 | 28 | 45 | 45 | 59 | 24 | 16 | 15 | 20 | 336 |
| C74 Glándula suprarrenal | 0 | 0 | 0 | 0 | 1 | 0 | 0 | 0 | 0 | 0 | 0 | 0 | 1 | 0 | 0 | 0 | 2 |
| C75 Otras glándulas endocrinas | 0 | 0 | 0 | 0 | 0 | 0 | 0 | 0 | 0 | 0 | 0 | 1 | 0 | 0 | 0 | 0 | 1 |
| C77 Ganglios linfáticos | 0 | 2 | 1 | 5 | 5 | 3 | 0 | 4 | 5 | 5 | 8 | 8 | 10 | 14 | 8 | 7 | 85 |
| C80 Localización primaria desconocida | 0 | 0 | 0 | 0 | 1 | 0 | 2 | 3 | 8 | 5 | 13 | 14 | 16 | 17 | 10 | 12 | 101 |
| Total | 30 | 25 | 31 | 31 | 48 | 84 | 133 | 198 | 262 | 349 | 391 | 443 | 481 | 363 | 376 | 789 | 4.034 |

*CIEO-3: Clasificación internacional de enfermedades para oncología, tercera revisión, 2003.
Fuente: Registro Institucional de Cáncer, INC.

Tabla 4. Distribución de casos nuevos de cáncer en niños, por grupos de edad, según grupos diagnósticos (ICCC-3)*, INC, Colombia, 2016.

| Grupos diagnósticos para pediatría | (0 - 4) | | (5 - 9) | | (10 - 14) | | (15 - 17) | | Total | |
|---|-----------|-------------|-----------|-------------|-----------|-------------|-----------|-------------|-----------|-------------|
| | No. | % | No. | % | No. | % | No. | % | No. | % |
| I. Leucemias, enfermedades mielo proliferativas y síndromes mielodisplásicos | | | | | | | | | | |
| a. Leucemias linfoides | 17 | 25,8 | 22 | 39,3 | 13 | 18,6 | 7 | 14,3 | 59 | 24,5 |
| b. Leucemias mieloides agudas | 0 | 0,0 | 4 | 7,1 | 1 | 1,4 | 2 | 4,1 | 7 | 2,9 |
| d. Síndrome mielodisplásico y otras enfermedades mieloproliferativas | 2 | 3,0 | 0 | 0,0 | 0 | 0,0 | 0 | 0,0 | 2 | 0,8 |
| e. Leucemias específicas y otras no específicas | 0 | 0,0 | 1 | 1,8 | 0 | 0,0 | 0 | 0,0 | 1 | 0,4 |
| Total I | 19 | 28,8 | 27 | 48,2 | 14 | 20,0 | 9 | 18,4 | 69 | 28,6 |
| II. Linfomas y neoplasias reticuloendoteliales | | | | | | | | | | |
| a. Linfomas Hodgkin | 1 | 1,5 | 2 | 3,6 | 3 | 4,3 | 3 | 6,1 | 9 | 3,7 |
| b. Linfoma no Hodgkin | 0 | 0,0 | 4 | 7,1 | 3 | 4,3 | 3 | 6,1 | 10 | 4,1 |
| c. Linfoma de Burkitt | 1 | 1,5 | 1 | 1,8 | 0 | 0,0 | 0 | 0,0 | 2 | 0,8 |
| d. Neoplasias linforreticulares mixtas | 1 | 1,5 | 0 | 0,0 | 0 | 0,0 | 0 | 0,0 | 1 | 0,4 |
| Total II | 3 | 4,5 | 7 | 12,5 | 6 | 8,6 | 6 | 12,2 | 22 | 9,1 |
| III. Neoplasias del SNC. intracraneales e intraespinales mixtas | | | | | | | | | | |
| a. Ependimomas y tumores del plexo coroideo | 1 | 1,5 | 0 | 0,0 | 0 | 0,0 | 0 | 0,0 | 1 | 0,4 |
| b. Astrocitomas | 2 | 3,0 | 4 | 7,1 | 3 | 4,3 | 1 | 2,0 | 10 | 4,1 |
| c. Tumores embrionarios intracraneales e intraespinales | 4 | 6,1 | 0 | 0,0 | 3 | 4,3 | 1 | 2,0 | 8 | 3,3 |
| d. Otros gliomas | 2 | 3,0 | 2 | 3,6 | 0 | 0,0 | 0 | 0,0 | 4 | 1,7 |
| e. Otras neoplasias intracraneales e intraespinales especificadas | 1 | 1,5 | 1 | 1,8 | 1 | 1,4 | 0 | 0,0 | 3 | 1,2 |
| Total III | 10 | 15,2 | 7 | 12,5 | 7 | 10,0 | 2 | 4,1 | 26 | 10,8 |
| IV. Neuroblastoma y otros tumores de células nerviosas periféricas | | | | | | | | | | |
| a. Neuroblastoma y ganglioneuroblastoma | 5 | 7,6 | 0 | 0,0 | 1 | 1,4 | 0 | 0,0 | 6 | 2,5 |
| b. Otros tumores del sistema nervioso periférico | 1 | 1,5 | 0 | 0,0 | 0 | 0,0 | 0 | 0,0 | 1 | 0,4 |
| Total IV | 6 | 9,1 | 0 | 0,0 | 1 | 1,4 | 0 | 0,0 | 7 | 2,9 |
| V. Retinoblastoma | | | | | | | | | | |
| a. Retinoblastoma | 14 | 21,2 | 1 | 1,8 | 0 | 0,0 | 0 | 0,0 | 15 | 6,2 |
| Total V | 14 | 21,2 | 1 | 1,8 | 0 | 0,0 | 0 | 0,0 | 15 | 6,2 |
| VI. Tumores renales | | | | | | | | | | |
| a. Nefroblastoma y tumores renales no epiteliales | 3 | 4,5 | 6 | 10,7 | 1 | 1,4 | 0 | 0,0 | 10 | 4,1 |
| Total VI | 3 | 4,5 | 6 | 10,7 | 1 | 1,4 | 0 | 0,0 | 10 | 4,1 |
| VII. Tumores hepáticos | | | | | | | | | | |
| a. Hepatoblastoma | 3 | 4,5 | 1 | 1,8 | 0 | 0,0 | 0 | 0,0 | 4 | 1,7 |
| Total VII | 3 | 4,5 | 1 | 1,8 | 0 | 0,0 | 0 | 0,0 | 4 | 1,7 |

(continúa)

Tabla 4. Distribución de casos nuevos de cáncer en niños, por grupos de edad, según grupos diagnósticos (ICCC-3)*, INC, Colombia, 2016

| Grupos diagnósticos para pediatría | (0 - 4) | | (5 - 9) | | (10 - 14) | | (15 - 17) | | Total | |
|--|-----------|------------|-----------|------------|-----------|-------------|-----------|-------------|------------|-------------|
| | No. | % | No. | % | No. | % | No. | % | No. | % |
| VIII. Tumores óseos malignos | | | | | | | | | | |
| a. Osteosarcomas | 0 | 0,0 | 1 | 1,8 | 10 | 14,3 | 6 | 12,2 | 17 | 7,1 |
| b. Condrosarcomas | 0 | 0,0 | 0 | 0,0 | 1 | 1,4 | 0 | 0,0 | 1 | 0,4 |
| c. Tumor de Ewing y sarcomas óseos relacionados | 0 | 0,0 | 2 | 3,6 | 5 | 7,1 | 0 | 0,0 | 7 | 2,9 |
| d. Otros tumores óseos malignos especificados | 1 | 1,5 | 0 | 0,0 | 0 | 0,0 | 0 | 0,0 | 1 | 0,4 |
| e. Otros tumores óseos malignos no especificados | 0 | 0,0 | 0 | 0,0 | 0 | 0,0 | 1 | 2,0 | 1 | 0,4 |
| Total VIII | 1 | 1,5 | 3 | 5,4 | 16 | 22,9 | 7 | 14,3 | 27 | 11,2 |
| IX. Sarcomas de tejidos blandos y otros sarcomas extraóseos | | | | | | | | | | |
| a. Rabdomiosarcomas | 3 | 4,5 | 1 | 1,8 | 3 | 4,3 | 0 | 0,0 | 7 | 2,9 |
| d. Otros sarcomas de tejidos blandos especificados | 1 | 1,5 | 0 | 0,0 | 3 | 4,3 | 1 | 2,0 | 5 | 2,1 |
| e. Sarcomas de tejidos blandos no especificados | 1 | 1,5 | 0 | 0,0 | 2 | 2,9 | 1 | 2,0 | 4 | 1,7 |
| Total IX | 5 | 7,6 | 1 | 1,8 | 8 | 11,4 | 2 | 4,1 | 16 | 6,6 |
| X. Tumores de células germinales. tumores trofoblásticos y neoplasias gonadales | | | | | | | | | | |
| a. Tumores de células germinales intracraneales e intraespinales | 0 | 0,0 | 0 | 0,0 | 2 | 2,9 | 0 | 0,0 | 2 | 0,8 |
| b. Tumores de células germinales extragonadales y extracraneales | 1 | 1,5 | 0 | 0,0 | 1 | 1,4 | 1 | 2,0 | 3 | 1,2 |
| c. Tumores de células germinales gonadales | 0 | 0,0 | 1 | 1,8 | 3 | 4,3 | 6 | 12,2 | 10 | 4,1 |
| e. Otros tumores malignos gonadales y no especificados | 0 | 0,0 | 0 | 0,0 | 1 | 1,4 | 0 | 0,0 | 1 | 0,4 |
| Total X | 1 | 1,5 | 1 | 1,8 | 7 | 10,0 | 7 | 14,3 | 16 | 6,6 |
| XI. Otras neoplasias epiteliales malignas y melanoma maligno | | | | | | | | | | |
| b. Carcinoma de tiroides | 0 | 0,0 | 1 | 1,8 | 5 | 7,1 | 9 | 18,4 | 15 | 6,2 |
| d. Melanomas malignos | 1 | 1,5 | 0 | 0,0 | 0 | 0,0 | 0 | 0,0 | 1 | 0,4 |
| e. Carcinomas de la piel | 0 | 0,0 | 0 | 0,0 | 3 | 4,3 | 1 | 2,0 | 4 | 1,7 |
| f. Otros carcinomas y los no especificados | 0 | 0,0 | 1 | 1,8 | 2 | 2,9 | 5 | 10,2 | 8 | 3,3 |
| Total XI | 1 | 1,5 | 2 | 3,6 | 10 | 14,3 | 15 | 30,6 | 28 | 11,6 |
| XII. Otras neoplasias malignas y las no especificadas | | | | | | | | | | |
| b. Otros tumores malignos no especificados | 0 | 0,0 | 0 | 0,0 | 0 | 0,0 | 1 | 2,0 | 1 | 0,4 |
| Total XII | 0 | 0,0 | 0 | 0,0 | 0 | 0,0 | 1 | 2,0 | 1 | 0,4 |
| Total | 66 | 100 | 56 | 100 | 70 | 100 | 49 | 100 | 241 | 100 |

* ICC-3: Clasificación internacional para cáncer en niños, tercera revisión / OMS 2008.

Fuente: Registro Institucional de Cáncer, INC.

Tabla 5. Distribución de casos nuevos de cáncer por base de diagnóstico*, según localización primaria, INC, Colombia, 2016

| Localización primaria (CIEO-3)** | Solo clínico | Exploración clínica | Pruebas específicas | Citología | Histología de metástasis | Histología del tumor primario | Total |
|--|--------------|---------------------|---------------------|-----------|--------------------------|-------------------------------|-------|
| C00 Labio | 0 | 0 | 0 | 0 | 0 | 2 | 2 |
| C01 Base de la lengua | 0 | 0 | 0 | 0 | 0 | 3 | 3 |
| C02 Otras partes de la lengua | 1 | 0 | 0 | 0 | 0 | 24 | 25 |
| C03 Encía | 0 | 0 | 0 | 0 | 0 | 2 | 2 |
| C04 Suelo de la boca | 0 | 0 | 0 | 0 | 0 | 4 | 4 |
| C05 Paladar | 0 | 0 | 0 | 0 | 0 | 9 | 9 |
| C06 Otras partes de la boca | 0 | 0 | 0 | 0 | 0 | 17 | 17 |
| C07 Glándula parótida | 0 | 0 | 0 | 0 | 0 | 12 | 12 |
| C08 Otras glándulas salivares mayores | 0 | 0 | 0 | 0 | 0 | 3 | 3 |
| C09 Amígdala | 0 | 0 | 0 | 0 | 0 | 16 | 16 |
| C10 Orofaringe | 0 | 0 | 0 | 0 | 0 | 10 | 10 |
| C11 Nasofaringe | 0 | 0 | 0 | 1 | 0 | 9 | 10 |
| C13 Hipofaringe | 0 | 0 | 0 | 0 | 0 | 2 | 2 |
| C14 Otras localizaciones de labio, cavidad bucal y faringe | 0 | 0 | 0 | 0 | 0 | 2 | 2 |
| C15 Esófago | 0 | 2 | 0 | 0 | 0 | 68 | 70 |
| C16 Estómago | 3 | 9 | 1 | 0 | 0 | 531 | 544 |
| C17 Intestino delgado | 0 | 2 | 0 | 0 | 0 | 25 | 27 |
| C18 Colon | 1 | 4 | 1 | 0 | 0 | 241 | 247 |
| C19 Unión rectosigmoidea | 0 | 0 | 0 | 0 | 0 | 30 | 30 |
| C20 Recto | 0 | 3 | 0 | 0 | 0 | 200 | 203 |
| C21 Ano y canal anal | 1 | 1 | 0 | 0 | 0 | 33 | 35 |
| C22 Hígado y vías biliares intrahepáticas | 0 | 8 | 0 | 0 | 0 | 43 | 51 |
| C23 Vesícula biliar | 0 | 3 | 0 | 0 | 0 | 40 | 43 |
| C24 Otras partes de las vías biliares | 0 | 0 | 0 | 0 | 0 | 15 | 15 |
| C25 Páncreas | 0 | 3 | 0 | 4 | 0 | 60 | 67 |
| C26 Otras localizaciones del aparato digestivo | 0 | 0 | 0 | 0 | 0 | 1 | 1 |
| C30 Fosa nasal y oído medio | 0 | 0 | 0 | 0 | 0 | 10 | 10 |
| C31 Senos accesorios | 0 | 0 | 0 | 0 | 0 | 14 | 14 |
| C32 Laringe | 0 | 0 | 0 | 0 | 0 | 31 | 31 |
| C33 Tráquea | 0 | 1 | 0 | 0 | 0 | 0 | 1 |
| C34 Bronquios y pulmón | 0 | 0 | 0 | 2 | 0 | 145 | 147 |
| C37 Timo | 0 | 0 | 0 | 0 | 0 | 4 | 4 |
| C38 Corazón, mediastino y pleura | 0 | 0 | 1 | 0 | 0 | 21 | 22 |
| C40 Huesos y articulaciones de las extremidades | 0 | 0 | 0 | 0 | 0 | 39 | 39 |
| C41 Huesos y articulaciones de otras localizaciones | 0 | 0 | 0 | 0 | 0 | 30 | 30 |
| C42 Sistema hematopoyético y reticuloendotelial | 2 | 4 | 7 | 0 | 0 | 264 | 277 |
| C44 Piel | 0 | 0 | 1 | 0 | 2 | 1.497 | 1.500 |
| C47 Nervios periféricos y SNA | 0 | 0 | 0 | 0 | 0 | 2 | 2 |

(continúa)

Tabla 5. Distribución de casos nuevos de cáncer por base de diagnóstico, según localización primaria, INC, Colombia, 2016

| Localización primaria (CIEO-3)** | Solo clínico | Exploración clínica | Pruebas específicas | Citología | Histología de metástasis | Histología del tumor primario | Total |
|--|--------------|---------------------|---------------------|-----------|--------------------------|-------------------------------|--------------|
| C48 Retroperitoneo y peritoneo | 0 | 1 | 0 | 0 | 0 | 51 | 52 |
| C49 Tejidos conjuntivo, subcutáneo y otros tejidos blandos | 1 | 0 | 0 | 0 | 2 | 114 | 117 |
| C50 Mama | 1 | 3 | 2 | 0 | 0 | 729 | 735 |
| C51 Vulva | 0 | 0 | 0 | 0 | 0 | 29 | 29 |
| C52 Vagina | 0 | 0 | 0 | 0 | 0 | 13 | 13 |
| C53 Cuello del útero | 0 | 4 | 0 | 0 | 0 | 487 | 491 |
| C54 Cuerpo del útero | 1 | 1 | 0 | 0 | 0 | 143 | 145 |
| C55 Utero, SAI | 0 | 0 | 0 | 0 | 0 | 12 | 12 |
| C56 Ovario | 0 | 1 | 0 | 1 | 1 | 128 | 131 |
| C57 Otras localizaciones del aparato genital femenino | 0 | 0 | 0 | 0 | 0 | 1 | 1 |
| C58 Placenta | 0 | 1 | 0 | 0 | 0 | 2 | 3 |
| C60 Pene | 0 | 0 | 0 | 0 | 0 | 25 | 25 |
| C61 Glándula prostática | 1 | 7 | 25 | 0 | 0 | 440 | 473 |
| C62 Testículo | 2 | 0 | 0 | 0 | 1 | 56 | 59 |
| C63 Otras localizaciones del aparato genital masculino | 0 | 0 | 0 | 0 | 0 | 5 | 5 |
| C64 Riñón | 1 | 11 | 0 | 1 | 0 | 67 | 80 |
| C67 Vejiga | 0 | 0 | 0 | 1 | 0 | 72 | 73 |
| C68 Otras localizaciones del aparato urinario | 0 | 0 | 0 | 0 | 0 | 1 | 1 |
| C69 Ojos y anexos | 2 | 12 | 0 | 1 | 0 | 94 | 109 |
| C70 Meninges | 0 | 2 | 0 | 0 | 0 | 11 | 13 |
| C71 Encéfalo | 1 | 6 | 1 | 0 | 0 | 92 | 100 |
| C72 Médula espinal, nervios craneales del SNC | 0 | 0 | 0 | 0 | 0 | 4 | 4 |
| C73 Glándula tiroides | 0 | 1 | 0 | 2 | 0 | 394 | 397 |
| C74 Glándula suprarrenal | 0 | 0 | 0 | 0 | 0 | 6 | 6 |
| C75 Otras glándulas endocrinas | 0 | 1 | 0 | 0 | 0 | 3 | 4 |
| C77 Ganglios linfáticos | 0 | 3 | 0 | 0 | 1 | 182 | 186 |
| C80 Localización primaria desconocida | 0 | 0 | 0 | 0 | 167 | 0 | 167 |
| Total | 18 | 94 | 39 | 13 | 174 | 6.620 | 6.958 |

* CIEO-3: Clasificación internacional de enfermedades para oncología, tercera revisión, 2003.
Fuente: Registro Institucional de Cáncer, INC.

Tabla 6. Distribución de casos nuevos de cáncer por sexo, según localización primaria y diagnóstico histológico, INC, Colombia, 2016



| CIEO-3* | Localización primaria y tipo histológico | Hombres No. | Mujeres No. | Total No. | % |
|--------------------------------------|--|----------------|----------------|--------------|------------|
| C00 Labio | | | | | |
| | Carcinoma de células escamosas | 2 | 0 | 2 | 100 |
| | Total | 2 | 0 | 2 | 100 |
| C01 Base de la lengua | | | | | |
| | Carcinoma de células escamosas | 1 | 2 | 3 | 100 |
| | Total | 1 | 2 | 3 | 100 |
| C02 Otras partes de la lengua | | | | | |
| | Neoplasia, maligna | 2 | 0 | 2 | 8,0 |
| | Carcinoma in situ de células escamosas | 0 | 1 | 1 | 4,0 |
| | Carcinoma de células escamosas | 9 | 13 | 22 | 88,0 |
| | Total | 11 | 14 | 25 | 100 |
| C03 Encía | | | | | |
| | Carcinoma in situ de células escamosas | 1 | 0 | 1 | 50,0 |
| | Histiocitosis de células de Langerhans, diseminada | 1 | 0 | 1 | 50,0 |
| | Total | 2 | 0 | 2 | 100 |
| C04 Suelo de la boca | | | | | |
| | Carcinoma seudosarcomatoso | 0 | 1 | 1 | 25,0 |
| | Carcinoma de células escamosas | 2 | 1 | 3 | 75,0 |
| | Total | 2 | 2 | 4 | 100 |
| C05 Paladar | | | | | |
| | Carcinoma de células escamosas | 3 | 2 | 5 | 55,6 |
| | Carcinoma mucoepidermoide | 0 | 1 | 1 | 11,1 |
| | Sarcoma de Kaposi | 1 | 0 | 1 | 11,1 |
| | Linfoma maligno, células B grandes, difuso | 0 | 1 | 1 | 11,1 |
| | Linfoma de células NKT, nasal y tipo nasal | 1 | 0 | 1 | 11,1 |
| | Total | 5 | 4 | 9 | 100 |
| C06 Otras partes de la boca | | | | | |
| | Carcinoma, SAI | 0 | 1 | 1 | 5,9 |
| | Carcinoma seudosarcomatoso | 1 | 0 | 1 | 5,9 |
| | Carcinoma de células escamosas | 4 | 8 | 12 | 70,5 |
| | Carcinoma mucoepidermoide | 1 | 0 | 1 | 5,9 |
| | Melanoma maligno, SAI | 0 | 1 | 1 | 5,9 |
| | Linfoma maligno, células B grandes, difuso | 1 | 0 | 1 | 5,9 |
| | Total | 7 | 10 | 17 | 100 |
| C07 Glándula parótida | | | | | |
| | Neoplasia, maligna | 0 | 1 | 1 | 8,3 |
| | Carcinoma de células escamosas | 0 | 2 | 2 | 16,7 |
| | Carcinoma quístico adenoide | 0 | 1 | 1 | 8,3 |
| | Carcinoma mucoepidermoide | 2 | 2 | 4 | 33,3 |
| | Carcinoma de células acinosas | 0 | 1 | 1 | 8,3 |

(continúa)

Tabla 6. Distribución de casos nuevos de cáncer por sexo, según localización primaria y diagnóstico histológico, INC, Colombia, 2016



| CIEO-3* | Localización primaria y tipo histológico | Hombres | Mujeres | Total | % |
|---|---|-----------|-----------|-----------|------------|
| | | No. | No. | No. | |
| | Carcinoma epitelial - mioepitelial | 2 | 0 | 2 | 16,7 |
| | Linfoma de células B de la zona marginal, SAI | 0 | 1 | 1 | 8,3 |
| | Total | 4 | 8 | 12 | 100 |
| C08 Otras glándulas salivares mayores | | | | | |
| | Carcinoma de células grandes, SAI | 1 | 0 | 1 | 33,3 |
| | Carcinoma linfoepitelial | 1 | 0 | 1 | 33,3 |
| | Carcinoma quístico adenoide | 0 | 1 | 1 | 33,3 |
| | Total | 2 | 1 | 3 | 100 |
| C09 Amígdala | | | | | |
| | Neoplasia, maligna | 1 | 0 | 1 | 6,3 |
| | Carcinoma, SAI | 1 | 0 | 1 | 6,3 |
| | Carcinoma de células escamosas | 8 | 4 | 12 | 75,0 |
| | Linfoma de células del manto | 1 | 0 | 1 | 6,3 |
| | Linfoma maligno, células B grandes, difuso | 0 | 1 | 1 | 6,3 |
| | Total | 11 | 5 | 16 | 100 |
| C10 Orofaringe | | | | | |
| | Carcinoma de células escamosas | 8 | 1 | 9 | 90,0 |
| | Linfoma maligno, células B grandes, difuso | 1 | 0 | 1 | 10,0 |
| | Total | 9 | 1 | 10 | 100 |
| C11 Nasofaringe | | | | | |
| | Carcinoma, SAI | 1 | 1 | 2 | 20,0 |
| | Carcinoma de células escamosas | 3 | 3 | 6 | 60,0 |
| | Rabdomiosarcoma embrionario, SAI | 0 | 1 | 1 | 10,0 |
| | Linfoma de células B de la zona marginal, SAI | 1 | 0 | 1 | 10,0 |
| | Total | 5 | 5 | 10 | 100 |
| C13 Hipofaringe | | | | | |
| | Carcinoma de células escamosas | 2 | 0 | 2 | 100 |
| | Total | 2 | 0 | 2 | 100 |
| C14 Otras localizaciones de labio, cavidad bucal y faringe | | | | | |
| | Carcinoma de células escamosas | 1 | 1 | 2 | 100 |
| | Total | 1 | 1 | 2 | 100 |
| C15 Esófago | | | | | |
| | Carcinoma, SAI | 3 | 2 | 5 | 7,1 |
| | Carcinoma de células grandes, SAI | 0 | 1 | 1 | 1,4 |
| | Carcinoma neuroendocrino de células grandes | 1 | 0 | 1 | 1,4 |
| | Carcinoma de células pequeñas, SAI | 0 | 1 | 1 | 1,4 |
| | Carcinoma de células escamosas | 29 | 17 | 46 | 65,8 |
| | Adenocarcinoma, SAI | 12 | 4 | 16 | 22,9 |
| | Total | 45 | 25 | 70 | 100 |

(continúa)

Tabla 6. Distribución de casos nuevos de cáncer por sexo, según localización primaria y diagnóstico histológico, INC, Colombia, 2016 

| CIEO-3* | Localización primaria y tipo histológico | Hombres No. | Mujeres No. | Total No. | % |
|------------------------------|---|----------------|----------------|--------------|--------------|
| C16 Estómago | | | | | |
| | Neoplasia, maligna | 9 | 5 | 14 | 2,6 |
| | Carcinoma, SAI | 6 | 4 | 10 | 1,8 |
| | Carcinoma de células escamosas | 4 | 1 | 5 | 0,9 |
| | Adenocarcinoma in situ, SAI | 1 | 2 | 3 | 0,6 |
| | Adenocarcinoma, SAI | 65 | 16 | 81 | 14,9 |
| | Adenocarcinoma, tipo intestinal | 140 | 76 | 216 | 39,7 |
| | Carcinoma, tipo difuso | 38 | 48 | 86 | 15,8 |
| | Adenocarcinoma tubular | 3 | 1 | 4 | 0,7 |
| | Carcinoma neuroendocrino, SAI | 10 | 6 | 16 | 2,9 |
| | Adenocarcinoma papilar | 1 | 0 | 1 | 0,2 |
| | Adenocarcinoma en adenoma tubulovelloso | 1 | 1 | 2 | 0,4 |
| | Adenocarcinoma mucinoso | 1 | 1 | 2 | 0,4 |
| | Carcinoma de células en anillo de sello | 30 | 39 | 69 | 12,7 |
| | Sarcoma del estroma gastrointestinal (GIST) | 6 | 8 | 14 | 2,6 |
| | Linfoma maligno, no Hodgkin, SAI | 1 | 0 | 1 | 0,2 |
| | Linfoma de células del manto | 0 | 1 | 1 | 0,2 |
| | Linfoma maligno, células B grandes, difuso | 11 | 5 | 16 | 2,9 |
| | Linfoma de células B de la zona marginal | 1 | 2 | 3 | 0,6 |
| | Total | 328 | 216 | 544 | 100,0 |
| C17 Intestino delgado | | | | | |
| | Neoplasia, maligna | 3 | 2 | 5 | 18,5 |
| | Adenocarcinoma, SAI | 5 | 3 | 8 | 29,6 |
| | Carcinoma neuroendocrino, SAI | 5 | 5 | 10 | 37,0 |
| | Adenocarcinoma en adenoma tubulovelloso | 1 | 0 | 1 | 3,7 |
| | Sarcoma del estroma gastrointestinal (GIST) | 1 | 1 | 2 | 7,4 |
| | Linfoma maligno, células B grandes, difuso | 1 | 0 | 1 | 3,7 |
| | Total | 16 | 11 | 27 | 100 |
| C18 Colon | | | | | |
| | Neoplasia, maligna | 2 | 4 | 6 | 2,4 |
| | Carcinoma, SAI | 1 | 0 | 1 | 0,4 |
| | Carcinoma de células grandes, SAI | 0 | 1 | 1 | 0,4 |
| | Carcinoma seudosarcomatoso | 0 | 1 | 1 | 0,4 |
| | Carcinoma de células pequeñas, SAI | 1 | 0 | 1 | 0,4 |
| | Carcinoma in situ de células escamosas | 1 | 0 | 1 | 0,4 |
| | Adenocarcinoma, SAI | 90 | 105 | 195 | 78,9 |
| | Adenocarcinoma tubular | 1 | 0 | 1 | 0,4 |
| | Carcinoma neuroendocrino, SAI | 4 | 7 | 11 | 4,5 |
| | Adenocarcinoma en adenoma tubulovelloso | 3 | 4 | 7 | 2,8 |
| | Adenocarcinoma mucinoso | 6 | 10 | 16 | 6,5 |
| | Carcinoma de células en anillo de sello | 1 | 2 | 3 | 1,2 |

(continúa)

Tabla 6. Distribución de casos nuevos de cáncer por sexo, según localización primaria y diagnóstico histológico, INC, Colombia, 2016 

| CIEO-3* | Localización primaria y tipo histológico | Hombres | Mujeres | Total | % |
|--|--|------------|------------|------------|------------|
| | | No. | No. | No. | |
| | Linfoma maligno, no Hodgkin, SAI | 0 | 1 | 1 | 0,4 |
| | Linfoma maligno, células B grandes, difuso | 0 | 2 | 2 | 0,8 |
| | Total | 110 | 137 | 247 | 100 |
| C19 Unión rectosigmoidea | | | | | |
| | Adenocarcinoma, SAI | 20 | 7 | 27 | 90,0 |
| | Adenocarcinoma en adenoma tubulovelloso | 0 | 1 | 1 | 3,3 |
| | Carcinoma de células en anillo de sello | 1 | 0 | 1 | 3,3 |
| | Tumor desmoplásico de células redondas pequeñas | 0 | 1 | 1 | 3,3 |
| | Total | 11 | 7 | 18 | 100 |
| C20 Recto | | | | | |
| | Neoplasia, maligna | 4 | 1 | 5 | 2,5 |
| | Carcinoma, SAI | 1 | 0 | 1 | 0,5 |
| | Carcinoma de células escamosas | 2 | 5 | 7 | 3,4 |
| | Adenocarcinoma, SAI | 90 | 78 | 168 | 82,8 |
| | Adenocarcinoma en pólipo adenomatoso | 2 | 0 | 2 | 1,0 |
| | Adenocarcinoma tubular | 1 | 0 | 1 | 0,5 |
| | Carcinoma neuroendocrino, SAI | 1 | 4 | 5 | 2,5 |
| | Adenocarcinoma en adenoma tubulovelloso | 2 | 2 | 4 | 2,0 |
| | Adenocarcinoma mucinoso | 3 | 2 | 5 | 2,5 |
| | Carcinoma de células en anillo de sello | 1 | 3 | 4 | 2,0 |
| | Linfoma maligno, células B grandes, inmunoblástico | 1 | 0 | 1 | 0,5 |
| | Total | 108 | 95 | 203 | 100 |
| C21 Ano y canal anal | | | | | |
| | Carcinoma de células escamosas | 6 | 25 | 31 | 88,6 |
| | Adenocarcinoma, SAI | 1 | 2 | 3 | 8,6 |
| | Melanoma maligno, SAI | 0 | 1 | 1 | 2,9 |
| | Total | 7 | 28 | 35 | 100 |
| C22 Hígado y vías biliares intrahepáticas | | | | | |
| | Neoplasia, maligna | 3 | 0 | 3 | 5,9 |
| | Carcinoma, SAI | 1 | 1 | 2 | 3,9 |
| | Adenocarcinoma, SAI | 1 | 3 | 4 | 7,8 |
| | Colangiocarcinoma | 2 | 4 | 6 | 11,8 |
| | Carcinoma hepatocelular | 23 | 7 | 30 | 58,8 |
| | Sarcoma de células fusiformes | 0 | 1 | 1 | 2,0 |
| | Hepatoblastoma, SAI | 1 | 3 | 4 | 7,8 |
| | Hemangiosarcoma | 1 | 0 | 1 | 2,0 |
| | Total | 32 | 19 | 51 | 100 |
| C23 Vesícula biliar | | | | | |
| | Neoplasia, maligna | 1 | 0 | 1 | 2,3 |
| | Carcinoma in situ, SAI | 0 | 1 | 1 | 2,3 |
| | Carcinoma, SAI | 0 | 1 | 1 | 2,3 |
| | Adenocarcinoma, SAI | 6 | 28 | 34 | 79,1 |
| | Colangiocarcinoma | 0 | 1 | 1 | 2,3 |
| | Tumor de Klatskin | 0 | 1 | 1 | 2,3 |

(continúa)

Tabla 6. Distribución de casos nuevos de cáncer por sexo, según localización primaria y diagnóstico histológico, INC, Colombia, 2016

| CIEO-3* | Localización primaria y tipo histológico | Hombres | Mujeres | Total | % |
|---|---|-----------|-----------|-----------|------------|
| | | No. | No. | No. | |
| | Adenocarcinoma mucinoso | 0 | 1 | 1 | 2,3 |
| | Carcinoma de células en anillo de sello | 0 | 2 | 2 | 4,7 |
| | Carcinoma adenoescamoso | 0 | 1 | 1 | 2,3 |
| | Total | 7 | 36 | 43 | 100 |
| C24 Otras partes de las vías biliares | | | | | |
| | Adenocarcinoma, SAI | 6 | 8 | 14 | 93,3 |
| | Adenocarcinoma mucinoso | 1 | 0 | 1 | 6,7 |
| | Total | 7 | 8 | 15 | 100 |
| C25 Páncreas | | | | | |
| | Neoplasia, maligna | 9 | 7 | 16 | 23,9 |
| | Carcinoma, SAI | 1 | 3 | 4 | 6,0 |
| | Carcinoma de células grandes, SAI | 1 | 0 | 1 | 1,5 |
| | Carcinoma papilar, SAI | 1 | 0 | 1 | 1,5 |
| | Adenocarcinoma, SAI | 21 | 11 | 32 | 47,8 |
| | Adenocarcinoma tubular | 0 | 1 | 1 | 1,5 |
| | Carcinoma neuroendocrino, SAI | 4 | 1 | 5 | 7,5 |
| | Adenocarcinoma mucinoso | 0 | 1 | 1 | 1,5 |
| | Carcinoma ductal | 3 | 2 | 5 | 7,5 |
| | Leiomiomasarcoma | 0 | 1 | 1 | 1,5 |
| | Total | 40 | 27 | 67 | 100 |
| C26 Otras localizaciones del aparato digestivo | | | | | |
| | Sarcoma del estroma gastrointestinal (GIST) | 0 | 1 | 1 | 100,0 |
| | Total | 0 | 1 | 1 | 100 |
| C30 Fosa nasal y oído medio | | | | | |
| | Carcinoma, SAI | 2 | 0 | 2 | 20,0 |
| | Carcinoma de células escamosas | 1 | 0 | 1 | 10,0 |
| | Carcinoma quístico adenoide | 0 | 1 | 1 | 10,0 |
| | Carcinoma mucoepidermoide | 0 | 1 | 1 | 10,0 |
| | Melanoma maligno, SAI | 1 | 2 | 3 | 30,0 |
| | Sarcoma, SAI | 1 | 0 | 1 | 10,0 |
| | Linfoma maligno, células B grandes, difuso | 1 | 0 | 1 | 10,0 |
| | Total | 6 | 4 | 10 | 100 |
| C31 Senos accesorios | | | | | |
| | Neoplasia, maligna | 0 | 1 | 1 | 7,1 |
| | Carcinoma de células escamosas | 5 | 1 | 6 | 42,9 |
| | Adenocarcinoma, SAI | 1 | 2 | 3 | 21,4 |
| | Melanoma maligno, SAI | 0 | 1 | 1 | 7,1 |
| | Rabdomiosarcoma embrionario, SAI | 1 | 0 | 1 | 7,1 |
| | Linfoma maligno, células B grandes, difuso | 1 | 0 | 1 | 7,1 |
| | Linfoma de células NKT, nasal y tipo nasal | 0 | 1 | 1 | 7,1 |
| | Total | 8 | 6 | 14 | 100 |
| C32 Laringe | | | | | |
| | Carcinoma verrugoso, SAI | 1 | 0 | 1 | 3,2 |
| | Carcinoma in situ células escamosas, SAI | 1 | 0 | 1 | 3,2 |
| | Carcinoma de células escamosas | 27 | 2 | 29 | 93,5 |

(continúa)

Tabla 6. Distribución de casos nuevos de cáncer por sexo, según localización primaria y diagnóstico histológico, INC, Colombia, 2016 

| CIEO-3* | Localización primaria y tipo histológico | Hombres | Mujeres | Total | % |
|--|---|-----------|-----------|------------|------------|
| | | No. | No. | No. | |
| | Total | 29 | 2 | 31 | 100 |
| C33 Tráquea | | | | | |
| | Neoplasia, maligna | 1 | 0 | 1 | 100,0 |
| | Total | 1 | 0 | 1 | 100 |
| C34 Bronquios y pulmón | | | | | |
| | Neoplasia, maligna | 4 | 2 | 6 | 4,1 |
| | Carcinoma, SAI | 0 | 5 | 5 | 3,4 |
| | Carcinoma de células grandes, SAI | 4 | 2 | 6 | 4,1 |
| | Carcinoma de células pequeñas, SAI | 6 | 3 | 9 | 6,1 |
| | Carcinoma de células no pequeñas, SAI | 10 | 9 | 19 | 12,9 |
| | Carcinoma de células escamosas | 12 | 4 | 16 | 10,9 |
| | Adenocarcinoma, SAI | 34 | 23 | 57 | 38,8 |
| | Carcinoma quístico adenoide | 0 | 1 | 1 | 0,7 |
| | Tumor carcinoide, SAI | 1 | 3 | 4 | 2,7 |
| | Carcinoma neuroendocrino, SAI | 3 | 2 | 5 | 3,4 |
| | Adenocarcinoma bronquioloalveolar, SAI | 1 | 0 | 1 | 0,7 |
| | Adenocarcinoma papilar, SAI | 1 | 2 | 3 | 2,0 |
| | Carcinoma de células en anillo de sello | 0 | 1 | 1 | 0,7 |
| | Carcinoma de células acinosas | 8 | 5 | 13 | 8,8 |
| | Leiomioma, SAI | 0 | 1 | 1 | 0,7 |
| | Total | 84 | 63 | 147 | 100 |
| C37 Timo | | | | | |
| | Timoma maligno, SAI | 0 | 1 | 1 | 25,0 |
| | Timoma, tipo ab, maligno | 1 | 0 | 1 | 25,0 |
| | Timoma, tipo b1, maligno | 0 | 1 | 1 | 25,0 |
| | Carcinoma tímico, SAI | 0 | 1 | 1 | 25,0 |
| | Total | 1 | 3 | 4 | 100 |
| C38 Corazón, mediastino y pleura | | | | | |
| | Tumor fibroso solitario, maligno | 1 | 1 | 2 | 9,1 |
| | Mesotelioma, maligno | 7 | 6 | 13 | 59,1 |
| | Germinoma extranodal | 2 | 0 | 2 | 9,1 |
| | Tumor de células germinales, no seminomatoso | 2 | 0 | 2 | 9,1 |
| | Teratoma maligno | 1 | 0 | 1 | 4,5 |
| | Linfoma de Hodgkin, esclerosis nodular, SAI | 1 | 0 | 1 | 4,5 |
| | Linfoma linfoblástico de células T precursoras, SAI | 1 | 0 | 1 | 4,5 |
| | Total | 15 | 7 | 22 | 100 |
| C40 Huesos y articulaciones de las extremidades | | | | | |
| | Neoplasia, maligna | 1 | 0 | 1 | 2,6 |
| | Sarcoma, SAI | 2 | 1 | 3 | 7,7 |
| | Sarcoma de células fusiformes | 0 | 1 | 1 | 2,6 |

(continúa)

Tabla 6. Distribución de casos nuevos de cáncer por sexo, según localización primaria y diagnóstico histológico, INC, Colombia, 2016

| CIEO-3* | Localización primaria y tipo histológico | Hombres | Mujeres | Total | % |
|--|---|-----------|-----------|-----------|------------|
| | | No. | No. | No. | |
| | Sarcoma sinovial, bifásico | 0 | 1 | 1 | 2,6 |
| | Osteosarcoma | 13 | 8 | 21 | 53,8 |
| | Condrosarcoma, maligno | 1 | 0 | 1 | 2,6 |
| | Condrosarcoma | 2 | 3 | 5 | 12,8 |
| | Sarcoma de Ewing | 2 | 3 | 5 | 12,8 |
| | Linfoma maligno, no Hodgkin, SAI | 1 | 0 | 1 | 2,6 |
| | Total | 22 | 17 | 39 | 100 |
| C41 Huesos y articulaciones de otras localizaciones | | | | | |
| | Neoplasia, maligna | 1 | 2 | 3 | 10,0 |
| | Tumor maligno tipo células gigantes | 1 | 3 | 4 | 13,3 |
| | Sarcoma, SAI | 0 | 1 | 1 | 3,3 |
| | Hemangiosarcoma | 0 | 1 | 1 | 3,3 |
| | Osteosarcoma | 1 | 1 | 2 | 6,7 |
| | Condrosarcoma | 3 | 3 | 6 | 20,0 |
| | Sarcoma de Ewing | 4 | 2 | 6 | 20,0 |
| | Tumor neuroectodérmico periférico | 1 | 2 | 3 | 10,0 |
| | Cordoma, SAI | 1 | 1 | 2 | 6,7 |
| | Linfoma maligno, células B, grandes, difuso, SAI | 0 | 1 | 1 | 3,3 |
| | Plasmocitoma, SAI | 1 | 0 | 1 | 3,3 |
| | Total | 13 | 17 | 30 | 100 |
| C42 Sistema hematopoyético y reticuloendotelial | | | | | |
| | Linfoma maligno, no Hodgkin, SAI | 1 | 0 | 1 | 0,4 |
| | Linfoma maligno, linfocítico, células B pequeñas | 0 | 1 | 1 | 0,4 |
| | Linfoma de células del manto | 1 | 1 | 2 | 0,7 |
| | Linfoma de Burkitt, SAI | 1 | 0 | 1 | 0,4 |
| | Linfoma esplénico de células B de la zona marginal | 0 | 1 | 1 | 0,4 |
| | Linfoma de células B de la zona marginal, SAI | 0 | 2 | 2 | 0,7 |
| | Mieloma múltiple | 26 | 37 | 63 | 22,7 |
| | Leucemia de células plasmáticas | 5 | 4 | 9 | 3,2 |
| | Leucemia, SAI | 0 | 1 | 1 | 0,4 |
| | Leucemia aguda, SAI | 0 | 2 | 2 | 0,7 |
| | Leucemia bifenotípica aguda | 0 | 1 | 1 | 0,4 |
| | Leucemia linfocítica crónica de células B / linfoma linfocítico pequeño | 6 | 5 | 11 | 4,0 |
| | Leucemia / linfoma de células T del adulto | 1 | 0 | 1 | 0,4 |
| | Leucemia linfoblástica de células precursoras, SAI | 48 | 35 | 83 | 30,0 |
| | Lla-b precursor comun (all) | 1 | 1 | 2 | 0,7 |
| | Leucemia linfoblástica de células T precursoras | 1 | 1 | 2 | 0,7 |
| | Leucemia mieloide aguda, tipo M6 | 0 | 1 | 1 | 0,4 |
| | Leucemia mieloide aguda, SAI | 21 | 14 | 35 | 12,7 |
| | Leucemia mieloide crónica | 2 | 4 | 6 | 2,2 |

(continúa)

Tabla 6. Distribución de casos nuevos de cáncer por sexo, según localización primaria y diagnóstico histológico, INC, Colombia, 2016 

| CIEO-3* | Localización primaria y tipo histológico | Hombres | Mujeres | Total | % |
|-----------------|--|------------|------------|------------|------------|
| | | No. | No. | No. | |
| | Leucemia promielocítica aguda t(15;17)(q22;11-12) | 0 | 3 | 3 | 1,1 |
| | Leucemia mielomonocítica aguda | 1 | 0 | 1 | 0,4 |
| | Leucemia mielogenosa crónica, BRC ABL positivo | 3 | 6 | 9 | 3,2 |
| | Leucemia monocítica aguda | 1 | 1 | 2 | 0,7 |
| | Leucemia mieloide aguda, t(8;21)(q22;q22) | 3 | 1 | 4 | 1,4 |
| | Leucemia mieloide aguda, anormalidades 11q23 | 1 | 2 | 3 | 1,1 |
| | Leucemia de células pilosas | 3 | 0 | 3 | 1,1 |
| | Leucemia mielomonocítica crónica, SAI | 0 | 1 | 1 | 0,4 |
| | Leucemia mielomonocítica juvenil | 2 | 0 | 2 | 0,7 |
| | Enfermedad mieloproliferativa crónica, SAI | 1 | 0 | 1 | 0,4 |
| | Mieloesclerosis con metaplasia mieloide | 1 | 0 | 1 | 0,4 |
| | Trombocitemia esencial | 1 | 4 | 5 | 1,8 |
| | Anemia refractaria | 1 | 1 | 2 | 0,7 |
| | Citopenia refractaria con displasia multilineal | 0 | 2 | 2 | 0,7 |
| | Síndrome mielodisplásico con síndrome de delección (5q-) | 0 | 1 | 1 | 0,4 |
| | Síndrome mielodisplásico, SAI | 5 | 7 | 12 | 4,3 |
| | Total | 137 | 140 | 277 | 100 |
| C44 Piel | | | | | |
| | Neoplasia, maligna | 1 | 0 | 1 | 0,1 |
| | Carcinoma, SAI | 0 | 1 | 1 | 0,1 |
| | Carcinoma pseudosarcomatoso | 1 | 0 | 1 | 0,1 |
| | Carcinoma in situ de células escamosas | 19 | 18 | 37 | 2,5 |
| | Carcinoma de células escamosas | 144 | 121 | 265 | 17,7 |
| | Enfermedad de Bowen | 18 | 26 | 44 | 2,9 |
| | Carcinoma basaloide de células escamosas | 0 | 4 | 4 | 0,3 |
| | Carcinoma de células basales | 400 | 466 | 866 | 57,7 |
| | Carcinoma basoescomoso | 10 | 3 | 13 | 0,9 |
| | Carcinoma pilomatrix | 1 | 0 | 1 | 0,1 |
| | Adenocarcinoma, SAI | 0 | 1 | 1 | 0,1 |
| | Adenocarcinoma trabecular | 19 | 21 | 40 | 2,7 |
| | Carcinoma quístico adenoide | 0 | 1 | 1 | 0,1 |
| | Carcinoma sólido | 0 | 1 | 1 | 0,1 |
| | Carcinoma de células de Merkel | 1 | 1 | 2 | 0,1 |
| | Hidradenoma nodular, maligno | 1 | 1 | 2 | 0,1 |
| | Carcinoma ductal esclerosante de las glándulas sudoríparas | 0 | 1 | 1 | 0,1 |
| | Adenocarcinoma papilar ecrino | 0 | 1 | 1 | 0,1 |
| | Poroma ecrino, maligno | 3 | 0 | 3 | 0,2 |
| | Adenocarcinoma sebáceo | 2 | 4 | 6 | 0,4 |
| | Léntigo maligno | 8 | 7 | 15 | 1,0 |

(continúa)

Tabla 6. Distribución de casos nuevos de cáncer por sexo, según localización primaria y diagnóstico histológico, INC, Colombia, 2016



| CIEO-3* | Localización primaria y tipo histológico | Hombres | Mujeres | Total | % |
|---|---|------------|------------|--------------|------------|
| | | No. | No. | No. | |
| | Melanoma in situ | 8 | 17 | 25 | 1,7 |
| | Melanoma maligno | 48 | 69 | 117 | 7,8 |
| | Dermatofibrosarcoma, SAI | 4 | 5 | 9 | 0,6 |
| | Mioepitelioma maligno | 0 | 1 | 1 | 0,1 |
| | Hemangiosarcoma | 1 | 0 | 1 | 0,1 |
| | Sarcoma de Kaposi | 12 | 4 | 16 | 1,1 |
| | Linfoma maligno, células B grandes, difuso | 0 | 2 | 2 | 0,1 |
| | Linfoma folicular, SAI | 0 | 1 | 1 | 0,1 |
| | Linfoma de células B de la zona marginal | 0 | 1 | 1 | 0,1 |
| | Micosis fungoide | 8 | 7 | 15 | 1,0 |
| | Síndrome de Sezary | 1 | 0 | 1 | 0,1 |
| | Linfoma de células T maduras, SAI | 0 | 2 | 2 | 0,1 |
| | Linfoma cutáneo de células T, SAI | 1 | 0 | 1 | 0,1 |
| | Trastorno linfoproliferativo de células t cd30+, cutáneo primario | 1 | 1 | 2 | 0,1 |
| | Total | 712 | 788 | 1.500 | 100 |
| C47 Nervios periféricos y SNA | | | | | |
| | Liposarcoma indiferenciado | 1 | 0 | 1 | 50,0 |
| | Cordoma condroide | 1 | 0 | 1 | 50,0 |
| | Total | 2 | 0 | 2 | 100 |
| C48 Retroperitoneo y peritoneo | | | | | |
| | Neoplasia, maligna | 1 | 3 | 4 | 7,7 |
| | Paraganglioma, maligno | 1 | 1 | 2 | 3,8 |
| | Sarcoma, SAI | 2 | 1 | 3 | 5,8 |
| | Sarcoma de células fusiformes | 1 | 1 | 2 | 3,8 |
| | Sarcoma de células gigantes | 1 | 0 | 1 | 1,9 |
| | Liposarcoma | 7 | 17 | 24 | 46,2 |
| | Leiomiomasarcoma | 3 | 5 | 8 | 15,4 |
| | Rabdomiosarcoma, SAI | 0 | 1 | 1 | 1,9 |
| | Mesotelioma epitelioide, maligno | 1 | 0 | 1 | 1,9 |
| | Teratoma, maligno, SAI | 0 | 1 | 1 | 1,9 |
| | Ganglioneuroblastoma | 1 | 0 | 1 | 1,9 |
| | Neuroblastoma, SAI | 0 | 1 | 1 | 1,9 |
| | Linfoma de células del manto | 1 | 0 | 1 | 1,9 |
| | Linfoma maligno, células B grandes, difuso | 2 | 0 | 2 | 3,8 |
| | Total | 21 | 31 | 52 | 100 |
| C49 Tejidos conjuntivo, subcutáneo y otros tejidos blandos | | | | | |
| | Neoplasia, maligna | 2 | 2 | 4 | 3,4 |
| | Tumor maligno tipo células pequeñas | 1 | 1 | 2 | 1,7 |
| | Tumor maligno tipo células fusiformes | 1 | 0 | 1 | 0,9 |

(continúa)

Tabla 6. Distribución de casos nuevos de cáncer por sexo, según localización primaria y diagnóstico histológico, INC, Colombia, 2016 

| CIEO-3* | Localización primaria y tipo histológico | Hombres | Mujeres | Total | % |
|-----------------|---|-----------|-----------|------------|------------|
| | | No. | No. | No. | |
| | Sarcoma, SAI | 13 | 5 | 18 | 15,4 |
| | Sarcoma de células fusiformes | 4 | 2 | 6 | 5,1 |
| | Sarcoma de células gigantes | 2 | 7 | 9 | 7,7 |
| | Sarcoma de células pequeñas | 1 | 0 | 1 | 0,9 |
| | Sarcoma epitelióide | 0 | 1 | 1 | 0,9 |
| | Tumor desmoplásico de células redondas pequeñas | 0 | 1 | 1 | 0,9 |
| | Fibromixosarcoma | 4 | 4 | 8 | 6,8 |
| | Tumor fibroso solitario, maligno | 0 | 1 | 1 | 0,9 |
| | Histiocitoma fibroso solitario, maligno | 1 | 0 | 1 | 0,9 |
| | Liposarcoma | 16 | 15 | 31 | 26,5 |
| | Leiomiomasarcoma | 1 | 3 | 4 | 3,4 |
| | Rabdomiosarcoma | 2 | 4 | 6 | 5,1 |
| | Sarcoma sinovial | 5 | 10 | 15 | 12,8 |
| | Tumor mixto de células germinales | 1 | 0 | 1 | 0,9 |
| | Hemangiosarcoma | 0 | 1 | 1 | 0,9 |
| | Sarcoma de kaposi | 2 | 0 | 2 | 1,7 |
| | Tumor de Askin | 0 | 1 | 1 | 0,9 |
| | Linfoma maligno, células B grandes, difuso | 2 | 0 | 2 | 1,7 |
| | Linfoma de Burkitt, SAI | 1 | 0 | 1 | 0,9 |
| | Total | 59 | 58 | 117 | 100 |
| C50 Mama | | | | | |
| | Neoplasia, maligna | 1 | 21 | 22 | 3,0 |
| | Carcinoma in situ | 0 | 3 | 3 | 0,4 |
| | Carcinoma, SAI | 1 | 59 | 60 | 8,2 |
| | Carcinoma de células grandes, SAI | 0 | 1 | 1 | 0,1 |
| | Carcinoma papilar, SAI | 0 | 8 | 8 | 1,1 |
| | Adenocarcinoma, SAI | 0 | 3 | 3 | 0,4 |
| | Carcinoma cribiforme in situ | 0 | 2 | 2 | 0,3 |
| | Carcinoma cribiforme, SAI | 0 | 1 | 1 | 0,1 |
| | Adenocarcinoma tubular | 0 | 5 | 5 | 0,7 |
| | Adenocarcinoma mucinoso | 0 | 9 | 9 | 1,2 |
| | Carcinoma de células en anillo de sello | 0 | 1 | 1 | 0,1 |
| | Carcinoma intraductal, no infiltrante, SAI | 1 | 20 | 21 | 2,9 |
| | Carcinoma ductal infiltrante, SAI | 1 | 539 | 540 | 73,5 |
| | Adenocarcinoma papilar intraductal no infiltrante | 0 | 1 | 1 | 0,1 |
| | Adenocarcinoma papilar intraductal con invasión | 0 | 1 | 1 | 0,1 |
| | Carcinoma intraquístico no infiltrante | 0 | 1 | 1 | 0,1 |
| | Carcinoma intraquístico, SAI | 0 | 3 | 3 | 0,4 |
| | Carcinoma lobular, SAI | 1 | 27 | 28 | 3,8 |
| | Carcinoma ductular infiltrante | 0 | 2 | 2 | 0,3 |
| | Carcinoma ductal lobular e infiltrante | 0 | 3 | 3 | 0,4 |

(continúa)

Tabla 6. Distribución de casos nuevos de cáncer por sexo, según localización primaria y diagnóstico histológico, INC, Colombia, 2016



| CIEO-3* | Localización primaria y tipo histológico | Hombres | Mujeres | Total | % |
|-----------------------------|---|----------|------------|------------|------------|
| | | No. | No. | No. | |
| | Carcinoma ductal infiltrante mixto con otros tipos de carcinoma | 0 | 7 | 7 | 1,0 |
| | Enfermedad de Paget, mamaria | 0 | 2 | 2 | 0,3 |
| | Enfermedad de paget y carcinoma intraductal de la mama | 0 | 1 | 1 | 0,1 |
| | Carcinoma metaplásico, SAI | 0 | 4 | 4 | 0,5 |
| | Liposarcoma pleomórfico | 0 | 1 | 1 | 0,1 |
| | Rabdomiosarcoma alveolar | 0 | 1 | 1 | 0,1 |
| | Sarcoma del estroma, SAI | 0 | 1 | 1 | 0,1 |
| | Tumor filloide, maligno | 0 | 1 | 1 | 0,1 |
| | Hemangiosarcoma | 0 | 1 | 1 | 0,1 |
| | Linfoma de células B de la zona marginal, SAI | 0 | 1 | 1 | 0,1 |
| | Total | 5 | 730 | 735 | 100 |
| C51 Vulva | | | | | |
| | Carcinoma in situ de células escamosas | 0 | 2 | 2 | 6,9 |
| | Carcinoma de células escamosas | 0 | 14 | 14 | 48,3 |
| | Neoplasia intraepitelial escamosa, grado III | 0 | 3 | 3 | 10,3 |
| | Enfermedad de Bowen | 0 | 2 | 2 | 6,9 |
| | Carcinoma de células basales, nodular | 0 | 1 | 1 | 3,4 |
| | Carcinoma quístico adenoide | 0 | 1 | 1 | 3,4 |
| | Adenocarcinoma en adenoma tubulovelloso | 0 | 1 | 1 | 3,4 |
| | Melanoma maligno, SAI | 0 | 4 | 4 | 13,8 |
| | Linfoma maligno, células B grandes, difuso | 0 | 1 | 1 | 3,4 |
| | Total | 0 | 29 | 29 | 100 |
| C52 Vagina | | | | | |
| | Carcinoma in situ de células escamosas | 0 | 1 | 1 | 7,7 |
| | Carcinoma de células escamosas | 0 | 7 | 7 | 53,8 |
| | Neoplasia intraepitelial escamosa, grado III | 0 | 5 | 5 | 38,5 |
| | Total | 0 | 13 | 13 | 100 |
| C53 Cuello del útero | | | | | |
| | Neoplasia, maligna | 0 | 3 | 3 | 0,6 |
| | Carcinoma, SAI | 0 | 8 | 8 | 1,6 |
| | Carcinoma de células grandes, SAI | 0 | 2 | 2 | 0,4 |
| | Carcinoma de células pequeñas, SAI | 0 | 1 | 1 | 0,2 |
| | Carcinoma de células escamosas papilares | 0 | 1 | 1 | 0,2 |
| | Carcinoma in situ de células escamosas | 0 | 57 | 57 | 11,6 |
| | Carcinoma de células escamosas | 0 | 285 | 285 | 58,0 |
| | Neoplasia intraepitelial escamosa, grado III | 0 | 66 | 66 | 13,4 |
| | Adenocarcinoma in situ | 0 | 3 | 3 | 0,6 |
| | Adenocarcinoma, SAI | 0 | 26 | 26 | 5,3 |
| | Adenocarcinoma en adenoma tubulovelloso | 0 | 1 | 1 | 0,2 |

(continúa)

Tabla 6. Distribución de casos nuevos de cáncer por sexo, según localización primaria y diagnóstico histológico, INC, Colombia, 2016 

| CIEO-3* | Localización primaria y tipo histológico | Hombres | Mujeres | Total | % |
|-----------------------------|--|----------|------------|------------|------------|
| | | No. | No. | No. | |
| | Adenocarcinoma, tipo endocervical | 0 | 17 | 17 | 3,5 |
| | Adenocarcinoma mucinoso | 0 | 5 | 5 | 1,0 |
| | Carcinoma adenoescamoso | 0 | 9 | 9 | 1,8 |
| | Leiomiocarcinoma, SAI | 0 | 2 | 2 | 0,4 |
| | Carcinosarcoma, SAI | 0 | 5 | 5 | 1,0 |
| | Total | 0 | 491 | 491 | 100 |
| C54 Cuerpo del útero | | | | | |
| | Neoplasia, maligna | 0 | 2 | 2 | 1,4 |
| | Carcinoma, SAI | 0 | 4 | 4 | 2,8 |
| | Carcinoma papilar, SAI | 0 | 1 | 1 | 0,7 |
| | Carcinoma de células escamosas papilares | 0 | 1 | 1 | 0,7 |
| | Carcinoma de células escamosas | 0 | 2 | 2 | 1,4 |
| | Adenocarcinoma, SAI | 0 | 9 | 9 | 6,2 |
| | Adenocarcinoma papilar, SAI | 0 | 1 | 1 | 0,7 |
| | Adenocarcinoma en adenoma tubulovelloso | 0 | 3 | 3 | 2,1 |
| | Adenocarcinoma de células claras | 0 | 2 | 2 | 1,4 |
| | Adenocarcinoma endometriode | 0 | 103 | 103 | 71,0 |
| | Adenocarcinoma seroso papilar | 0 | 5 | 5 | 3,4 |
| | Adenocarcinoma mucinoso | 0 | 2 | 2 | 1,4 |
| | Leiomiocarcinoma, SAI | 0 | 1 | 1 | 0,7 |
| | Sarcoma del estroma endometrial | 0 | 5 | 5 | 3,4 |
| | Tumor mulleriano mixto | 0 | 2 | 2 | 1,4 |
| | Carcinosarcoma, SAI | 0 | 3 | 3 | 2,1 |
| | Total | 0 | 145 | 145 | 100 |
| C55 Útero, SAI | | | | | |
| | Carcinoma de células escamosas | 0 | 1 | 1 | 8,3 |
| | Adenocarcinoma endometriode, SAI | 0 | 1 | 1 | 8,3 |
| | Sarcoma de células gigantes | 0 | 1 | 1 | 8,3 |
| | Leiomiocarcinoma, SAI | 0 | 5 | 5 | 41,7 |
| | Carcinosarcoma, SAI | 0 | 4 | 4 | 33,3 |
| | Total | 0 | 12 | 12 | 100 |
| C56 Ovario | | | | | |
| | Neoplasia, maligna | 0 | 9 | 9 | 6,9 |
| | Carcinoma, SAI | 0 | 7 | 7 | 5,3 |
| | Carcinoma de células escamosas | 0 | 1 | 1 | 0,8 |
| | Adenocarcinoma, SAI | 0 | 3 | 3 | 2,3 |
| | Adenocarcinoma papilar, SAI | 0 | 2 | 2 | 1,5 |
| | Adenocarcinoma de células claras | 0 | 6 | 6 | 4,6 |
| | Adenocarcinoma endometriode | 0 | 12 | 12 | 9,2 |
| | Cistadenocarcinoma, SAI | 0 | 1 | 1 | 0,8 |
| | Cistadenocarcinoma seroso | 0 | 22 | 22 | 16,8 |

(continúa)

Tabla 6. Distribución de casos nuevos de cáncer por sexo, según localización primaria y diagnóstico histológico, INC, Colombia, 2016

| CIEO-3* | Localización primaria y tipo histológico | Hombres | Mujeres | Total | % |
|--|--|------------|------------|------------|------------|
| | | No. | No. | No. | |
| | Cistadenocarcinoma seroso papilar | 0 | 38 | 38 | 29,0 |
| | Cistadenocarcinoma mucinoso | 0 | 8 | 8 | 6,1 |
| | Adenocarcinoma mucinoso | 0 | 4 | 4 | 3,1 |
| | Tumor de células de la granulosa, maligno | 0 | 2 | 2 | 1,5 |
| | Disgerminoma | 0 | 4 | 4 | 3,1 |
| | Germinoma | 0 | 2 | 2 | 1,5 |
| | Tumor del saco embrionario | 0 | 2 | 2 | 1,5 |
| | Teratoma, maligno, SAI | 0 | 5 | 5 | 3,8 |
| | Tumor mixto de células germinales | 0 | 3 | 3 | 2,3 |
| | Total | 0 | 131 | 131 | 100 |
| C57 Otras localizaciones del aparato genital femenino | | | | | |
| | Adenocarcinoma endometrioide | 0 | 1 | 1 | 100,0 |
| | Total | 0 | 1 | 1 | 100 |
| C58 Placenta | | | | | |
| | Coriocarcinoma, SAI | 0 | 3 | 3 | 100,0 |
| | Total | 0 | 3 | 3 | 100 |
| C60 Pene | | | | | |
| | Carcinoma verrugoso, SAI | 2 | 0 | 2 | 8,0 |
| | Carcinoma in situ de células escamosas, SAI | 1 | 0 | 1 | 4,0 |
| | Carcinoma de células escamosas | 21 | 0 | 21 | 84,0 |
| | Melanoma maligno, SAI | 1 | 0 | 1 | 4,0 |
| | Total | 25 | 0 | 25 | 100 |
| C61 Glándula prostática | | | | | |
| | Neoplasia, maligna | 46 | 0 | 46 | 9,7 |
| | Carcinoma, SAI | 3 | 0 | 3 | 0,6 |
| | Carcinoma de células transicionales, SAI | 1 | 0 | 1 | 0,2 |
| | Adenocarcinoma, SAI | 57 | 0 | 57 | 12,1 |
| | Carcinoma de células acinosas | 366 | 0 | 366 | 77,4 |
| | Total | 473 | 0 | 473 | 100 |
| C62 Testículo | | | | | |
| | Neoplasia, maligna | 3 | 0 | 3 | 5,1 |
| | Rabdomiosarcoma embrionario, SAI | 1 | 0 | 1 | 1,7 |
| | Seminoma, SAI | 14 | 0 | 14 | 23,7 |
| | Germinoma | 13 | 0 | 13 | 22,0 |
| | Tumor ce células germinales, no seminomatoso | 2 | 0 | 2 | 3,4 |
| | Carcinoma embrionario | 7 | 0 | 7 | 11,9 |
| | Teratoma, maligno, SAI | 3 | 0 | 3 | 5,1 |
| | Teratocarcinoma | 3 | 0 | 3 | 5,1 |
| | Tumor mixto de células germinales | 9 | 0 | 9 | 15,3 |
| | Coriocarcinoma combinado con otros elementos de células germinales | 3 | 0 | 3 | 5,1 |

(continúa)

Tabla 6. Distribución de casos nuevos de cáncer por sexo, según localización primaria y diagnóstico histológico, INC, Colombia, 2016 

| CIEO-3* | Localización primaria y tipo histológico | Hombres | Mujeres | Total | % |
|---|--|-----------|-----------|-----------|------------|
| | | No. | No. | No. | |
| | Linfoma maligno, células B grandes, difuso | 1 | 0 | 1 | 1,7 |
| | Total | 59 | 0 | 59 | 100 |
| C63 Otras localizaciones del aparato genital masculino | | | | | |
| | Carcinoma de células escamosas | 1 | 0 | 1 | 20 |
| | Enfermedad de Paget extramamaria | 1 | 0 | 1 | 20 |
| | Sarcoma de células fusiformes | 1 | 0 | 1 | 20 |
| | Leiomioma, SAI | 2 | 0 | 2 | 40,0 |
| | Total | 5 | 0 | 5 | 100 |
| C64 Riñón | | | | | |
| | Neoplasia, maligna | 5 | 4 | 9 | 11,3 |
| | Tumor maligno, tipo células claras | 1 | 0 | 1 | 1,3 |
| | Carcinoma, SAI | 1 | 1 | 2 | 2,5 |
| | Carcinoma de células transicionales, SAI | 1 | 1 | 2 | 2,5 |
| | Carcinoma papilar de células transicionales, SAI | 2 | 0 | 2 | 2,5 |
| | Adenocarcinoma, SAI | 1 | 0 | 1 | 1,3 |
| | Adenocarcinoma papilar, SAI | 0 | 1 | 1 | 1,3 |
| | Adenocarcinoma de células claras | 17 | 4 | 21 | 26,3 |
| | Carcinoma de células renales | 19 | 8 | 27 | 33,8 |
| | Carcinoma de células granulares | 0 | 1 | 1 | 1,3 |
| | Nefroblastoma, SAI | 4 | 7 | 11 | 13,8 |
| | Sarcoma de células claras del riñón | 0 | 1 | 1 | 1,3 |
| | Total | 51 | 29 | 80 | 100 |
| C67 Vejiga | | | | | |
| | Neoplasia, maligna | 1 | 0 | 1 | 1,4 |
| | Carcinoma verrugoso, SAI | 1 | 0 | 1 | 1,4 |
| | Carcinoma de células escamosas | 0 | 3 | 3 | 4,1 |
| | Carcinoma de células transicionales | 25 | 6 | 31 | 42,5 |
| | Carcinoma papilar de células transicionales | 25 | 8 | 33 | 45,2 |
| | Carcinoma neuroendocrino, SAI | 1 | 0 | 1 | 1,4 |
| | Adenocarcinoma de células claras | 1 | 0 | 1 | 1,4 |
| | Sarcoma, SAI | 0 | 1 | 1 | 1,4 |
| | Rabdomiosarcoma embrionario, SAI | 1 | 0 | 1 | 1,4 |
| | Total | 55 | 18 | 73 | 100 |
| C68 Otras localizaciones del aparato urinario | | | | | |
| | Melanoma maligno | 0 | 1 | 1 | 100,0 |
| | Total | 0 | 1 | 1 | 100 |
| C69 Ojos y anexos | | | | | |
| | Neoplasia, maligna | 2 | 0 | 2 | 1,8 |
| | Carcinoma in situ, SAI | 5 | 1 | 6 | 5,5 |
| | Carcinoma, SAI | 3 | 0 | 3 | 2,8 |

(continúa)

Tabla 6. Distribución de casos nuevos de cáncer por sexo, según localización primaria y diagnóstico histológico, INC, Colombia, 2016 

| CIEO-3* | Localización primaria y tipo histológico | Hombres | Mujeres | Total | % |
|--|--|-----------|-----------|------------|------------|
| | | No. | No. | No. | |
| | Carcinoma in situ de células escamosas | 8 | 9 | 17 | 15,6 |
| | Carcinoma de células escamosas | 19 | 7 | 26 | 23,9 |
| | Carcinoma linfoepitelial | 1 | 0 | 1 | 0,9 |
| | Adenocarcinoma, SAI | 1 | 0 | 1 | 0,9 |
| | Carcinoma mucoepidermoide | 1 | 0 | 1 | 0,9 |
| | Melanoma in situ | 0 | 1 | 1 | 0,9 |
| | Melanoma maligno | 7 | 15 | 22 | 20,2 |
| | Tumor neuroectodérmico periférico | 1 | 0 | 1 | 0,9 |
| | Retinoblastoma | 10 | 5 | 15 | 13,8 |
| | Linfoma maligno, linfocítico, células B pequeñas | 0 | 1 | 1 | 0,9 |
| | Linfoma de células del manto | 1 | 0 | 1 | 0,9 |
| | Linfoma folicular, SAI | 0 | 2 | 2 | 1,8 |
| | Linfoma de células B de la zona marginal, SAI | 0 | 6 | 6 | 5,5 |
| | Linfoma de células T maduras, SAI | 0 | 1 | 1 | 0,9 |
| | Linfoma de células NKT, nasal y tipo nasal | 1 | 0 | 1 | 0,9 |
| | Sarcoma histiocítico | 1 | 0 | 1 | 0,9 |
| | Total | 61 | 48 | 109 | 100 |
| C70 Meninges | | | | | |
| | Hemangiopericitoma, maligno | 1 | 0 | 1 | 7,7 |
| | Meningioma, maligno | 5 | 7 | 12 | 92,3 |
| | Total | 6 | 7 | 13 | 100 |
| C71 Encéfalo | | | | | |
| | Neoplasia, maligna | 1 | 2 | 3 | 3,0 |
| | Germinoma | 1 | 0 | 1 | 1,0 |
| | Cordoma, SAI | 2 | 0 | 2 | 2,0 |
| | Glioma, maligno | 1 | 3 | 4 | 4,0 |
| | Glioma mixto | 4 | 0 | 4 | 4,0 |
| | Glioma de los plexos coroideos | 1 | 0 | 1 | 1,0 |
| | Ependimoma | 3 | 0 | 3 | 3,0 |
| | Astrocitoma | 12 | 11 | 23 | 23,0 |
| | Glioblastoma | 16 | 18 | 34 | 34,0 |
| | Gliosarcoma | 0 | 1 | 1 | 1,0 |
| | Oligodendroglioma | 2 | 5 | 7 | 7,0 |
| | Meduloblastoma | 3 | 3 | 6 | 6,0 |
| | Tumor neuroectodérmico primitivo (PNET) | 2 | 1 | 3 | 3,0 |
| | Neuroblastoma | 3 | 0 | 3 | 3,0 |
| | Ganglioglioma, anaplásico | 2 | 2 | 4 | 4,0 |
| | Tumor teratoide rabdoide atípico | 1 | 0 | 1 | 1,0 |
| | Total | 54 | 46 | 100 | 100 |
| C72 Médula espinal, nervios craneales del SNC | | | | | |
| | Neoplasia, maligna | 0 | 1 | 1 | 0,3 |

(continúa)

Tabla 6. Distribución de casos nuevos de cáncer por sexo, según localización primaria y diagnóstico histológico, INC, Colombia, 2016 

| CIEO-3* | Localización primaria y tipo histológico | Hombres | Mujeres | Total | % |
|---------------------------------------|--|-----------|------------|------------|------------|
| | | No. | No. | No. | |
| | Carcinoma, SAI | 2 | 2 | 4 | 1,0 |
| | Carcinoma anaplásico, SAI | 0 | 2 | 2 | 0,5 |
| | Carcinoma papilar, SAI | 54 | 311 | 365 | 91,9 |
| | Adenocarcinoma oxifílico | 1 | 3 | 4 | 1,0 |
| | Adenocarcinoma de células claras | 1 | 1 | 2 | 0,5 |
| | Adenocarcinoma folicular | 1 | 11 | 12 | 3,0 |
| | Carcinoma medular | 2 | 5 | 7 | 1,8 |
| | Total | 61 | 336 | 397 | 100 |
| C73 Glándula tiroides | | | | | |
| | Carcinoma, SAI | 1 | 2 | 3 | 0,6 |
| | Carcinoma papilar, SAI | 81 | 420 | 501 | 94,4 |
| | Adenocarcinoma oxifílico | 1 | 3 | 4 | 0,8 |
| | Adenocarcinoma folicular | 1 | 12 | 13 | 2,4 |
| | Carcinoma medular | 3 | 7 | 10 | 1,9 |
| | Total | 87 | 444 | 531 | 100 |
| C74 Glándula suprarrenal | | | | | |
| | Carcinoma de la corteza suprarrenal | 2 | 2 | 4 | 66,7 |
| | Ganglioneuroblastoma | 1 | 0 | 1 | 16,7 |
| | Neuroblastoma, SAI | 1 | 0 | 1 | 16,7 |
| | Total | 4 | 2 | 6 | 100 |
| C75 Otras glándulas endocrinas | | | | | |
| | Neoplasia, maligna | 0 | 1 | 1 | 25,0 |
| | Paraganglioma, maligno | 1 | 0 | 1 | 25,0 |
| | Germinoma | 2 | 0 | 2 | 50,0 |
| | Total | 3 | 1 | 4 | 100 |
| C77 Ganglios linfáticos | | | | | |
| | Linfoma maligno, SAI | 2 | 1 | 3 | 1,6 |
| | Linfoma maligno, no Hodgkin | 3 | 6 | 9 | 4,8 |
| | Linfoma de Hodgkin | 23 | 21 | 44 | 23,7 |
| | Linfoma maligno, linfocítico, células B pequeñas | 5 | 3 | 8 | 4,3 |
| | Linfoma de células del manto | 14 | 5 | 19 | 10,2 |
| | Linfoma maligno, células B grandes, difuso, SAI | 37 | 32 | 69 | 37,1 |
| | Linfoma maligno, células B grandes, difuso, inmunoblástico | 0 | 1 | 1 | 0,5 |
| | Linfoma de Burkitt, SAI | 3 | 1 | 4 | 2,2 |
| | Linfoma folicular, SAI | 6 | 9 | 15 | 8,1 |
| | Linfoma de células B de la zona marginal | 1 | 3 | 4 | 2,2 |
| | Linfoma de células T maduras, SAI | 4 | 0 | 4 | 2,2 |
| | Linfoma angioinmunoblástico de células T | 1 | 0 | 1 | 0,5 |
| | Linfoma anáplasio de células grandes, tipo células T y células nulas | 0 | 1 | 1 | 0,5 |
| | Linfoma linfoblástico de células B precursoras | 1 | 2 | 3 | 1,6 |

(continúa)

Tabla 6. Distribución de casos nuevos de cáncer por sexo, según localización primaria y diagnóstico histológico, INC, Colombia, 2016

| CIEO-3* | Localización primaria y tipo histológico | Hombres | Mujeres | Total | % |
|--|--|--------------|--------------|--------------|------------|
| | | No. | No. | No. | |
| | Linfoma linfoblástico de células T precursoras | 1 | 0 | 1 | 0,5 |
| | Total | 101 | 85 | 186 | 100 |
| C80 Localización primaria desconocida | | | | | |
| | Neoplasia, maligna | 13 | 20 | 33 | 19,8 |
| | Tumor maligno tipo células pequeñas | 1 | 0 | 1 | 0,6 |
| | Tumor maligno tipo células fusiformes | 0 | 1 | 1 | 0,6 |
| | Carcinoma, SAI | 7 | 16 | 23 | 13,8 |
| | Carcinoma de células grandes, SAI | 1 | 4 | 5 | 3,0 |
| | Carcinoma pleomórfico | 0 | 1 | 1 | 0,6 |
| | Carcinoma de células pequeñas, SAI | 2 | 1 | 3 | 1,8 |
| | Carcinoma de células escamosas | 11 | 9 | 20 | 12,0 |
| | Adenocarcinoma, SAI | 18 | 28 | 46 | 27,5 |
| | Adenocarcinoma tubular | 0 | 1 | 1 | 0,6 |
| | Carcinoma neuroendocrino | 5 | 4 | 9 | 5,4 |
| | Adenocarcinoma papilar, SAI | 0 | 1 | 1 | 0,6 |
| | Carcinoma en adenoma tubulovelloso | 0 | 1 | 1 | 0,6 |
| | Adenocarcinoma de células claras | 0 | 1 | 1 | 0,6 |
| | Adenocarcinoma mucinoso | 3 | 6 | 9 | 5,4 |
| | Carcinoma de células en anillo de sello | 2 | 3 | 5 | 3,0 |
| | Carcinoma de células acinosas | 1 | 0 | 1 | 0,6 |
| | Paraganglioma, maligno | 1 | 0 | 1 | 0,6 |
| | Melanoma maligno, SAI | 0 | 1 | 1 | 0,6 |
| | Sarcoma, SAI | 0 | 1 | 1 | 0,6 |
| | Leiomioma, SAI | 0 | 1 | 1 | 0,6 |
| | Linfoma de Hodgkin, SAI | 0 | 1 | 1 | 0,6 |
| | Linfoma de Burkitt, SAI | 1 | 0 | 1 | 0,6 |
| | Total | 66 | 101 | 167 | 100 |
| | TOTAL | 2.924 | 4.034 | 6.958 | |

*CIEO-3: Clasificación internacional de enfermedades para oncología, tercera revisión, 2003.

Fuente: Registro Institucional de Cáncer, INC.

Tabla 7. Distribución de casos nuevos de tumores de los tejidos hematopoyético y linfoide, según clasificación de la Organización Mundial de la Salud*, INC, Colombia, 2016



| Grupos diagnósticos | Masculino | | Femenino | | Total | | |
|--|---|-------------|-----------|-------------|-----------|-------------|------|
| | No. | % | No. | % | No. | % | |
| I. Neoplasias mieloproliferativas | Leucemia mielogenosa crónica, BCR/ABL 1 positivo | 3 | 1,0 | 6 | 2,2 | 9 | 1,6 |
| | Mieloesclerosis con metaplasia mioeloide | 1 | 0,3 | 0 | 0,0 | 1 | 0,2 |
| | Trombocitopenia esencial | 1 | 0,3 | 4 | 1,5 | 5 | 0,9 |
| | Enfermedad mieloproliferativa crónica | 1 | 0,3 | 0 | 0,0 | 1 | 0,2 |
| | Leucemia mioeloide crónica | 2 | 0,7 | 4 | 1,5 | 6 | 1,1 |
| Total I | 8 | 2,8 | 14 | 5,2 | 22 | 3,9 | |
| II. Síndromes mielodisplásicos | Anemia refractaria | 1 | 0,3 | 1 | 0,4 | 2 | 0,4 |
| | Citopenia refractaria con displasia multilineal | 0 | 0,0 | 2 | 0,7 | 2 | 0,4 |
| | Síndrome mielodisplásico con síndrome de delección (5q-) | 0 | 0,0 | 1 | 0,4 | 1 | 0,2 |
| | Síndrome mielodisplásico, no clasificable | 5 | 1,7 | 7 | 2,6 | 12 | 2,2 |
| Total III | 6 | 2,1 | 11 | 4,1 | 17 | 3,1 | |
| III. Neoplasias mielodisplásicas y mieloproliferativas | Leucemia mielomonocítica crónica | 0 | 0,0 | 1 | 0,4 | 1 | 0,2 |
| | Leucemia mielomonocítica juvenil | 2 | 0,7 | 0 | 0,0 | 2 | 0,4 |
| Total III | 2 | 0,7 | 1 | 0,4 | 3 | 0,5 | |
| IV. Leucemias mioeloides agudas y neoplasias precursoras relacionadas | Leucemia mioeloide aguda, t(8;21)(q22;q22) | 3 | 1,0 | 1 | 0,4 | 4 | 0,7 |
| | Leucemia promioelocítica aguda, t(15;17)(q22;q12) | 0 | 0,0 | 3 | 1,1 | 3 | 0,5 |
| | Leucemia mioeloide aguda, t(9;11)(p22;q23) | 1 | 0,3 | 2 | 0,7 | 3 | 0,5 |
| | Leucemia mioeloide aguda, no especificada | 21 | 7,3 | 14 | 5,2 | 35 | 6,3 |
| | Leucemia mielomonocítica aguda (M4) | 1 | 0,3 | 0 | 0,0 | 1 | 0,2 |
| | Leucemia monocítica y monoblástica aguda (M5) | 1 | 0,3 | 1 | 0,4 | 2 | 0,4 |
| | Leucemia mioeloide aguda, eritroide (M6) | 0 | 0,0 | 1 | 0,4 | 1 | 0,2 |
| Total IV | 27 | 9,4 | 22 | 8,1 | 49 | 8,8 | |
| V. Leucemias de linaje ambiguo | Leucemia aguda indiferenciada | 0 | 0,0 | 3 | 1,1 | 3 | 0,5 |
| | Leucemia aguda de fenotipo mixto con t(9;22) | 0 | 0,0 | 1 | 0,4 | 1 | 0,2 |
| Total V | 0 | 0,0 | 4 | 1,5 | 4 | 0,7 | |
| VI. Neoplasias linfoides precursoras | Leucemia/infoma linfoblástico de células precursoras, SAI | 48 | 16,7 | 37 | 13,7 | 85 | 15,3 |
| | Leucemia/linfoma linfoblástico de células B precursoras | 2 | 0,7 | 1 | 0,4 | 3 | 0,5 |
| | Leucemia/linfoma linfoblástico de células T precursoras | 3 | 1,0 | 1 | 0,4 | 4 | 0,7 |
| Total VI | 53 | 18,5 | 39 | 14,4 | 92 | 16,5 | |

(continúa)

Tabla 7. Distribución de casos nuevos de tumores de los tejidos hematopoyético y linfoide, según clasificación de la Organización Mundial de la Salud*, INC, Colombia, 2016

| Grupos diagnósticos | Masculino | | Femenino | | Total | | |
|---|---|-------------|------------|-------------|------------|-------------|------|
| | No. | % | No. | % | No. | % | |
| VII. Neoplasias de células B maduras | Leucemia linfocítica crónica/linfoma linfocítico pequeño | 11 | 3,8 | 10 | 3,7 | 21 | 3,8 |
| | Linfoma esplénico de células B de la zona marginal | 0 | 0,0 | 1 | 0,4 | 1 | 0,2 |
| | Leucemia de células pilosas | 3 | 1,0 | 0 | 0,0 | 3 | 0,5 |
| | Mieloma de células plasmáticas | 26 | 9,1 | 37 | 13,7 | 63 | 11,3 |
| | Plasmacitoma solitario del hueso | 1 | 0,3 | 0 | 0,0 | 1 | 0,2 |
| | Linfoma de células B de la zona marginal | 3 | 1,0 | 16 | 5,9 | 19 | 3,4 |
| | Linfoma folicular, SAI | 6 | 2,1 | 12 | 4,4 | 18 | 3,2 |
| | Linfoma de células del manto | 18 | 6,3 | 7 | 2,6 | 25 | 4,5 |
| | Linfoma maligno, células B grandes, difuso, no especificado | 58 | 20,2 | 47 | 17,4 | 105 | 18,9 |
| | Linfoma plasmablástico | 1 | 0,3 | 1 | 0,4 | 2 | 0,4 |
| | Linfoma de Burkitt | 6 | 2,1 | 1 | 0,4 | 7 | 1,3 |
| | Linfoma de células B, no especificado | 8 | 2,8 | 8 | 3,0 | 16 | 2,9 |
| | Leucemia de células plasmáticas | 5 | 1,7 | 4 | 1,5 | 9 | 1,6 |
| Total VII | 146 | 50,9 | 144 | 53,3 | 290 | 52,1 | |
| VIII. Neoplasias de células T y células NK maduras | Leucemia/linfoma de células T del adulto | 1 | 0,3 | 0 | 0,0 | 1 | 0,2 |
| | Linfoma de células NK/T, tipo nasal extranodal | 2 | 0,7 | 1 | 0,4 | 3 | 0,5 |
| | Micosis fungoide | 8 | 2,8 | 7 | 2,6 | 15 | 2,7 |
| | Síndrome de Sézary | 1 | 0,3 | 0 | 0,0 | 1 | 0,2 |
| | Linfoma de células grandes, anaplásico, cutáneo primario | 1 | 0,3 | 1 | 0,4 | 2 | 0,4 |
| | Linfoma cutáneo de células T | 1 | 0,3 | 0 | 0,0 | 1 | 0,2 |
| | Linfoma de células T periféricas | 4 | 1,4 | 3 | 1,1 | 7 | 1,3 |
| | Linfoma angioinmunoblástico de células T | 1 | 0,3 | 0 | 0,0 | 1 | 0,2 |
| | Linfoma anaplásico de células grandes, ALK positivo | 0 | 0,0 | 1 | 0,4 | 1 | 0,2 |
| Total VIII | 19 | 6,6 | 13 | 4,8 | 32 | 5,7 | |
| IX. Linfomas Hodgkin | Linfoma de Hodgkin clásico | 2 | 0,7 | 7 | 2,6 | 9 | 1,6 |
| | Linfoma de Hodgkin clásico, esclerosis nodular | 12 | 4,2 | 9 | 3,3 | 21 | 3,8 |
| | Linfoma de Hodgkin clásico, celularidad mixta | 9 | 3,1 | 5 | 1,9 | 14 | 2,5 |
| | Linfoma de Hodgkin clásico, depleción linfocítica | 1 | 0,3 | 1 | 0,4 | 2 | 0,4 |
| Total IX | 24 | 8,4 | 22 | 8,1 | 46 | 8,3 | |
| X. Neoplasias de células dendríticas e histiocíticas | Sarcoma histiocítico | 1 | 0,3 | 0 | 0,0 | 1 | 0,2 |
| | Histiocitosis de células de Langerhans | 1 | 0,3 | 0 | 0,0 | 1 | 0,2 |
| Total X | 2 | 0,7 | 0 | 0,0 | 2 | 0,4 | |
| Total | 287 | 100 | 270 | 100 | 557 | 100 | |

* WHO. Classification of Tumours of Haematopoietic and Lymphoid Tissues, 4 ed., 2008
 Fuente: Registro Institucional de Cáncer, INC.

Tabla 8. Distribución de casos nuevos de cáncer por verificación histológica y grupos de edad, según la localización primaria, INC, Colombia, 2016

| Localización primaria (CIEO-3)* | Total | Casos con verificación histológica | | Grupos de edad de casos con verificación histológica | | |
|--|-------|------------------------------------|------|--|------------|----------|
| | No. | No. | % | 0-34 % | 35-64 % | 65+ % |
| C00 Labio | 2 | 2 | 100 | 0,0 | 50,0 | 50,0 |
| C01 Base de la lengua | 3 | 3 | 100 | 0,0 | 33,3 | 66,7 |
| C02 Otras partes de la lengua | 25 | 24 | 96,0 | 4,0 | 48,0 | 48,0 |
| C03 Encía | 2 | 2 | 100 | 50,0 | 50,0 | 0,0 |
| C04 Suelo de la boca | 4 | 4 | 100 | 0,0 | 50,0 | 50,0 |
| C05 Paladar | 9 | 9 | 100 | 11,1 | 44,4 | 44,4 |
| C06 Otras partes de la boca | 17 | 17 | 100 | 0,0 | 58,8 | 41,2 |
| C07 Glándula parótida | 12 | 12 | 100 | 0,0 | 66,7 | 33,3 |
| C08 Otras glándulas salivares mayores | 3 | 3 | 100 | 0,0 | 33,3 | 66,7 |
| C09 Amígdala | 16 | 16 | 100 | 0,0 | 56,3 | 43,8 |
| C10 Orofaringe | 10 | 10 | 100 | 0,0 | 30,0 | 70,0 |
| C11 Nasofaringe | 10 | 9 | 90,0 | 20,0 | 60,0 | 20,0 |
| C13 Hipofaringe | 2 | 2 | 100 | 0,0 | 0,0 | 100 |
| C14 Otras localizaciones de labio, cavidad bucal y faringe | 2 | 2 | 100 | 0,0 | 50,0 | 50,0 |
| C15 Esófago | 70 | 68 | 97,1 | 1,4 | 32,9 | 65,7 |
| C16 Estómago | 544 | 531 | 97,6 | 3,9 | 49,8 | 46,3 |
| C17 Intestino delgado | 27 | 25 | 92,6 | 0,0 | 63,0 | 37,0 |
| C18 Colon | 247 | 240 | 97,2 | 6,9 | 53,4 | 39,7 |
| C19 Unión rectosigmoidea | 30 | 30 | 100 | 0,0 | 53,3 | 46,7 |
| C20 Recto | 203 | 200 | 98,5 | 2,5 | 45,8 | 51,7 |
| C21 Ano y canal anal | 35 | 33 | 94,3 | 2,9 | 54,3 | 42,9 |
| C22 Hígado y vías biliares intrahepáticas | 51 | 43 | 84,3 | 11,8 | 43,1 | 45,1 |
| C23 Vesícula biliar | 43 | 40 | 93,0 | 0,0 | 48,8 | 51,2 |
| C24 Otras partes de las vías biliares | 15 | 15 | 100 | 0,0 | 80,0 | 20,0 |
| C25 Páncreas | 67 | 60 | 89,6 | 3,0 | 53,7 | 43,3 |
| C26 Otras localizaciones del aparato digestivo | 1 | 1 | 100 | 0,0 | 0,0 | 100 |
| C30 Fosa nasal y oído medio | 10 | 10 | 100 | 10,0 | 50,0 | 40,0 |
| C31 Senos accesorios | 14 | 14 | 100 | 14,3 | 42,9 | 42,9 |
| C32 Laringe | 31 | 31 | 100 | 0,0 | 29,0 | 71,0 |
| C33 Tráquea | 1 | 0 | 0 | 0,0 | 0,0 | 100 |
| C34 Bronquios y pulmón | 147 | 145 | 98,6 | 2,7 | 44,2 | 53,1 |
| C37 Timo | 4 | 4 | 100 | 0,0 | 75,0 | 25,0 |
| C38 Corazón, mediastino y pleura | 22 | 21 | 95,5 | 22,7 | 40,9 | 36,4 |
| C40 Huesos y articulaciones de las extremidades | 39 | 39 | 100 | 71,8 | 23,1 | 5,1 |
| C41 Huesos y articulaciones de otras localizaciones | 30 | 30 | 100 | 46,7 | 36,7 | 16,7 |
| C42 Sistema hematopoyético y reticuloendotelial | 277 | 264 | 95,3 | 33,6 | 35,7 | 30,7 |

(continúa)

Tabla 8. Distribución de casos nuevos de cáncer por verificación histológica y grupos de edad, según la localización primaria, INC, Colombia, 2016

| Localización primaria (CIEO-3)* | Total | Casos con verificación histológica | | Grupos de edad de casos con verificación histológica | | |
|--|--------------|------------------------------------|-------------|--|-------------|-------------|
| | No. | No. | % | 0-34 % | 35-64 % | 65+ % |
| C44 Piel | 1.500 | 1.499 | 99,9 | 2,3 | 24,5 | 73,2 |
| C47 Nervios periféricos y SNA | 2 | 2 | 100 | 0,0 | 50,0 | 50,0 |
| C48 Retroperitoneo y peritoneo | 52 | 51 | 98,1 | 13,5 | 50,0 | 36,5 |
| C49 Tejidos conjuntivo, subcutáneo y otros tejidos blandos | 117 | 116 | 99,1 | 31,6 | 48,7 | 19,7 |
| C50 Mama | 735 | 729 | 99,2 | 3,8 | 66,5 | 29,7 |
| C51 Vulva | 29 | 29 | 100 | 3,4 | 34,5 | 62,1 |
| C52 Vagina | 13 | 13 | 100 | 7,7 | 61,5 | 30,8 |
| C53 Cuello del útero | 491 | 487 | 99,2 | 15,7 | 65,2 | 19,1 |
| C54 Cuerpo del útero | 145 | 143 | 98,6 | 4,1 | 62,1 | 33,8 |
| C55 Utero, SAI | 12 | 12 | 100 | 0,0 | 83,3 | 16,7 |
| C56 Ovario | 131 | 129 | 98,5 | 17,6 | 65,6 | 16,8 |
| C57 Otras localizaciones del aparato genital femenino | 1 | 1 | 100 | 0,0 | 100,0 | 0,0 |
| C58 Placenta | 3 | 2 | 66,7 | 100,0 | 0,0 | 0,0 |
| C60 Pene | 25 | 25 | 100 | 8,0 | 60,0 | 32,0 |
| C61 Glándula prostática | 473 | 440 | 93,0 | 0,0 | 30,0 | 70,0 |
| C62 Testículo | 59 | 57 | 96,6 | 72,9 | 23,7 | 3,4 |
| C63 Otras localizaciones del aparato genital masculino | 5 | 5 | 100 | 0,0 | 60,0 | 40,0 |
| C64 Riñón | 80 | 67 | 83,8 | 20,0 | 48,8 | 31,3 |
| C67 Vejiga | 73 | 72 | 98,6 | 2,7 | 34,2 | 63,0 |
| C68 Otras localizaciones del aparato urinario | 1 | 1 | 100 | 0,0 | 100,0 | 0,0 |
| C69 Ojos y anexos | 109 | 94 | 86,2 | 19,3 | 46,8 | 33,9 |
| C70 Meninges | 13 | 11 | 84,6 | 7,7 | 69,2 | 23,1 |
| C71 Encéfalo | 100 | 92 | 92,0 | 41,0 | 44,0 | 15,0 |
| C72 Médula espinal, nervios craneales del SNC | 4 | 4 | 100 | 75,0 | 25,0 | 0,0 |
| C73 Glándula tiroides | 397 | 394 | 99,2 | 16,4 | 67,3 | 16,4 |
| C74 Glándula suprarrenal | 6 | 6 | 100 | 50,0 | 50,0 | 0,0 |
| C75 Otras glándulas endocrinas | 4 | 3 | 75,0 | 75,0 | 25,0 | 0,0 |
| C77 Ganglios linfáticos | 186 | 183 | 98,4 | 19,9 | 46,8 | 33,3 |
| C80 Localización primaria desconocida | 167 | 167 | 100 | 3,6 | 58,1 | 38,3 |
| Total | 6.958 | 6.793 | 97,6 | 9,6 | 46,0 | 44,4 |

*CIEO-3: Clasificación internacional de enfermedades para oncología, tercera revisión, 2003.
 Fuente: Registro Institucional de Cáncer, INC.

Tabla 9. Distribución de casos nuevos de cáncer por régimen de afiliación al SGSSS, según la localización primaria, INC, Colombia, 2016

| Localización primaria (CIEO-3)* | Contributivo | Subsidiado | No asegurado | Particular | Régimen especial | Total |
|--|--------------|------------|--------------|------------|------------------|-------|
| C00 Labio | 0 | 1 | 0 | 1 | 0 | 2 |
| C01 Base de la lengua | 1 | 1 | 0 | 0 | 1 | 3 |
| C02 Otras partes de la lengua | 5 | 12 | 1 | 5 | 2 | 25 |
| C03 Encía | 2 | 0 | 0 | 0 | 0 | 2 |
| C04 Suelo de la boca | 1 | 3 | 0 | 0 | 0 | 4 |
| C05 Paladar | 2 | 4 | 1 | 2 | 0 | 9 |
| C06 Otras partes de la boca | 1 | 12 | 0 | 3 | 1 | 17 |
| C07 Glándula parótida | 0 | 9 | 1 | 1 | 1 | 12 |
| C08 Otras glándulas salivares mayores | 2 | 1 | 0 | 0 | 0 | 3 |
| C09 Amígdala | 4 | 9 | 0 | 3 | 0 | 16 |
| C10 Orofaringe | 3 | 5 | 0 | 1 | 1 | 10 |
| C11 Nasofaringe | 5 | 5 | 0 | 0 | 0 | 10 |
| C13 Hipofaringe | 1 | 1 | 0 | 0 | 0 | 2 |
| C14 Otras localizaciones de labio, cavidad bucal y faringe | 0 | 2 | 0 | 0 | 0 | 2 |
| C15 Esófago | 11 | 51 | 2 | 4 | 2 | 70 |
| C16 Estómago | 148 | 322 | 1 | 58 | 15 | 544 |
| C17 Intestino delgado | 9 | 13 | 0 | 4 | 1 | 27 |
| C18 Colon | 75 | 136 | 3 | 23 | 10 | 247 |
| C19 Unión rectosigmoidea | 8 | 17 | 1 | 4 | 0 | 30 |
| C20 Recto | 56 | 118 | 0 | 17 | 12 | 203 |
| C21 Ano y canal anal | 6 | 26 | 0 | 1 | 2 | 35 |
| C22 Hígado y vías biliares intrahepáticas | 14 | 26 | 0 | 9 | 2 | 51 |
| C23 Vesícula biliar | 12 | 28 | 0 | 1 | 2 | 43 |
| C24 Otras partes de las vías biliares | 3 | 9 | 0 | 3 | 0 | 15 |
| C25 Páncreas | 25 | 32 | 0 | 8 | 2 | 67 |
| C26 Otras localizaciones del aparato digestivo | 0 | 1 | 0 | 0 | 0 | 1 |
| C30 Fosa nasal y oído medio | 5 | 3 | 0 | 1 | 1 | 10 |
| C31 Senos accesorios | 4 | 8 | 0 | 1 | 1 | 14 |
| C32 Laringe | 8 | 21 | 0 | 2 | 0 | 31 |
| C33 Tráquea | 1 | 0 | 0 | 0 | 0 | 1 |
| C34 Bronquios y pulmón | 58 | 71 | 0 | 14 | 4 | 147 |
| C37 Timo | 1 | 2 | 0 | 1 | 0 | 4 |
| C38 Corazón, mediastino y pleura | 10 | 12 | 0 | 0 | 0 | 22 |
| C40 Huesos y articulaciones de las extremidades | 16 | 16 | 0 | 3 | 4 | 39 |
| C41 Huesos y articulaciones de otras localizaciones | 9 | 18 | 0 | 1 | 2 | 30 |
| C42 Sistema hematopoyético y reticuloendotelial | 78 | 170 | 3 | 11 | 15 | 277 |
| C44 Piel | 673 | 716 | 5 | 59 | 47 | 1.500 |
| C47 Nervios periféricos y SNA | 0 | 2 | 0 | 0 | 0 | 2 |
| C48 Retroperitoneo y peritoneo | 21 | 20 | 1 | 7 | 3 | 52 |

(continúa)

Tabla 9. Distribución de casos nuevos de cáncer por régimen de afiliación al SGSSS, según la localización primaria, INC, Colombia, 2016

| Localización primaria (CIEO-3)* | Contributivo | Subsidiado | No asegurado | Particular | Régimen especial | Total |
|--|--------------|--------------|--------------|------------|------------------|--------------|
| C49 Tejidos conjuntivo, subcutáneo y otros tejidos blandos | 41 | 61 | 2 | 8 | 5 | 117 |
| C50 Mama | 204 | 416 | 8 | 77 | 30 | 735 |
| C51 Vulva | 10 | 17 | 0 | 2 | 0 | 29 |
| C52 Vagina | 5 | 8 | 0 | 0 | 0 | 13 |
| C53 Cuello del útero | 84 | 334 | 1 | 62 | 10 | 491 |
| C54 Cuerpo del útero | 43 | 78 | 3 | 16 | 5 | 145 |
| C55 Utero, SAI | 4 | 8 | 0 | 0 | 0 | 12 |
| C56 Ovario | 39 | 68 | 1 | 9 | 14 | 131 |
| C57 Otras localizaciones del aparato genital femenino | 1 | 0 | 0 | 0 | 0 | 1 |
| C58 Placenta | 1 | 1 | 0 | 1 | 0 | 3 |
| C60 Pene | 7 | 17 | 1 | 0 | 0 | 25 |
| C61 Glándula prostática | 197 | 206 | 0 | 52 | 18 | 473 |
| C62 Testículo | 16 | 33 | 1 | 7 | 2 | 59 |
| C63 Otras localizaciones del aparato genital masculino | 1 | 3 | 0 | 1 | 0 | 5 |
| C64 Riñón | 29 | 40 | 0 | 10 | 1 | 80 |
| C67 Vejiga | 38 | 27 | 0 | 5 | 3 | 73 |
| C68 Otras localizaciones del aparato urinario | 0 | 1 | 0 | 0 | 0 | 1 |
| C69 Ojos y anexos | 51 | 38 | 1 | 5 | 14 | 109 |
| C70 Meninges | 5 | 6 | 0 | 1 | 1 | 13 |
| C71 Encéfalo | 22 | 61 | 4 | 10 | 3 | 100 |
| C72 Médula espinal, nervios craneales del SNC | 2 | 2 | 0 | 0 | 0 | 4 |
| C73 Glándula tiroides | 139 | 180 | 3 | 51 | 24 | 397 |
| C74 Glándula suprarrenal | 2 | 1 | 1 | 2 | 0 | 6 |
| C75 Otras glándulas endocrinas | 2 | 2 | 0 | 0 | 0 | 4 |
| C77 Ganglios linfáticos | 42 | 114 | 3 | 19 | 8 | 186 |
| C80 Localización primaria desconocida | 50 | 83 | 2 | 26 | 6 | 167 |
| Total | 2.313 | 3.708 | 50 | 612 | 275 | 6.958 |

*CIEO-3: Clasificación internacional de enfermedades para oncología, tercera revisión, 2003.

Fuente: Registro Institucional de Cáncer, INC.

Tabla 10. Distribución de casos nuevos de cáncer por régimen de afiliación al SGSSS, según departamento de residencia habitual, INC, Colombia, 2016.

| Departamento de residencia habitual | Contributivo | | Subsidiado | | No asegurado | | Particular | | Régimen especial | | Total | |
|-------------------------------------|--------------|------------|--------------|------------|--------------|------------|------------|------------|------------------|------------|--------------|------------|
| | No. | % | No. | % | No. | % | No. | % | No. | % | No. | % |
| 00 Internacional | 0 | 0,0 | 1 | 0,0 | 1 | 2,0 | 0 | 0,0 | 0 | 0,0 | 2 | 0,0 |
| 05 Antioquia | 6 | 0,3 | 12 | 0,3 | 1 | 2,0 | 7 | 1,1 | 0 | 0,0 | 26 | 0,4 |
| 08 Atlántico | 9 | 0,4 | 6 | 0,2 | 0 | 0,0 | 7 | 1,1 | 0 | 0,0 | 22 | 0,3 |
| 11 Bogotá, D.C. | 1.326 | 57,3 | 1.610 | 43,4 | 28 | 56,0 | 316 | 51,6 | 54 | 19,6 | 3.334 | 47,9 |
| 13 Bolívar | 10 | 0,4 | 13 | 0,4 | 0 | 0,0 | 2 | 0,3 | 1 | 0,4 | 26 | 0,4 |
| 15 Boyacá | 149 | 6,4 | 291 | 7,8 | 1 | 2,0 | 33 | 5,4 | 73 | 26,5 | 547 | 7,9 |
| 17 Caldas | 9 | 0,4 | 8 | 0,2 | 0 | 0,0 | 2 | 0,3 | 0 | 0,0 | 19 | 0,3 |
| 18 Caquetá | 5 | 0,2 | 29 | 0,8 | 1 | 2,0 | 4 | 0,7 | 9 | 3,3 | 48 | 0,7 |
| 19 Cauca | 2 | 0,1 | 5 | 0,1 | 0 | 0,0 | 4 | 0,7 | 0 | 0,0 | 11 | 0,2 |
| 20 Cesar | 17 | 0,7 | 15 | 0,4 | 1 | 2,0 | 12 | 2,0 | 4 | 1,5 | 49 | 0,7 |
| 23 Córdoba | 0 | 0,0 | 4 | 0,1 | 0 | 0,0 | 7 | 1,1 | 0 | 0,0 | 11 | 0,2 |
| 25 Cundinamarca | 376 | 16,3 | 999 | 26,9 | 6 | 12,0 | 80 | 13,1 | 20 | 7,3 | 1.481 | 21,3 |
| 27 Chocó | 0 | 0,0 | 3 | 0,1 | 1 | 2,0 | 0 | 0,0 | 0 | 0,0 | 4 | 0,1 |
| 41 Huila | 41 | 1,8 | 50 | 1,3 | 1 | 2,0 | 13 | 2,1 | 8 | 2,9 | 113 | 1,6 |
| 44 La Guajira | 11 | 0,5 | 16 | 0,4 | 0 | 0,0 | 6 | 1,0 | 0 | 0,0 | 33 | 0,5 |
| 47 Magdalena | 16 | 0,7 | 20 | 0,5 | 0 | 0,0 | 10 | 1,6 | 2 | 0,7 | 48 | 0,7 |
| 50 Meta | 83 | 3,6 | 146 | 3,9 | 1 | 2,0 | 20 | 3,3 | 29 | 10,5 | 279 | 4,0 |
| 52 Nariño | 7 | 0,3 | 22 | 0,6 | 0 | 0,0 | 10 | 1,6 | 2 | 0,7 | 41 | 0,6 |
| 54 Norte de Santander | 17 | 0,7 | 13 | 0,4 | 2 | 4,0 | 10 | 1,6 | 4 | 1,5 | 46 | 0,7 |
| 63 Quindío | 2 | 0,1 | 4 | 0,1 | 0 | 0,0 | 0 | 0,0 | 0 | 0,0 | 6 | 0,1 |
| 66 Risaralda | 3 | 0,1 | 1 | 0,0 | 0 | 0,0 | 2 | 0,3 | 0 | 0,0 | 6 | 0,1 |
| 68 Santander | 19 | 0,8 | 7 | 0,2 | 1 | 2,0 | 9 | 1,5 | 4 | 1,5 | 40 | 0,6 |
| 70 Sucre | 1 | 0,0 | 5 | 0,1 | 0 | 0,0 | 4 | 0,7 | 2 | 0,7 | 12 | 0,2 |
| 73 Tolima | 146 | 6,3 | 185 | 5,0 | 2 | 4,0 | 30 | 4,9 | 42 | 15,3 | 405 | 5,8 |
| 76 Valle del Cauca | 3 | 0,1 | 4 | 0,1 | 0 | 0,0 | 5 | 0,8 | 0 | 0,0 | 12 | 0,2 |
| 81 Arauca | 4 | 0,2 | 7 | 0,2 | 0 | 0,0 | 4 | 0,7 | 0 | 0,0 | 15 | 0,2 |
| 85 Casanare | 28 | 1,2 | 153 | 4,1 | 1 | 2,0 | 11 | 1,8 | 8 | 2,9 | 201 | 2,9 |
| 86 Putumayo | 1 | 0,0 | 5 | 0,1 | 0 | 0,0 | 1 | 0,2 | 10 | 3,6 | 17 | 0,2 |
| 88 San Andrés | 4 | 0,2 | 1 | 0,0 | 0 | 0,0 | 0 | 0,0 | 0 | 0,0 | 5 | 0,1 |
| 91 Amazonas | 4 | 0,2 | 14 | 0,4 | 2 | 4,0 | 1 | 0,2 | 2 | 0,7 | 23 | 0,3 |
| 94 Guainía | 1 | 0,0 | 3 | 0,1 | 0 | 0,0 | 1 | 0,2 | 0 | 0,0 | 5 | 0,1 |
| 95 Guaviare | 9 | 0,4 | 39 | 1,1 | 0 | 0,0 | 1 | 0,2 | 0 | 0,0 | 49 | 0,7 |
| 97 Vaupés | 1 | 0,0 | 2 | 0,1 | 0 | 0,0 | 0 | 0,0 | 0 | 0,0 | 3 | 0,0 |
| 99 Vichada | 3 | 0,1 | 15 | 0,4 | 0 | 0,0 | 0 | 0,0 | 1 | 0,4 | 19 | 0,3 |
| Total | 2.313 | 100 | 3.708 | 100 | 50 | 100 | 612 | 100 | 275 | 100 | 6.958 | 100 |

Fuente: Registro Institucional de Cáncer. INC.

Tabla 11. Distribución de casos nuevos de cáncer por clasificación de caso según localización primaria, INC, Colombia, 2016

| Localización primaria (CIEO-3)* | 1(*) | | 2(*) | | 3(*) | | Total |
|--|------|------|------|------|------|-------|-------|
| | No. | % | No. | % | No. | % | No. |
| C00 Labio | 0 | 0,0 | 1 | 50,0 | 1 | 50,0 | 2 |
| C01 Base de la lengua | 0 | 0,0 | 3 | 100 | 0 | 0,0 | 3 |
| C02 Otras partes de la lengua | 0 | 0,0 | 16 | 64,0 | 9 | 36,0 | 25 |
| C03 Encía | 0 | 0,0 | 2 | 100 | 0 | 0,0 | 2 |
| C04 Suelo de la boca | 0 | 0,0 | 4 | 100 | 0 | 0,0 | 4 |
| C05 Paladar | 1 | 11,1 | 6 | 66,7 | 2 | 22,2 | 9 |
| C06 Otras partes de la boca | 0 | 0,0 | 14 | 82,4 | 3 | 17,6 | 17 |
| C07 Glándula parótida | 1 | 8,3 | 8 | 66,7 | 3 | 25,0 | 12 |
| C08 Otras glándulas salivares mayores | 0 | 0,0 | 1 | 33,3 | 2 | 66,7 | 3 |
| C09 Amígdala | 0 | 0,0 | 12 | 75,0 | 4 | 25,0 | 16 |
| C10 Orofaringe | 0 | 0,0 | 8 | 80,0 | 2 | 20,0 | 10 |
| C11 Nasofaringe | 0 | 0,0 | 7 | 70,0 | 3 | 30,0 | 10 |
| C13 Hipofaringe | 0 | 0,0 | 2 | 100 | 0 | 0,0 | 2 |
| C14 Otras localizaciones de labio, cavidad bucal y faringe | 0 | 0,0 | 2 | 100 | 0 | 0,0 | 2 |
| C15 Esófago | 1 | 1,4 | 57 | 81,4 | 12 | 17,1 | 70 |
| C16 Estómago | 5 | 0,9 | 387 | 71,1 | 152 | 27,9 | 544 |
| C17 Intestino delgado | 0 | 0,0 | 13 | 48,1 | 14 | 51,9 | 27 |
| C18 Colon | 4 | 1,6 | 118 | 47,8 | 125 | 50,6 | 247 |
| C19 Unión rectosigmoidea | 0 | 0,0 | 17 | 56,7 | 13 | 43,3 | 30 |
| C20 Recto | 0 | 0,0 | 165 | 81,3 | 38 | 18,7 | 203 |
| C21 Ano y canal anal | 0 | 0,0 | 25 | 71,4 | 10 | 28,6 | 35 |
| C22 Hígado y vías biliares intrahepáticas | 0 | 0,0 | 44 | 86,3 | 7 | 13,7 | 51 |
| C23 Vesícula biliar | 0 | 0,0 | 27 | 62,8 | 16 | 37,2 | 43 |
| C24 Otras partes de las vías biliares | 0 | 0,0 | 9 | 60,0 | 6 | 40,0 | 15 |
| C25 Páncreas | 0 | 0,0 | 51 | 76,1 | 16 | 23,9 | 67 |
| C26 Otras localizaciones del aparato digestivo | 0 | 0,0 | 1 | 100 | 0 | 0,0 | 1 |
| C30 Fosa nasal y oído medio | 0 | 0,0 | 6 | 60,0 | 4 | 40,0 | 10 |
| C31 Senos accesorios | 0 | 0,0 | 11 | 78,6 | 3 | 21,4 | 14 |
| C32 Laringe | 1 | 3,2 | 15 | 48,4 | 15 | 48,4 | 31 |
| C33 Tráquea | 0 | 0,0 | 0 | 0,0 | 1 | 100,0 | 1 |
| C34 Bronquios y pulmón | 4 | 2,7 | 102 | 69,4 | 41 | 27,9 | 147 |
| C37 Timo | 0 | 0,0 | 2 | 50,0 | 2 | 50,0 | 4 |
| C38 Corazón, mediastino y pleura | 0 | 0,0 | 17 | 77,3 | 5 | 22,7 | 22 |
| C40 Huesos y articulaciones de las extremidades | 0 | 0,0 | 30 | 76,9 | 9 | 23,1 | 39 |
| C41 Huesos y articulaciones de otras localizaciones | 0 | 0,0 | 20 | 66,7 | 10 | 33,3 | 30 |
| C42 Sistema hematopoyético y reticuloendotelial | 4 | 1,4 | 192 | 69,3 | 81 | 29,2 | 277 |
| C44 Piel | 280 | 18,7 | 1028 | 68,5 | 192 | 12,8 | 1.500 |
| C47 Nervios periféricos y SNA | 0 | 0,0 | 2 | 100 | 0 | 0,0 | 2 |
| C48 Retroperitoneo y peritoneo | 0 | 0,0 | 27 | 51,9 | 25 | 48,1 | 52 |
| C49 Tejidos conjuntivo, subcutáneo y otros tejidos blandos | 1 | 0,9 | 75 | 64,1 | 41 | 35,0 | 117 |

(continúa)

Tabla 11. Distribución de casos nuevos de cáncer por clasificación de caso según localización primaria, INC, Colombia, 2016

| Localización primaria (CIEO-3)* | 1(*) | | 2(*) | | 3(*) | | Total |
|--|------------|------------|--------------|-------------|--------------|-------------|--------------|
| | No. | % | No. | % | No. | % | No. |
| C50 Mama | 8 | 1,1 | 450 | 61,2 | 277 | 37,7 | 735 |
| C51 Vulva | 0 | 0,0 | 23 | 79,3 | 6 | 20,7 | 29 |
| C52 Vagina | 0 | 0,0 | 8 | 61,5 | 5 | 38,5 | 13 |
| C53 Cuello del útero | 1 | 0,2 | 360 | 73,3 | 130 | 26,5 | 491 |
| C54 Cuerpo del útero | 4 | 2,8 | 98 | 67,6 | 43 | 29,7 | 145 |
| C55 Útero, SAI | 0 | 0,0 | 6 | 50,0 | 6 | 50,0 | 12 |
| C56 Ovario | 1 | 0,8 | 45 | 34,4 | 85 | 64,9 | 131 |
| C57 Otras localizaciones del aparato genital femenino | 0 | 0,0 | 1 | 100 | 0 | 0,0 | 1 |
| C58 Placenta | 0 | 0,0 | 2 | 66,7 | 1 | 33,3 | 3 |
| C60 Pene | 0 | 0,0 | 16 | 64,0 | 9 | 36,0 | 25 |
| C61 Glándula prostática | 4 | 0,8 | 294 | 62,2 | 175 | 37,0 | 473 |
| C62 Testículo | 0 | 0,0 | 16 | 27,1 | 43 | 72,9 | 59 |
| C63 Otras localizaciones del aparato genital masculino | 0 | 0,0 | 1 | 20,0 | 4 | 80,0 | 5 |
| C64 Riñón | 1 | 1,3 | 39 | 48,8 | 40 | 50,0 | 80 |
| C67 Vejiga | 2 | 2,7 | 46 | 63,0 | 25 | 34,2 | 73 |
| C68 Otras localizaciones del aparato urinario | 0 | 0,0 | 1 | 100 | 0 | 0,0 | 1 |
| C69 Ojos y anexos | 1 | 0,9 | 81 | 74,3 | 27 | 24,8 | 109 |
| C70 Meninges | 0 | 0,0 | 5 | 38,5 | 8 | 61,5 | 13 |
| C71 Encéfalo | 1 | 1,0 | 32 | 32,0 | 67 | 67,0 | 100 |
| C72 Médula espinal, nervios craneales del SNC | 0 | 0,0 | 2 | 50,0 | 2 | 50,0 | 4 |
| C73 Glándula tiroidea | 11 | 2,8 | 144 | 36,3 | 242 | 61,0 | 397 |
| C74 Glándula suprarrenal | 0 | 0,0 | 3 | 50,0 | 3 | 50,0 | 6 |
| C75 Otras glándulas endocrinas | 0 | 0,0 | 3 | 75,0 | 1 | 25,0 | 4 |
| C77 Ganglios linfáticos | 1 | 0,5 | 127 | 68,3 | 58 | 31,2 | 186 |
| C80 Localización primaria desconocida | 1 | 0,6 | 136 | 81,4 | 30 | 18,0 | 167 |
| Total | 338 | 4,9 | 4.466 | 64,2 | 2.154 | 31,0 | 6.958 |

*CIEO-3: Clasificación internacional de enfermedades para oncología, tercera revisión, 2003.

(*)Clasificación de caso, % de fila

1 Diagnóstico y primer curso de tratamiento en el INC.

2 Diagnóstico en otra institución y primer curso de tratamiento en el INC.

3 Diagnóstico y primer curso de tratamiento en otra institución y tratamiento complementario en el INC.

Fuente: Registro Institucional de Cáncer, INC.

Tabla 12. Casos nuevos de cáncer por sexo, según grandes grupos de edad, INC, Colombia, 2016



| Grupos de edad | Masculino | | Femenino | | Total | |
|----------------|--------------|------------|--------------|------------|--------------|------------|
| | No. | % | No. | % | No. | % |
| 0-14 | 106 | 3,6 | 86 | 2,1 | 192 | 2,8 |
| 15-44 | 326 | 11,1 | 756 | 18,7 | 1.082 | 15,6 |
| 45-54 | 346 | 11,8 | 740 | 18,3 | 1.086 | 15,6 |
| 55-64 | 583 | 19,9 | 924 | 22,9 | 1.507 | 21,7 |
| 65+ | 1.563 | 53,5 | 1.528 | 37,9 | 3.091 | 44,4 |
| Total | 2.924 | 100 | 4.034 | 100 | 6.958 | 100 |

Fuente: Registro Institucional de Cáncer, INC.

Tabla 13. Casos nuevos de cáncer de mama, según estado clínico y régimen de afiliación al ingreso, INC, Colombia, 2016

| Estado clínico* | Contributivo | | Subsidiado | | No asegurado | | Particular | | Régimen especial | | Total | |
|-----------------|--------------|------------|------------|------------|--------------|------------|------------|------------|------------------|------------|------------|------------|
| | No. | % | No. | % | No. | % | No. | % | No. | % | No. | % |
| In situ | 12 | 5,9 | 10 | 2,4 | 2 | 25,0 | 2 | 2,6 | 2 | 6,7 | 28 | 3,8 |
| I | 6 | 2,9 | 11 | 2,6 | 1 | 12,5 | 3 | 3,9 | 2 | 6,7 | 23 | 3,1 |
| IA | 10 | 4,9 | 14 | 3,4 | 0 | 0,0 | 5 | 6,5 | 1 | 3,3 | 30 | 4,1 |
| IIA | 38 | 18,6 | 63 | 15,1 | 1 | 12,5 | 17 | 22,1 | 7 | 23,3 | 126 | 17,1 |
| IIB | 25 | 12,3 | 61 | 14,7 | 1 | 12,5 | 9 | 11,7 | 6 | 20,0 | 102 | 13,9 |
| IIIA | 26 | 12,7 | 45 | 10,8 | 1 | 12,5 | 9 | 11,7 | 3 | 10,0 | 84 | 11,4 |
| IIIB | 41 | 20,1 | 98 | 23,6 | 1 | 12,5 | 9 | 11,7 | 4 | 13,3 | 153 | 20,8 |
| IIIC | 4 | 2,0 | 12 | 2,9 | 0 | 0,0 | 4 | 5,2 | 0 | 0,0 | 20 | 2,7 |
| IV | 33 | 16,2 | 87 | 20,9 | 1 | 12,5 | 9 | 11,7 | 3 | 10,0 | 133 | 18,1 |
| Sin dato | 9 | 4,4 | 15 | 3,6 | 0 | 0,0 | 10 | 13,0 | 2 | 6,7 | 36 | 4,9 |
| Total | 204 | 100 | 416 | 100 | 8 | 100 | 77 | 100 | 30 | 100 | 735 | 100 |

*TNM Classification of Malignant Tumours, 7th ed., UICC, 2009.
Fuente: Registro Institucional de Cáncer, INC.

Tabla 14. Casos nuevos de cáncer de cuello uterino, según estado clínico al ingreso, INC, Colombia, 2016

| Estado clínico* | Contributivo | | Subsidiado | | No asegurado | | Particular | | Régimen especial | | Total | |
|-----------------|--------------|------------|------------|------------|--------------|------------|------------|------------|------------------|------------|------------|------------|
| | No. | % | No. | % | No. | % | No. | % | No. | % | No. | % |
| In situ | 29 | 34,5 | 64 | 19,2 | 0 | 0,0 | 29 | 46,8 | 4 | 40,0 | 126 | 25,7 |
| IA | 5 | 6,0 | 16 | 4,8 | 0 | 0,0 | 0 | 0,0 | 0 | 0,0 | 21 | 4,3 |
| IB | 10 | 11,9 | 33 | 9,9 | 0 | 0,0 | 5 | 8,1 | 3 | 30,0 | 51 | 10,4 |
| IIA | 2 | 2,4 | 3 | 0,9 | 0 | 0,0 | 1 | 1,6 | 0 | 0,0 | 6 | 1,2 |
| IIB | 10 | 11,9 | 43 | 12,9 | 0 | 0,0 | 9 | 14,5 | 0 | 0,0 | 62 | 12,6 |
| IIIA | 1 | 1,2 | 4 | 1,2 | 0 | 0,0 | 1 | 1,6 | 0 | 0,0 | 6 | 1,2 |
| IIIB | 16 | 19,0 | 103 | 30,8 | 1 | 100,0 | 7 | 11,3 | 2 | 20,0 | 129 | 26,3 |
| IVA | 1 | 1,2 | 11 | 3,3 | 0 | 0,0 | 0 | 0,0 | 0 | 0,0 | 12 | 2,4 |
| IVB | 2 | 2,4 | 29 | 8,7 | 0 | 0,0 | 3 | 4,8 | 1 | 10,0 | 35 | 7,1 |
| Sin dato | 8 | 9,5 | 28 | 8,4 | 0 | 0,0 | 7 | 11,3 | 0 | 0,0 | 43 | 8,8 |
| Total | 84 | 100 | 334 | 100 | 1 | 100 | 62 | 100 | 10 | 100 | 491 | 100 |

*TNM Classification of Malignant Tumours, 7th ed., UICC, 2009.
Fuente: Registro Institucional de Cáncer, INC.

Tabla 15. Distribución de casos nuevos de melanoma maligno invasivo, según localización primaria, INC, Colombia, 2016

| Localización primaria | No. | % |
|---|------------|------------|
| Cavidad bucal | 1 | 0,7 |
| Ano y canal anal | 1 | 0,7 |
| Fosa nasal | 3 | 2,0 |
| Senos paranasales | 1 | 0,7 |
| Piel | 117 | 77,0 |
| Vulva | 4 | 2,6 |
| Pene | 1 | 0,7 |
| Otras localizaciones del aparato urinario | 1 | 0,7 |
| Ojos y anexos | 22 | 14,5 |
| Localización no definida | 1 | 0,7 |
| Total | 152 | 100 |

Fuente: Registro Institucional de Cáncer, INC.



Tabla 16. Distribución de casos nuevos de cáncer por tratamiento recibido en el INC, según localización primaria, INC, Colombia, 2016

| Localización primaria (CIEO-3)* | Cirugía | Quimio terapia | Radio terapia | Paliativo | Hormono terapia | Otros uniconjugados | Radioterapia y Quimioterapia | Radio terapia y paliativo | Cirugía y quimio terapia | Otros biconjugados | Triconjugados | Tetra conjugados | Sin tratamiento | Total |
|--|---------|----------------|---------------|-----------|-----------------|---------------------|------------------------------|---------------------------|--------------------------|--------------------|---------------|------------------|-----------------|-------|
| C00 Labio | 1 | 0 | 0 | 0 | 0 | 0 | 0 | 0 | 0 | 0 | 0 | 0 | 1 | 2 |
| C01 Base de la lengua | 1 | 0 | 0 | 0 | 0 | 0 | 0 | 0 | 0 | 1 | 0 | 0 | 1 | 3 |
| C02 Otras partes de la lengua | 2 | 1 | 0 | 0 | 0 | 0 | 1 | 0 | 0 | 6 | 4 | 1 | 10 | 25 |
| C03 Encía | 1 | 1 | 0 | 0 | 0 | 0 | 0 | 0 | 0 | 0 | 0 | 0 | 0 | 2 |
| C04 Suelo de la boca | 0 | 0 | 0 | 0 | 0 | 0 | 0 | 0 | 0 | 0 | 2 | 1 | 1 | 4 |
| C05 Paladar | 0 | 0 | 0 | 0 | 0 | 0 | 1 | 0 | 0 | 1 | 2 | 2 | 3 | 9 |
| C06 Otras partes de la boca | 0 | 0 | 1 | 0 | 0 | 0 | 1 | 0 | 1 | 2 | 3 | 1 | 8 | 17 |
| C07 Glándula parótida | 1 | 0 | 0 | 1 | 0 | 0 | 0 | 0 | 0 | 4 | 3 | 2 | 1 | 12 |
| C08 Otras glándulas salivares mayores | 0 | 0 | 2 | 0 | 0 | 0 | 0 | 0 | 0 | 0 | 0 | 0 | 1 | 3 |
| C09 Amígdala | 0 | 1 | 0 | 2 | 0 | 0 | 4 | 1 | 0 | 0 | 0 | 2 | 6 | 16 |
| C10 Orofaringe | 1 | 0 | 1 | 0 | 0 | 0 | 1 | 0 | 0 | 1 | 1 | 3 | 2 | 10 |
| C11 Nasofaringe | 0 | 1 | 0 | 0 | 0 | 0 | 0 | 0 | 0 | 1 | 5 | 0 | 3 | 10 |
| C13 Hipofaringe | 0 | 0 | 1 | 0 | 0 | 0 | 0 | 0 | 0 | 1 | 0 | 0 | 0 | 2 |
| C14 Otras localizaciones de labio, cavidad bucal y faringe | 0 | 0 | 0 | 0 | 0 | 0 | 0 | 0 | 0 | 0 | 0 | 1 | 1 | 2 |
| C15 Esófago | 0 | 2 | 5 | 2 | 0 | 0 | 8 | 2 | 0 | 5 | 7 | 4 | 35 | 70 |
| C16 Estómago | 37 | 41 | 10 | 23 | 0 | 0 | 15 | 1 | 21 | 63 | 51 | 23 | 259 | 544 |
| C17 Intestino delgado | 2 | 1 | 1 | 1 | 1 | 0 | 0 | 0 | 1 | 2 | 0 | 0 | 18 | 27 |
| C18 Colon | 23 | 31 | 3 | 5 | 0 | 0 | 1 | 1 | 17 | 26 | 19 | 1 | 120 | 247 |
| C19 Unión rectosigmoidea | 3 | 2 | 2 | 1 | 0 | 0 | 0 | 0 | 1 | 1 | 3 | 4 | 13 | 30 |
| C20 Recto | 7 | 11 | 13 | 7 | 0 | 0 | 4 | 5 | 6 | 22 | 36 | 22 | 70 | 203 |
| C21 Ano y canal anal | 0 | 0 | 0 | 2 | 0 | 0 | 9 | 0 | 1 | 3 | 7 | 1 | 12 | 35 |
| C22 Hígado y vías biliares intrahepáticas | 3 | 5 | 0 | 1 | 0 | 0 | 0 | 0 | 0 | 5 | 4 | 0 | 33 | 51 |
| C23 Vesícula biliar | 3 | 2 | 0 | 2 | 0 | 0 | 0 | 0 | 0 | 4 | 3 | 1 | 28 | 43 |
| C24 Otras partes de las vías biliares | 0 | 1 | 0 | 1 | 0 | 0 | 0 | 0 | 0 | 2 | 2 | 0 | 9 | 15 |

(continúa)

Tabla 16. Distribución de casos nuevos de cáncer por tratamiento recibido en el INC, según localización primaria, INC, Colombia, 2016

| Localización primaria (CIEO-3)* | Cirugía | Quimio terapia | Radio terapia | Paliativo | Hormono terapia | Otros uniconjugados | Radioterapia y Quimioterapia | Radio terapia y paliativo | Cirugía y quimio terapia | Otros biconjugados | Triconjugados | Tetra conjugados | Sin tratamiento | Total |
|--|---------|----------------|---------------|-----------|-----------------|---------------------|------------------------------|---------------------------|--------------------------|--------------------|---------------|------------------|-----------------|-------|
| C25 Páncreas | 4 | 5 | 1 | 5 | 0 | 0 | 0 | 0 | 1 | 5 | 5 | 1 | 40 | 67 |
| C26 Otras localizaciones del aparato digestivo | 1 | 0 | 0 | 0 | 0 | 0 | 0 | 0 | 0 | 0 | 0 | 0 | 0 | 1 |
| C30 Fosa nasal y oído medio | 0 | 0 | 1 | 0 | 0 | 0 | 1 | 0 | 0 | 3 | 0 | 1 | 4 | 10 |
| C31 Senos accesorios | 2 | 0 | 2 | 0 | 0 | 0 | 0 | 0 | 0 | 4 | 0 | 3 | 3 | 14 |
| C32 Laringe | 1 | 0 | 8 | 0 | 0 | 0 | 0 | 0 | 0 | 4 | 8 | 0 | 10 | 31 |
| C33 Tráquea | 0 | 0 | 0 | 0 | 0 | 0 | 0 | 0 | 0 | 0 | 0 | 0 | 1 | 1 |
| C34 Bronquios y pulmón | 12 | 11 | 9 | 6 | 0 | 0 | 2 | 1 | 1 | 12 | 9 | 7 | 77 | 147 |
| C37 Timo | 1 | 1 | 0 | 0 | 0 | 0 | 0 | 0 | 0 | 0 | 0 | 0 | 2 | 4 |
| C38 Corazón, mediastino y pleura | 0 | 5 | 0 | 3 | 0 | 0 | 0 | 0 | 0 | 5 | 3 | 2 | 4 | 22 |
| C40 Huesos y articulaciones de las extremidades | 5 | 4 | 1 | 0 | 0 | 0 | 0 | 0 | 6 | 2 | 9 | 1 | 11 | 39 |
| C41 Huesos y articulaciones de otras localizaciones | 3 | 0 | 1 | 1 | 0 | 0 | 0 | 0 | 0 | 4 | 7 | 4 | 10 | 30 |
| C42 Sistema hematopoyético y reticuloendotelial | 1 | 88 | 11 | 4 | 0 | 3 | 7 | 1 | 10 | 39 | 29 | 3 | 81 | 277 |
| C44 Piel | 328 | 20 | 38 | 9 | 0 | 19 | 8 | 1 | 2 | 559 | 46 | 13 | 457 | 1.500 |
| C47 Nervios periféricos y SNA | 0 | 0 | 0 | 0 | 0 | 0 | 0 | 0 | 0 | 1 | 0 | 0 | 1 | 2 |
| C48 Retroperitoneo y peritoneo | 4 | 5 | 5 | 2 | 0 | 0 | 1 | 1 | 0 | 9 | 3 | 2 | 20 | 52 |
| C49 Tejidos conjuntivo, subcutáneo y otros tejidos blandos | 10 | 13 | 4 | 1 | 0 | 0 | 1 | 1 | 0 | 19 | 20 | 10 | 38 | 117 |
| C50 Mama | 14 | 47 | 59 | 7 | 3 | 0 | 15 | 1 | 41 | 92 | 142 | 90 | 224 | 735 |
| C51 Vulva | 5 | 0 | 2 | 0 | 0 | 0 | 2 | 1 | 0 | 5 | 2 | 3 | 9 | 29 |
| C52 Vagina | 2 | 1 | 5 | 0 | 0 | 0 | 1 | 0 | 0 | 1 | 0 | 0 | 3 | 13 |
| C53 Cuello del útero | 88 | 8 | 32 | 6 | 0 | 0 | 70 | 4 | 3 | 27 | 47 | 19 | 187 | 491 |
| C54 Cuerpo del útero | 15 | 2 | 15 | 0 | 0 | 0 | 5 | 2 | 6 | 22 | 31 | 6 | 41 | 145 |

(continúa)

Tabla 16. Distribución de casos nuevos de cáncer por tratamiento recibido en el INC, según localización primaria, INC, Colombia, 2016

| Localización primaria (CIEO-3)* | Cirugía | Quimio terapia | Radio terapia | Paliativo | Hormono terapia | Otros uniconjugados | Radioterapia y Quimioterapia | Radio terapia y paliativo | Cirugía y quimio terapia | Otros biconjugados | Triconjugados | Tetra conjugados | Sin tratamiento | Total |
|--|------------|----------------|---------------|------------|-----------------|---------------------|------------------------------|---------------------------|--------------------------|--------------------|---------------|------------------|-----------------|--------------|
| C55 Utero, SAI | 1 | 1 | 2 | 0 | 0 | 0 | 0 | 0 | 1 | 1 | 2 | 0 | 4 | 12 |
| C56 Ovario | 9 | 15 | 0 | 2 | 0 | 0 | 0 | 0 | 19 | 15 | 11 | 3 | 57 | 131 |
| C57 Otras localizaciones del aparato genital femenino | 1 | 0 | 0 | 0 | 0 | 0 | 0 | 0 | 0 | 0 | 0 | 0 | 0 | 1 |
| C58 Placenta | 0 | 1 | 0 | 0 | 0 | 0 | 0 | 0 | 0 | 0 | 1 | 0 | 1 | 3 |
| C60 Pene | 7 | 4 | 0 | 0 | 0 | 0 | 0 | 0 | 3 | 4 | 3 | 0 | 4 | 25 |
| C61 Glándula prostática | 97 | 28 | 21 | 6 | 5 | 0 | 29 | 1 | 12 | 58 | 46 | 15 | 155 | 473 |
| C62 Testículo | 5 | 18 | 1 | 0 | 0 | 0 | 3 | 0 | 6 | 3 | 3 | 0 | 20 | 59 |
| C63 Otras localizaciones del aparato genital masculino | 1 | 0 | 0 | 0 | 0 | 0 | 0 | 0 | 1 | 0 | 0 | 0 | 3 | 5 |
| C64 Riñón | 17 | 4 | 3 | 1 | 0 | 0 | 2 | 0 | 2 | 5 | 2 | 3 | 41 | 80 |
| C67 Vejiga | 21 | 3 | 1 | 1 | 0 | 0 | 1 | 1 | 3 | 10 | 4 | 1 | 27 | 73 |
| C68 Otras localizaciones del aparato urinario | 0 | 0 | 0 | 0 | 0 | 0 | 0 | 0 | 0 | 0 | 0 | 0 | 1 | 1 |
| C69 Ojos y anexos | 36 | 6 | 4 | 0 | 0 | 0 | 0 | 0 | 5 | 12 | 3 | 4 | 39 | 109 |
| C70 Meninges | 0 | 0 | 4 | 0 | 0 | 0 | 0 | 0 | 0 | 1 | 0 | 0 | 8 | 13 |
| C71 Encéfalo | 6 | 3 | 13 | 1 | 0 | 0 | 0 | 2 | 4 | 12 | 11 | 2 | 46 | 100 |
| C72 Médula espinal, nervios craneales del SNC | 0 | 3 | 0 | 0 | 0 | 0 | 0 | 0 | 0 | 0 | 0 | 0 | 1 | 4 |
| C73 Glándula tiroides | 52 | 0 | 4 | 0 | 6 | 63 | 2 | 1 | 1 | 83 | 22 | 1 | 162 | 397 |
| C74 Glándula suprarrenal | 0 | 0 | 0 | 0 | 0 | 0 | 0 | 0 | 0 | 0 | 2 | 0 | 4 | 6 |
| C75 Otras glándulas endocrinas | 1 | 0 | 1 | 0 | 0 | 0 | 1 | 0 | 0 | 0 | 1 | 0 | 0 | 4 |
| C77 Ganglios linfáticos | 10 | 56 | 5 | 1 | 0 | 0 | 8 | 0 | 15 | 15 | 17 | 2 | 57 | 186 |
| C80 Localización primaria desconocida | 2 | 16 | 5 | 7 | 0 | 0 | 3 | 2 | 1 | 17 | 11 | 5 | 98 | 167 |
| Total | 847 | 468 | 297 | 111 | 15 | 85 | 207 | 30 | 191 | 1.199 | 652 | 270 | 2.586 | 6.958 |

*CIEO-3: Clasificación internacional de enfermedades para oncología, tercera revisión, 2003.

Fuente: Registro Institucional de Cáncer, INC.

* Sin tratamiento ver explicación en presentación del libro y glosario, término "tratamiento"

Tabla 17. Distribución de casos nuevos de cáncer de residentes en Bogotá, por sexo y según localización primaria, INC, Colombia, 2016



| Localización (CIE0-3)* | Hombres | | Mujeres | | Total | |
|--|------------|-------------|------------|-------------|------------|-------------|
| | No. | % | No. | % | No. | % |
| Labio, cavidad oral y faringe | | | | | | |
| C00 Labio | 1 | 0,1 | 0 | 0,0 | 1 | 0,0 |
| C01 Base de la lengua | 0 | 0,0 | 1 | 0,1 | 1 | 0,0 |
| C02 Otras partes de la lengua | 8 | 0,6 | 8 | 0,4 | 16 | 0,5 |
| C03 Encía | 1 | 0,1 | 0 | 0,0 | 1 | 0,0 |
| C04 Suelo de la boca | 1 | 0,1 | 2 | 0,1 | 3 | 0,1 |
| C05 Paladar | 4 | 0,3 | 2 | 0,1 | 6 | 0,2 |
| C06 Otras partes de la boca | 4 | 0,3 | 5 | 0,3 | 9 | 0,3 |
| C07 Glándula parótida | 3 | 0,2 | 3 | 0,2 | 6 | 0,2 |
| C08 Otras glándulas salivares mayores | 2 | 0,1 | 1 | 0,1 | 3 | 0,1 |
| C09 Amígdala | 4 | 0,3 | 3 | 0,2 | 7 | 0,2 |
| C10 Orofaringe | 4 | 0,3 | 1 | 0,1 | 5 | 0,1 |
| C11 Nasofaringe | 4 | 0,3 | 1 | 0,1 | 5 | 0,1 |
| C13 Hipofaringe | 1 | 0,1 | 0 | 0,0 | 1 | 0,0 |
| C14 Otras localizaciones de labio, cavidad bucal y faringe | 0 | 0,0 | 1 | 0,1 | 1 | 0,0 |
| Total (C00-C14) | 37 | 2,6 | 28 | 1,5 | 65 | 1,9 |
| Sistema digestivo | | | | | | |
| C15 Esófago | 19 | 1,3 | 14 | 0,7 | 33 | 1,0 |
| C16 Estómago | 148 | 10,3 | 114 | 6,0 | 262 | 7,9 |
| C17 Intestino delgado | 10 | 0,7 | 6 | 0,3 | 16 | 0,5 |
| C18 Colon | 59 | 4,1 | 78 | 4,1 | 137 | 4,1 |
| C19 Unión rectosigmoidea | 10 | 0,7 | 5 | 0,3 | 15 | 0,4 |
| C20 Recto | 57 | 4,0 | 49 | 2,6 | 106 | 3,2 |
| C21 Ano y canal anal | 3 | 0,2 | 12 | 0,6 | 15 | 0,4 |
| C22 Hígado y vías biliares intrahepáticas | 14 | 1,0 | 11 | 0,6 | 25 | 0,7 |
| C23 Vesícula biliar | 2 | 0,1 | 14 | 0,7 | 16 | 0,5 |
| C24 Otras partes de las vías biliares | 0 | 0,0 | 2 | 0,1 | 2 | 0,1 |
| C25 Páncreas | 25 | 1,7 | 16 | 0,8 | 41 | 1,2 |
| Total (C15-C25) | 347 | 24,1 | 321 | 17,0 | 668 | 20,0 |
| Sistema respiratorio y órganos intratorácicos | | | | | | |
| C30 Fosa nasal y oído medio | 2 | 0,1 | 3 | 0,2 | 5 | 0,1 |
| C31 Senos accesorios | 5 | 0,3 | 1 | 0,1 | 6 | 0,2 |
| C32 Laringe | 22 | 1,5 | 2 | 0,1 | 24 | 0,7 |
| C33 Traquea | 1 | 0,1 | 0 | 0,0 | 1 | 0,0 |
| C34 Bronquios y pulmón | 54 | 3,7 | 33 | 1,7 | 87 | 2,6 |
| C37 Timo | 0 | 0,0 | 1 | 0,1 | 1 | 0,0 |
| C38 Corazón, mediastino y pleura | 11 | 0,8 | 3 | 0,2 | 14 | 0,4 |
| Total (C30-C38) | 95 | 6,6 | 43 | 2,3 | 138 | 4,1 |
| Huesos y articulaciones | | | | | | |
| C40 Huesos y articulaciones de las extremidades | 9 | 0,6 | 7 | 0,4 | 16 | 0,6 |
| C41 Huesos y articulaciones de otras localizaciones | 6 | 0,4 | 8 | 0,4 | 14 | 0,3 |
| Total (C40-C41) | 15 | 1,0 | 15 | 0,8 | 30 | 0,9 |

(continúa)

Tabla 17. Distribución de casos nuevos de cáncer de residentes en Bogotá, por sexo y según localización primaria, INC, Colombia, 2016



| Localización (CIE0-3)* | Hombres | | Mujeres | | Total | |
|---|--------------|-------------|--------------|-------------|--------------|-------------|
| | No. | % | No. | % | No. | % |
| Sistema hematopoyético y reticuloendotelial (C42) | 63 | 4,4 | 60 | 3,2 | 123 | 3,7 |
| Piel (C44) | 317 | 22,0 | 329 | 17,4 | 646 | 19,4 |
| Tejido conjuntivo subcutáneo y otros tejidos blandos | | | | | | |
| C47 Nervios periféricos y SNA | 1 | 0,1 | 0 | 0,0 | 1 | 0,0 |
| C48 Retroperitoneo y peritoneo | 8 | 0,6 | 17 | 0,9 | 25 | 0,7 |
| C49 Tejidos conjuntivo, subcutáneo y otros tejidos blandos | 24 | 1,7 | 23 | 1,2 | 47 | 1,4 |
| Total (C47-C49) | 33 | 2,3 | 40 | 2,1 | 73 | 2,2 |
| Mama (C50) | 1 | 0,1 | 335 | 17,7 | 336 | 10,1 |
| Aparato genital femenino | | | | | | |
| C51 Vulva | 0 | 0,0 | 19 | 1,0 | 19 | 0,6 |
| C52 Vagina | 0 | 0,0 | 8 | 0,4 | 8 | 0,2 |
| C53 Cuello del útero | 0 | 0,0 | 213 | 11,3 | 213 | 6,4 |
| C54 Cuerpo del útero | 0 | 0,0 | 73 | 3,9 | 73 | 2,2 |
| C55 Utero, SAI | 0 | 0,0 | 7 | 0,4 | 7 | 0,2 |
| C56 Ovario | 0 | 0,0 | 64 | 3,4 | 64 | 1,9 |
| C57 Otras localizaciones del aparato genital femenino | 0 | 0,0 | 1 | 0,1 | 1 | 0,0 |
| C58 Placenta | 0 | 0,0 | 2 | 0,1 | 2 | 0,1 |
| Total (C51-C58) | 0 | 0,0 | 387 | 20,5 | 387 | 11,6 |
| Aparato genital masculino | | | | | | |
| C60 Pene | 11 | 0,8 | 0 | 0,0 | 11 | 0,3 |
| C61 Glándula prostática | 262 | 18,2 | 0 | 0,0 | 262 | 7,9 |
| C62 Testículo | 29 | 2,0 | 0 | 0,0 | 29 | 0,9 |
| C63 Otras localizaciones del aparato genital masculino | 2 | 0,1 | 0 | 0,0 | 2 | 0,1 |
| Total (C60-C63) | 304 | 21,1 | 0 | 0,0 | 304 | 9,1 |
| Aparato urinario | | | | | | |
| C64 Riñón | 26 | 1,8 | 14 | 0,7 | 40 | 1,2 |
| C67 Vejiga | 29 | 2,0 | 10 | 0,5 | 39 | 1,2 |
| C68 Otras localizaciones del aparato urinario | 0 | 0,0 | 1 | 0,1 | 1 | 0,0 |
| Total (C64-C68) | 55 | 3,8 | 25 | 1,3 | 80 | 2,4 |
| Ojos y anexos (C69) | 26 | 1,8 | 23 | 1,2 | 49 | 1,5 |
| Encéfalo y sistema nervioso central | | | | | | |
| C70 Meninges | 3 | 0,2 | 3 | 0,2 | 6 | 0,2 |
| C71 Encéfalo | 30 | 2,1 | 29 | 1,5 | 59 | 1,8 |
| C72 Médula espinal, nervios craneales del SNC | 0 | 0,0 | 4 | 0,2 | 4 | 0,1 |
| Total (C70-C72) | 33 | 2,3 | 36 | 1,9 | 69 | 2,1 |
| Glándulas endocrinas | | | | | | |
| C73 Glándula tiroides | 31 | 2,1 | 157 | 8,3 | 188 | 5,6 |
| C74 Glándula suprarrenal | 3 | 0,2 | 1 | 0,1 | 4 | 0,1 |
| C75 Otras glándulas endocrinas | 1 | 0,1 | 0 | 0,0 | 1 | 0,0 |
| Total (C73-C75) | 35 | 2,4 | 158 | 8,4 | 193 | 5,8 |
| Ganglios linfáticos (C77) | 48 | 3,3 | 36 | 1,9 | 84 | 2,5 |
| Localización primaria desconocida (C80) | 33 | 2,3 | 56 | 3,0 | 89 | 2,7 |
| Total | 1.442 | 100 | 1.892 | 100 | 3.334 | 100 |

*CIE0-3: Clasificación internacional de enfermedades para oncología, tercera revisión, 2003.
Fuente: Registro Institucional de Cáncer, INC,

Tabla 18. Distribución de casos nuevos de cáncer de residentes en Bogotá por régimen de afiliación al SGSSS, según localización primaria, INC, Colombia, 2016

| Localización primaria (CIEO-3)* | Contributivo | Subsidiado | No asegurado | Particular | Régimen especial | Total |
|--|--------------|------------|--------------|------------|------------------|-------|
| C00 Labio | 0 | 0 | 0 | 1 | 0 | 1 |
| C01 Base de la lengua | 1 | 0 | 0 | 0 | 0 | 1 |
| C02 Otras partes de la lengua | 3 | 7 | 1 | 4 | 1 | 16 |
| C03 Encía | 1 | 0 | 0 | 0 | 0 | 1 |
| C04 Suelo de la boca | 1 | 2 | 0 | 0 | 0 | 3 |
| C05 Paladar | 1 | 3 | 1 | 1 | 0 | 6 |
| C06 Otras partes de la boca | 1 | 7 | 0 | 1 | 0 | 9 |
| C07 Glándula parótida | 0 | 5 | 0 | 1 | 0 | 6 |
| C08 Otras glándulas salivares mayores | 2 | 1 | 0 | 0 | 0 | 3 |
| C09 Amígdala | 2 | 3 | 0 | 2 | 0 | 7 |
| C10 Orofaringe | 2 | 2 | 0 | 1 | 0 | 5 |
| C11 Nasofaringe | 2 | 3 | 0 | 0 | 0 | 5 |
| C13 Hipofaringe | 0 | 1 | 0 | 0 | 0 | 1 |
| C14 Otras localizaciones de labio, cavidad bucal y faringe | 0 | 1 | 0 | 0 | 0 | 1 |
| C15 Esófago | 9 | 20 | 1 | 2 | 1 | 33 |
| C16 Estómago | 81 | 146 | 1 | 31 | 3 | 262 |
| C17 Intestino delgado | 6 | 7 | 0 | 2 | 1 | 16 |
| C18 Colon | 45 | 74 | 2 | 12 | 4 | 137 |
| C19 Unión rectosigmoidea | 4 | 9 | 0 | 2 | 0 | 15 |
| C20 Recto | 32 | 63 | 0 | 10 | 1 | 106 |
| C21 Ano y canal anal | 3 | 12 | 0 | 0 | 0 | 15 |
| C22 Hígado y vías biliares intrahepáticas | 12 | 10 | 0 | 3 | 0 | 25 |
| C23 Vesícula biliar | 3 | 11 | 0 | 1 | 1 | 16 |
| C24 Otras partes de las vías biliares | 0 | 2 | 0 | 0 | 0 | 2 |
| C25 Páncreas | 16 | 18 | 0 | 7 | 0 | 41 |
| C30 Fosa nasal y oído medio | 3 | 1 | 0 | 1 | 0 | 5 |
| C31 Senos accesorios | 2 | 3 | 0 | 0 | 1 | 6 |
| C32 Laringe | 5 | 17 | 0 | 2 | 0 | 24 |
| C33 Traquea | 1 | 0 | 0 | 0 | 0 | 1 |
| C34 Bronquios y pulmón | 40 | 37 | 0 | 9 | 1 | 87 |
| C37 Timo | 0 | 1 | 0 | 0 | 0 | 1 |
| C38 Corazón, mediastino y pleura | 5 | 9 | 0 | 0 | 0 | 14 |
| C40 Huesos y articulaciones de las extremidades | 10 | 4 | 0 | 1 | 1 | 16 |
| C41 Huesos y articulaciones de otras localizaciones | 5 | 8 | 0 | 0 | 1 | 14 |
| C42 Sistema hematopoyético y reticuloendotelial | 39 | 69 | 2 | 6 | 7 | 123 |
| C44 Piel | 390 | 216 | 5 | 30 | 5 | 646 |
| C47 Nervios periféricos y SNA | 0 | 1 | 0 | 0 | 0 | 1 |
| C48 Retroperitoneo y peritoneo | 10 | 9 | 0 | 4 | 2 | 25 |
| C49 Tejidos conjuntivo, subcutáneo y otros tejidos blandos | 26 | 18 | 0 | 2 | 1 | 47 |
| C50 Mama | 101 | 191 | 3 | 39 | 2 | 336 |
| C51 Vulva | 8 | 10 | 0 | 1 | 0 | 19 |

(continúa)

Tabla 18. Distribución de casos nuevos de cáncer de residentes en Bogotá por régimen de afiliación al SGSSS, según localización primaria, INC, Colombia, 2016

| Localización primaria (CIEO-3)* | Contributivo | Subsidiado | No asegurado | Particular | Régimen especial | Total |
|--|--------------|--------------|--------------|------------|------------------|--------------|
| C52 Vagina | 2 | 6 | 0 | 0 | 0 | 8 |
| C53 Cuello del útero | 40 | 144 | 0 | 29 | 0 | 213 |
| C54 Cuerpo del útero | 22 | 40 | 2 | 9 | 0 | 73 |
| C55 Utero, SAI | 4 | 3 | 0 | 0 | 0 | 7 |
| C56 Ovario | 20 | 36 | 1 | 5 | 2 | 64 |
| C57 Otras localizaciones del aparato genital femenino | 1 | 0 | 0 | 0 | 0 | 1 |
| C58 Placenta | 1 | 0 | 0 | 1 | 0 | 2 |
| C60 Pene | 6 | 5 | 0 | 0 | 0 | 11 |
| C61 Glándula prostática | 126 | 106 | 0 | 27 | 3 | 262 |
| C62 Testículo | 9 | 16 | 1 | 3 | 0 | 29 |
| C63 Otras localizaciones del aparato genital masculino | 1 | 1 | 0 | 0 | 0 | 2 |
| C64 Riñón | 14 | 19 | 0 | 7 | 0 | 40 |
| C67 Vejiga | 20 | 15 | 0 | 1 | 3 | 39 |
| C68 Otras localizaciones del aparato urinario | 0 | 1 | 0 | 0 | 0 | 1 |
| C69 Ojos y anexos | 31 | 13 | 0 | 2 | 3 | 49 |
| C70 Meninges | 4 | 2 | 0 | 0 | 0 | 6 |
| C71 Encéfalo | 14 | 33 | 3 | 6 | 3 | 59 |
| C72 Médula espinal, nervios craneales del SNC | 2 | 2 | 0 | 0 | 0 | 4 |
| C73 Glándula tiroides | 77 | 77 | 2 | 28 | 4 | 188 |
| C74 Glándula suprarrenal | 2 | 0 | 1 | 1 | 0 | 4 |
| C75 Otras glándulas endocrinas | 1 | 0 | 0 | 0 | 0 | 1 |
| C77 Ganglios linfáticos | 19 | 53 | 1 | 10 | 1 | 84 |
| C80 Localización primaria desconocida | 38 | 37 | 1 | 11 | 2 | 89 |
| Total | 1.326 | 1.610 | 28 | 316 | 54 | 3.334 |

*CIEO-3: Clasificación internacional de enfermedades para oncología, tercera revisión, 2003.
Fuente: Registro Institucional de Cáncer, INC.

Tabla 19. Distribución de casos nuevos de cáncer de residentes en Bogotá, por sexo, según Entidades Administradoras de Planes de Beneficios de Salud - EAPB, INC, Colombia, 2016



| Entidades Administradoras de Planes de Beneficios de Salud | Hombres | | Mujeres | | Total | |
|--|--------------|------------|--------------|------------|--------------|------------|
| | No. | % | No. | % | No. | % |
| Asmet ESS | 6 | 0,4 | 6 | 0,3 | 12 | 0,4 |
| Asociación Mutual Ser ESS | 1 | 0,1 | 6 | 0,3 | 7 | 0,2 |
| Cafam EPSS | 3 | 0,2 | 1 | 0,1 | 4 | 0,1 |
| Cafesalud S.A | 25 | 1,7 | 36 | 1,9 | 61 | 1,8 |
| Capital Salud | 517 | 35,9 | 731 | 38,6 | 1.248 | 37,4 |
| Caprecom | 2 | 0,1 | 0 | 0,0 | 2 | 0,1 |
| Capresoca | 3 | 0,2 | 6 | 0,3 | 9 | 0,3 |
| Comfacundi | 54 | 3,8 | 85 | 4,5 | 139 | 4,1 |
| Comparta | 5 | 0,3 | 6 | 0,3 | 11 | 0,3 |
| Compensar | 42 | 2,9 | 53 | 2,8 | 95 | 2,8 |
| Convida | 36 | 2,5 | 47 | 2,5 | 83 | 2,5 |
| Coomeva S.A | 2 | 0,1 | 7 | 0,4 | 9 | 0,3 |
| Cruz Blanca S.A | 6 | 0,4 | 9 | 0,5 | 15 | 0,4 |
| Ecoopsos | 9 | 0,6 | 13 | 0,7 | 22 | 0,7 |
| Famisanar Ltda | 53 | 3,7 | 67 | 3,5 | 120 | 3,6 |
| Fondo de Prestaciones Sociales del Magisterio | 14 | 1,0 | 28 | 1,5 | 42 | 1,3 |
| Fondo Pasivo Social Ferrocarriles de Colombia | 1 | 0,1 | 0 | 0,0 | 1 | 0,0 |
| Fuerzas Militares | 1 | 0,1 | 0 | 0,0 | 1 | 0,0 |
| Inpec | 1 | 0,1 | 0 | 0,0 | 1 | 0,0 |
| Nueva EPS | 441 | 30,6 | 488 | 25,8 | 929 | 27,9 |
| Particular | 111 | 7,7 | 204 | 10,8 | 315 | 9,4 |
| Policia Nacional | 8 | 0,6 | 1 | 0,1 | 9 | 0,3 |
| Salud Colmena S.A | 17 | 1,2 | 19 | 1,0 | 36 | 1,1 |
| Salud Total S.A | 24 | 1,7 | 18 | 1,0 | 42 | 1,3 |
| Saludvida S.A EPS | 6 | 0,4 | 4 | 0,2 | 10 | 0,3 |
| Sanitas S.A | 41 | 2,8 | 39 | 2,1 | 80 | 2,4 |
| Secretaria Distrital de Salud de Bogotá | 9 | 0,6 | 17 | 0,9 | 26 | 0,8 |
| Servicio Occidental de Salud S.A | 4 | 0,3 | 1 | 0,1 | 5 | 0,1 |
| Total | 1.442 | 100 | 1.892 | 100 | 3.334 | 100 |

*EPS: Empresa Promotora de Salud, EPSS: Empresa Promotora de Salud Subsidiado, ESS: Empresa Solidaria de Salud
Fuente: Registro Institucional de Cáncer, INC.

Tabla 20. Distribución de casos nuevos de cáncer de la población no asegurada residente en Bogotá, por sexo, según localización, INC, Colombia, 2016 

| Localización primaria (CIEO-3)* | Hombres | | Mujeres | | Total | |
|---|-----------|------------|-----------|------------|-----------|------------|
| | No. | % | No. | % | No. | % |
| C02 Otras partes de la lengua | 1 | 9,1 | 0 | 0,0 | 1 | 3,6 |
| C05 Paladar | 1 | 9,1 | 0 | 0,0 | 1 | 3,6 |
| C15 Esófago | 1 | 9,1 | 0 | 0,0 | 1 | 3,6 |
| C16 Estómago | 1 | 9,1 | 0 | 0,0 | 1 | 3,6 |
| C18 Colon | 0 | 0,0 | 2 | 11,8 | 2 | 7,1 |
| C42 Sistema hematopoyético y reticuloendotelial | 1 | 9,1 | 1 | 5,9 | 2 | 7,1 |
| C44 Piel | 2 | 18,2 | 3 | 17,6 | 5 | 17,9 |
| C50 Mama | 0 | 0,0 | 3 | 17,6 | 3 | 10,7 |
| C54 Cuerpo del útero | 0 | 0,0 | 2 | 11,8 | 2 | 7,1 |
| C56 Ovario | 0 | 0,0 | 1 | 5,9 | 1 | 3,6 |
| C62 Testículo | 1 | 9,1 | 0 | 0,0 | 1 | 3,6 |
| C71 Encéfalo | 1 | 9,1 | 2 | 11,8 | 3 | 10,7 |
| C73 Glándula tiroides | 0 | 0,0 | 2 | 11,8 | 2 | 7,1 |
| C74 Glándula suprarrenal | 1 | 9,1 | 0 | 0,0 | 1 | 3,6 |
| C77 Ganglios linfáticos | 1 | 9,1 | 0 | 0,0 | 1 | 3,6 |
| C80 Localización primaria desconocida | 0 | 0,0 | 1 | 5,9 | 1 | 3,6 |
| Total | 11 | 100 | 17 | 100 | 28 | 100 |

*CIEO-3: Clasificación internacional de enfermedades para oncología, tercera revisión, 2003.
Fuente: Registro Institucional de Cáncer, INC.

Tabla 21. Casos nuevos de cáncer de mama en pacientes residentes en Bogotá, según estado clínico al Ingreso y régimen de afiliación, INC, Colombia, 2016 

| Estado clínico* | Contributivo | | Subsidiado | | No asegurado | | Particular | | Régimen especial | | Total | |
|-----------------|--------------|------------|------------|------------|--------------|------------|------------|------------|------------------|------------|------------|------------|
| | No. | % | No. | % | No. | % | No. | % | No. | % | No. | % |
| <i>In situ</i> | 7 | 6,9 | 3 | 1,6 | 1 | 33,3 | 1 | 2,6 | 0 | 0,0 | 12 | 3,6 |
| I | 3 | 3,0 | 6 | 3,1 | 0 | 0,0 | 2 | 5,1 | 0 | 0,0 | 11 | 3,3 |
| IA | 5 | 5,0 | 8 | 4,2 | 0 | 0,0 | 5 | 12,8 | 0 | 0,0 | 18 | 5,4 |
| IIA | 23 | 22,8 | 25 | 13,1 | 1 | 33,3 | 9 | 23,1 | 2 | 100,0 | 60 | 17,9 |
| IIB | 9 | 8,9 | 35 | 18,3 | 0 | 0,0 | 2 | 5,1 | 0 | 0,0 | 46 | 13,7 |
| IIIA | 9 | 8,9 | 17 | 8,9 | 0 | 0,0 | 4 | 10,3 | 0 | 0,0 | 30 | 8,9 |
| IIIB | 19 | 18,8 | 40 | 20,9 | 1 | 33,3 | 2 | 5,1 | 0 | 0,0 | 62 | 18,5 |
| IIIC | 2 | 2,0 | 5 | 2,6 | 0 | 0,0 | 2 | 5,1 | 0 | 0,0 | 9 | 2,7 |
| IV | 19 | 18,8 | 40 | 20,9 | 0 | 0,0 | 5 | 12,8 | 0 | 0,0 | 64 | 19,0 |
| Sin dato | 5 | 5,0 | 12 | 6,3 | 0 | 0,0 | 7 | 17,9 | 0 | 0,0 | 24 | 7,1 |
| Total | 101 | 100 | 191 | 100 | 3 | 100 | 39 | 100 | 2 | 100 | 336 | 100 |

*TNM Classification of Malignant Tumours, 7th ed., UICC, 2009.
Fuente: Registro Institucional de Cáncer, INC.

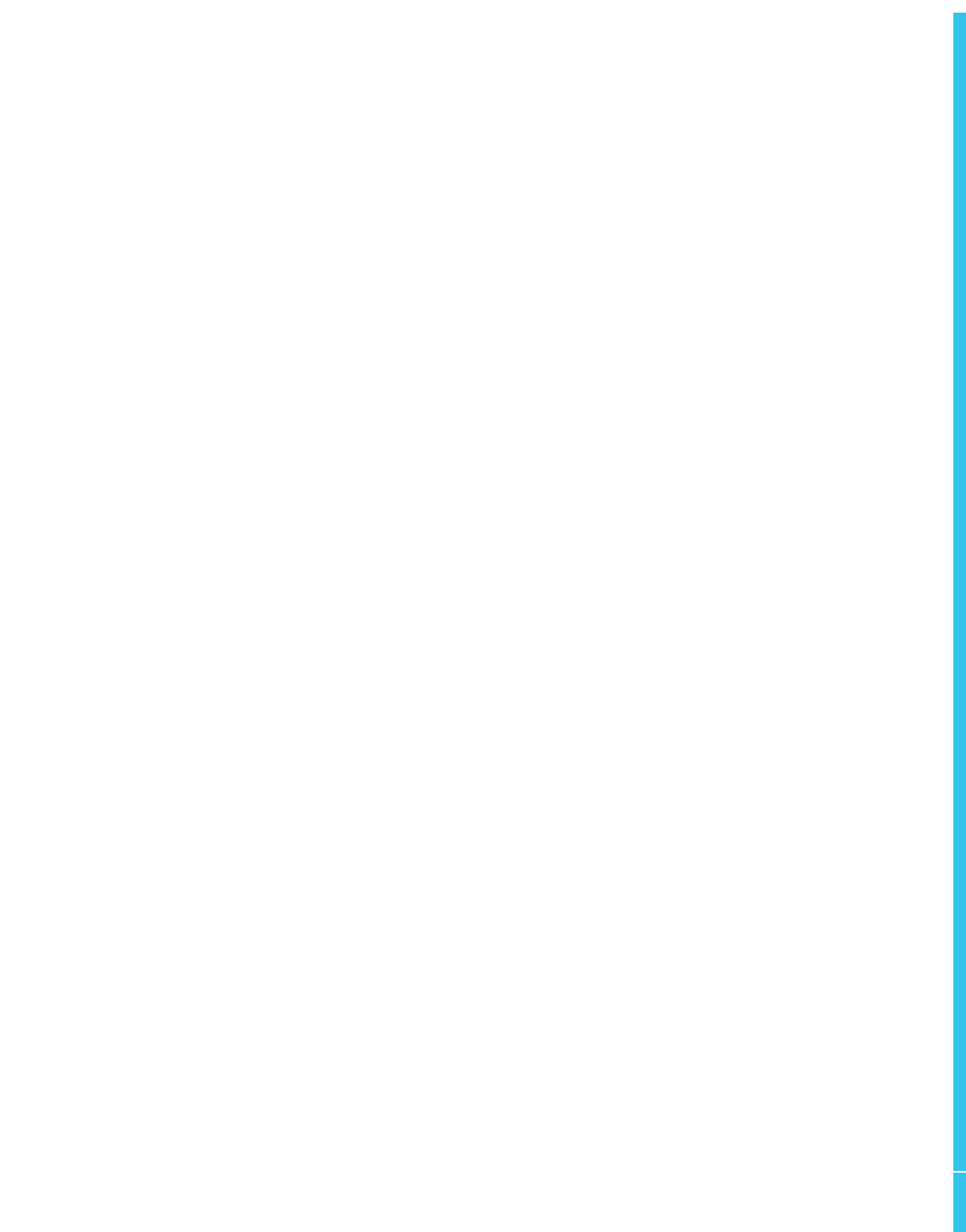
Tabla 22. Casos nuevos de cáncer de cuello uterino en pacientes residentes en Bogotá, según estado clínico al ingreso y régimen de afiliación, INC, Colombia, 2016 

| Estado clínico* | Contributivo | | Subsidiado | | Particular | | Total | |
|-----------------|--------------|------------|------------|------------|------------|------------|------------|------------|
| | No. | % | No. | % | No. | % | No. | % |
| <i>In situ</i> | 17 | 42,5 | 31 | 22 | 13 | 44,8 | 61 | 29 |
| IA | 1 | 2,5 | 8 | 5,6 | 0 | 0,0 | 9 | 4,2 |
| IB | 4 | 10,0 | 19 | 13,2 | 3 | 10,3 | 26 | 12,2 |
| IIA | 1 | 2,5 | 2 | 1,4 | 1 | 3,4 | 4 | 1,9 |
| IIB | 4 | 10,0 | 19 | 13,2 | 4 | 13,8 | 27 | 12,7 |
| IIIA | 1 | 2,5 | 1 | 0,7 | 1 | 3,4 | 3 | 1,4 |
| IIIB | 7 | 17,5 | 33 | 22,9 | 3 | 10,3 | 43 | 20,2 |
| IVA | 1 | 2,5 | 4 | 2,8 | 0,0 | 0,0 | 5 | 2,3 |
| IVB | 1 | 2,5 | 12 | 8,3 | 1,0 | 3,4 | 14 | 6,6 |
| Sin dato | 3 | 7,5 | 15 | 10,4 | 3 | 10,3 | 21 | 9,9 |
| Total | 40 | 100 | 144 | 100 | 29 | 100 | 213 | 100 |

*TNM Classification of Malignant Tumours, 7th ed., UICC, 2009.

** Régimen de afiliación sin pacientes: No asegurado y régimen especial

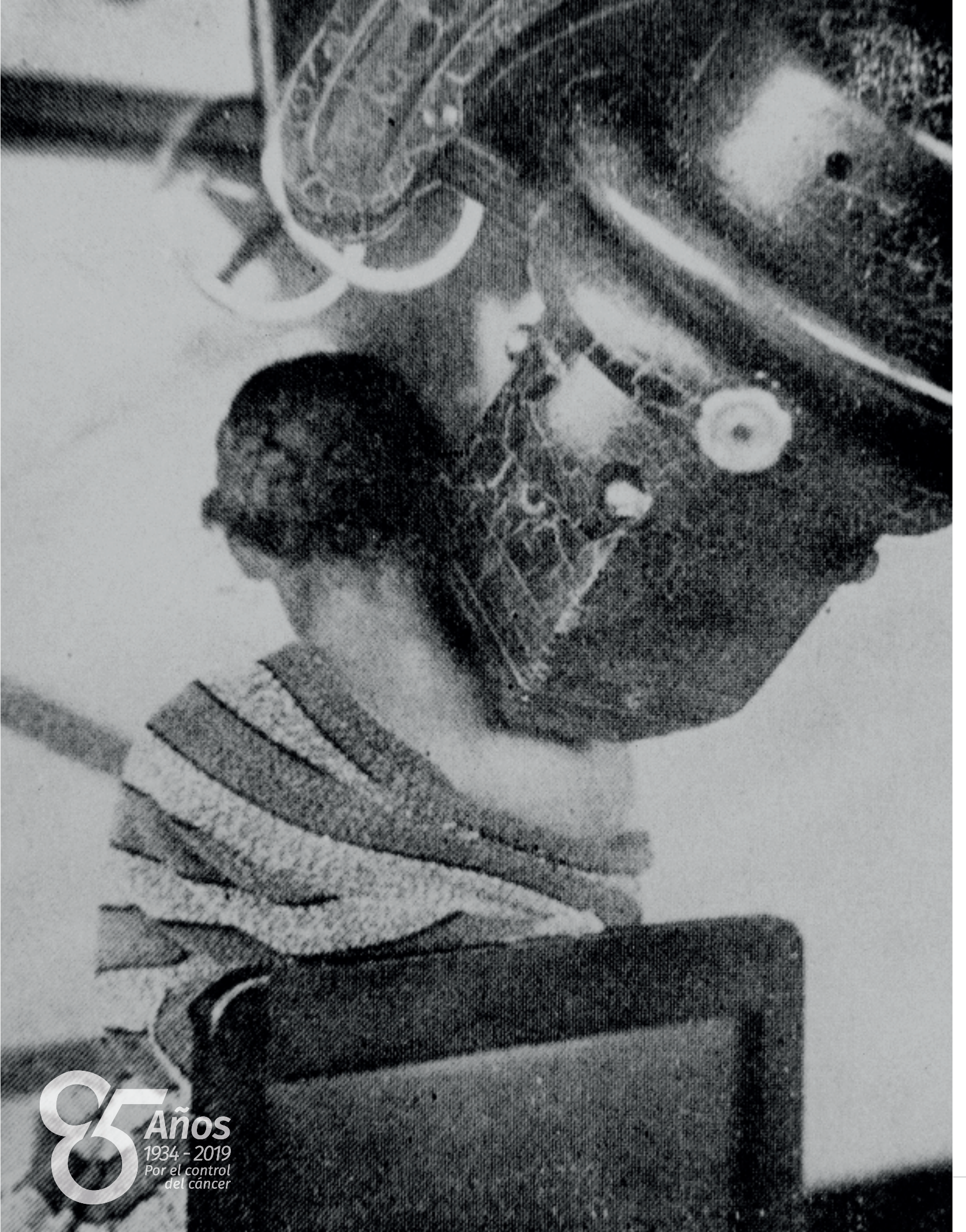
Fuente: Registro Institucional de Cáncer, INC.



Mortalidad institucional

El registro de mortalidad institucional presenta la información anual sobre las muertes ocurridas en el INC, a partir de los certificados de defunción diligenciados.





85 Años
1934 - 2019
Por el control
del cáncer

Tabla 23. Defunciones certificadas, por sitio de defunción, según sexo y grupos de edad, INC, Colombia, 2016



| Sexo y grupos de edad | Sitio de defunción* | | | | Total |
|-----------------------|---------------------|-------------|------------------|-------------|--------------|
| | INC | | Casa o domicilio | | |
| | No. | % | No. | % | |
| Hombres | | | | | |
| De 0 a 14 años | 13 | 100,0 | 0 | 0,0 | 13 |
| De 15 a 44 años | 66 | 86,8 | 10 | 13,2 | 76 |
| De 45 a 54 años | 61 | 75,3 | 20 | 24,7 | 81 |
| De 55 a 64 años | 89 | 76,1 | 28 | 23,9 | 117 |
| De 65 y más años | 194 | 74,6 | 66 | 25,4 | 260 |
| Total | 423 | 77,3 | 124 | 22,7 | 547 |
| Mujeres | | | | | |
| De 0 a 14 años | 12 | 92,3 | 1 | 7,7 | 13 |
| De 15 a 44 años | 93 | 88,6 | 12 | 11,4 | 105 |
| De 45 a 54 años | 98 | 82,4 | 21 | 17,6 | 119 |
| De 55 a 64 años | 113 | 72,0 | 44 | 28,0 | 157 |
| De 65 y más años | 215 | 71,4 | 86 | 28,6 | 301 |
| Total | 531 | 76,4 | 164 | 23,6 | 695 |
| Ambos sexos | | | | | |
| De 0 a 14 años | 25 | 96,2 | 1 | 3,8 | 26 |
| De 15 a 44 años | 159 | 87,8 | 22 | 12,2 | 181 |
| De 45 a 54 años | 159 | 79,5 | 41 | 20,5 | 200 |
| De 55 a 64 años | 202 | 73,7 | 72 | 26,3 | 274 |
| De 65 y más años | 409 | 72,9 | 152 | 27,1 | 561 |
| Total | 954 | 76,8 | 288 | 23,2 | 1.242 |

* Categoría: otros sitios, sin muertes

Fuente: Grupo Vigilancia Epidemiológica del Cáncer, INC.

Tabla 24. Mortalidad por sitio de defunción, según lugar de residencia habitual, INC, Colombia, 2016

| Lugar de residencia habitual | Sitio de defunción* | | | | Total |
|------------------------------|---------------------|-------------|------------------|-------------|--------------|
| | INC | | Casa o domicilio | | |
| | No. | % | No. | % | |
| Amazonas | 1 | 100 | 0 | 0,0 | 1 |
| Antioquia | 1 | 100,0 | 0 | 0,0 | 1 |
| Arauca | 4 | 80 | 1 | 20,0 | 5 |
| Atlántico | 1 | 100 | 0 | 0,0 | 1 |
| Bogotá, D. C. | 569 | 68,9 | 257 | 31,1 | 826 |
| Bolívar | 2 | 100,0 | 0 | 0,0 | 2 |
| Boyacá | 63 | 90,0 | 7 | 10 | 70 |
| Caldas | 1 | 100 | 0 | 0,0 | 1 |
| Caquetá | 2 | 50 | 2 | 50,0 | 4 |
| Casanare | 25 | 96 | 1 | 3,8 | 26 |
| Cauca | 2 | 100,0 | 0 | 0,0 | 2 |
| Cesar | 5 | 83 | 1 | 16,7 | 6 |
| Chocó | 3 | 100 | 0 | 0,0 | 3 |
| Cundinamarca | 182 | 91,9 | 16 | 8,1 | 198 |
| Guaviare | 2 | 100 | 0 | 0,0 | 2 |
| Huila | 6 | 100 | 0 | 0,0 | 6 |
| Magdalena | 3 | 100 | 0 | 0,0 | 3 |
| Meta | 29 | 100 | 0 | 0,0 | 29 |
| Nariño | 2 | 100 | 0 | 0,0 | 2 |
| Norte de Santander | 4 | 100 | 0 | 0,0 | 4 |
| Putumayo | 2 | 100,0 | 0 | 0,0 | 2 |
| Quindío | 2 | 100 | 0 | 0,0 | 2 |
| Santander | 6 | 100 | 0 | 0,0 | 6 |
| Tolima | 35 | 94,6 | 2 | 5,4 | 37 |
| Valle del Cauca | 0 | 0,0 | 1 | 100 | 1 |
| Vichada | 1 | 100 | 0 | 0,0 | 1 |
| Residente en el extranjero | 1 | 100 | 0 | 0,0 | 1 |
| Total | 954 | 76,8 | 288 | 23,2 | 1.242 |

* Categoría: otros sitios, sin muertes

Fuente: Grupo Vigilancia Epidemiológica del Cáncer, INC.

Tabla 25. Mortalidad por régimen de afiliación al SGSSS, según lugar de residencia habitual, INC, Colombia, 2016

| Lugar de residencia habitual | Régimen de afiliación | | | | | Total |
|------------------------------|-----------------------|------------|----------|-----------|--------------|--------------|
| | Contributivo | Subsidiado | Especial | Excepción | No asegurado | |
| Amazonas | 1 | 0 | 0 | 0 | 0 | 1 |
| Antioquia | 0 | 1 | 0 | 0 | 0 | 1 |
| Arauca | 2 | 3 | 0 | 0 | 0 | 5 |
| Atlántico | 0 | 0 | 0 | 1 | 0 | 1 |
| Bogotá, D. C. | 273 | 527 | 0 | 8 | 18 | 826 |
| Bolívar | 0 | 1 | 1 | 0 | 0 | 2 |
| Boyacá | 27 | 37 | 0 | 6 | 0 | 70 |
| Caldas | 0 | 1 | 0 | 0 | 0 | 1 |
| Caquetá | 1 | 3 | 0 | 0 | 0 | 4 |
| Casanare | 5 | 19 | 0 | 2 | 0 | 26 |
| Cauca | 1 | 1 | 0 | 0 | 0 | 2 |
| Cesar | 4 | 1 | 1 | 0 | 0 | 6 |
| Chocó | 0 | 2 | 0 | 0 | 1 | 3 |
| Cundinamarca | 35 | 162 | 0 | 1 | 0 | 198 |
| Guaviare | 1 | 1 | 0 | 0 | 0 | 2 |
| Huila | 1 | 5 | 0 | 0 | 0 | 6 |
| Magdalena | 1 | 2 | 0 | 0 | 0 | 3 |
| Meta | 4 | 20 | 1 | 4 | 0 | 29 |
| Nariño | 0 | 2 | 0 | 0 | 0 | 2 |
| Norte de Santander | 1 | 3 | 0 | 0 | 0 | 4 |
| Putumayo | 0 | 2 | 0 | 0 | 0 | 2 |
| Quindío | 1 | 1 | 0 | 0 | 0 | 2 |
| Santander | 1 | 5 | 0 | 0 | 0 | 6 |
| Tolima | 13 | 21 | 0 | 3 | 0 | 37 |
| Valle del Cauca | 1 | 0 | 0 | 0 | 0 | 1 |
| Vichada | 1 | 0 | 0 | 0 | 0 | 1 |
| Residente en el extranjero | 0 | 0 | 0 | 0 | 1 | 1 |
| Total | 374 | 820 | 3 | 25 | 20 | 1.242 |

Fuente: Grupo Vigilancia Epidemiológica del Cáncer, INC.

Tabla 26. Mortalidad por sitio de defunción, según causa básica de defunción, hombres, INC, Colombia, 2016



| Causa básica de defunción* | Sitio de defunción* | | Total |
|---|---------------------|------------------|------------|
| | INC | Casa o domicilio | |
| Enfermedad por VIH | 5 | 0 | 5 |
| Tumores malignos de labio, boca y faringe | 13 | 4 | 17 |
| Tumor maligno del esófago | 10 | 3 | 13 |
| Tumor maligno del estómago | 64 | 36 | 100 |
| Tumor maligno del colon, recto y ano | 34 | 12 | 46 |
| Tumor maligno del hígado y vía biliar intrahepática | 7 | 2 | 9 |
| Tumor maligno del páncreas | 6 | 2 | 8 |
| Tumor maligno de la laringe | 4 | 2 | 6 |
| Tumor maligno de la traquea, bronquios y pulmón | 26 | 7 | 33 |
| Melanoma maligno de la piel | 9 | 4 | 13 |
| Tumor maligno de la mama | 1 | 1 | 2 |
| Tumor maligno de la próstata | 46 | 18 | 64 |
| Tumor maligno de la vejiga urinaria | 10 | 3 | 13 |
| Tumor maligno de meninges, encéfalo, y resto SNC | 9 | 3 | 12 |
| Linfoma no Hodgkin | 28 | 1 | 29 |
| Mieloma múltiple y tumores malignos de cel. plasmáticas | 5 | 0 | 5 |
| Leucemia | 42 | 3 | 45 |
| Resto de tumores malignos | 92 | 21 | 113 |
| Anemias | 1 | 0 | 1 |
| Enfermedades hipertensivas | 2 | 0 | 2 |
| Enfermedades isquémicas del corazón | 0 | 1 | 1 |
| Otras enfermedades del corazón | 1 | 0 | 1 |
| Todas las demás enfermedades | 8 | 1 | 9 |
| Total | 423 | 124 | 547 |

* Categoría: otros sitios, sin muertes

* Agrupada según lista 2 para mortalidad de la Clasificación Estadística Internacional de Enfermedades y Problemas Relacionados con la Salud, décima revisión (CIE-10)

.Fuente: Grupo Vigilancia Epidemiológica del Cáncer, INC.

Tabla 27. Mortalidad por sitio de defunción, según causa básica de defunción, mujeres, INC, Colombia, 2016

| Causa básica de defunción* | Sitio de defunción* | | Total |
|--|---------------------|------------------|------------|
| | INC | Casa o domicilio | |
| Enfermedad por VIH | 1 | 0 | 1 |
| Tumores malignos de labio, boca y faringe | 8 | 2 | 10 |
| Tumor maligno del esófago | 10 | 6 | 16 |
| Tumor maligno del estómago | 43 | 15 | 58 |
| Tumor maligno del colon, recto y ano | 41 | 20 | 61 |
| Tumor maligno del hígado y vía biliar intrahepática | 9 | 0 | 9 |
| Tumor maligno del páncreas | 5 | 6 | 11 |
| Tumor maligno de la traquea, bronquios y pulmón | 24 | 6 | 30 |
| Melanoma maligno de la piel | 6 | 2 | 8 |
| Tumor maligno de la mama | 96 | 28 | 124 |
| Tumor maligno del cuello del útero | 54 | 23 | 77 |
| Tumor maligno de otros sitios del útero | 20 | 7 | 27 |
| Tumor maligno del ovario | 31 | 10 | 41 |
| Tumor maligno de la vejiga urinaria | 1 | 2 | 3 |
| Tumor maligno de meninges, encéfalo, y resto SNC | 12 | 0 | 12 |
| Linfoma no Hodgkin | 27 | 3 | 30 |
| Mieloma múltiple y tumores malignos de cel. plasmáticas | 9 | 2 | 11 |
| Leucemia | 30 | 2 | 32 |
| Resto de tumores malignos | 88 | 30 | 118 |
| Anemias | 2 | 0 | 2 |
| Enfermedades hipertensivas | 5 | 0 | 5 |
| Enfermedades isquémicas del corazón | 1 | 0 | 1 |
| Otras enfermedades del corazón | 2 | 0 | 2 |
| Enfermedades crónicas de las vías respiratorias inferiores | 1 | 0 | 1 |
| Todas las demás enfermedades | 5 | 0 | 5 |
| Total | 531 | 164 | 695 |

* Categoría: Otros sitios, sin muertes

* Agrupada según lista 2 para mortalidad de la Clasificación Estadística Internacional de Enfermedades y Problemas Relacionados con la Salud, décima revisión (CIE-10).

Fuente: Grupo Vigilancia Epidemiológica del Cáncer, INC.

Tabla 28. Mortalidad por régimen de afiliación al SGSSS, según causa básica de defunción, hombres, INC, Colombia, 2016

| Causa básica de defunción* | Régimen de afiliación | | | | | Total |
|---|-----------------------|------------|----------|-----------|--------------|------------|
| | Contributivo | Subsidiado | Especial | Excepción | No asegurado | |
| Enfermedad por VIH | 3 | 2 | 0 | 0 | 0 | 5 |
| Tumores malignos de labio, boca y faringe | 3 | 14 | 0 | 0 | 0 | 17 |
| Tumor maligno del esófago | 1 | 11 | 0 | 0 | 1 | 13 |
| Tumor maligno del estómago | 27 | 68 | 0 | 3 | 2 | 100 |
| Tumor maligno del colon, recto y ano | 17 | 28 | 0 | 1 | 0 | 46 |
| Tumor maligno del hígado y vía biliar intrahepática | 5 | 4 | 0 | 0 | 0 | 9 |
| Tumor maligno del páncreas | 3 | 5 | 0 | 0 | 0 | 8 |
| Tumor maligno de la laringe | 1 | 5 | 0 | 0 | 0 | 6 |
| Tumor maligno de la traquea, bronquios y pulmón | 10 | 21 | 0 | 1 | 1 | 33 |
| Melanoma maligno de la piel | 4 | 8 | 0 | 0 | 1 | 13 |
| Tumor maligno de la mama | 1 | 1 | 0 | 0 | 0 | 2 |
| Tumor maligno de la próstata | 20 | 43 | 0 | 0 | 1 | 64 |
| Tumor maligno de la vejiga urinaria | 5 | 8 | 0 | 0 | 0 | 13 |
| Tumor maligno de meninges, encéfalo, y resto SNC | 4 | 6 | 0 | 1 | 1 | 12 |
| Linfoma no Hodgkin | 11 | 17 | 0 | 1 | 0 | 29 |
| Mieloma múltiple y tumores malignos de cel. plasmáticas | 2 | 3 | 0 | 0 | 0 | 5 |
| Leucemia | 10 | 34 | 0 | 1 | 0 | 45 |
| Resto de tumores malignos | 30 | 82 | 0 | 0 | 1 | 113 |
| Anemias | 0 | 1 | 0 | 0 | 0 | 1 |
| Enfermedades hipertensivas | 0 | 2 | 0 | 0 | 0 | 2 |
| Enfermedades isquémicas del corazón | 1 | 0 | 0 | 0 | 0 | 1 |
| Otras enfermedades del corazón | 0 | 1 | 0 | 0 | 0 | 1 |
| Todas las demás enfermedades | 3 | 5 | 1 | 0 | 0 | 9 |
| Total | 161 | 369 | 1 | 8 | 8 | 547 |

* Agrupada según lista 2 para mortalidad de la Clasificación Estadística Internacional de Enfermedades y Problemas Relacionados con la Salud, décima revisión (CIE-10).

Fuente: Grupo Vigilancia Epidemiológica del Cáncer, INC.

Tabla 29. Mortalidad por régimen de afiliación al SGSSS, según causa básica de defunción, mujeres, INC, Colombia, 2016

| Causa básica de defunción* | Régimen de afiliación | | | | | Total |
|--|-----------------------|------------|----------|-----------|--------------|------------|
| | Contributivo | Subsidiado | Especial | Excepción | No asegurado | |
| Enfermedad por VIH | 0 | 1 | 0 | 0 | 0 | 1 |
| Tumores malignos de labio, boca y faringe | 3 | 7 | 0 | 0 | 0 | 10 |
| Tumor maligno del esófago | 6 | 10 | 0 | 0 | 0 | 16 |
| Tumor maligno del estómago | 20 | 35 | 0 | 1 | 2 | 58 |
| Tumor maligno del colon, recto y ano | 20 | 39 | 1 | 1 | 0 | 61 |
| Tumor maligno del hígado y vía biliar intrahepática | 3 | 6 | 0 | 0 | 0 | 9 |
| Tumor maligno del páncreas | 5 | 6 | 0 | 0 | 0 | 11 |
| Tumor maligno de la traquea, bronquios y pulmón | 10 | 19 | 0 | 1 | 0 | 30 |
| Melanoma maligno de la piel | 3 | 5 | 0 | 0 | 0 | 8 |
| Tumor maligno de la mama | 38 | 79 | 1 | 4 | 2 | 124 |
| Tumor maligno del cuello del útero | 15 | 58 | 0 | 1 | 3 | 77 |
| Tumor maligno de otros sitios útero | 10 | 15 | 0 | 1 | 1 | 27 |
| Tumor maligno del ovario | 16 | 23 | 0 | 1 | 1 | 41 |
| Tumor maligno de la vejiga urinaria | 0 | 3 | 0 | 0 | 0 | 3 |
| Tumor maligno de meninges, encéfalo, y resto SNC | 2 | 8 | 0 | 1 | 1 | 12 |
| Linfoma no Hodgkin | 12 | 16 | 0 | 2 | 0 | 30 |
| Mieloma múltiple y tumores malignos de cel. plasmáticas | 3 | 6 | 0 | 2 | 0 | 11 |
| Leucemia | 7 | 24 | 0 | 0 | 1 | 32 |
| Resto de tumores malignos | 35 | 81 | 0 | 2 | 0 | 118 |
| Anemias | 1 | 1 | 0 | 0 | 0 | 2 |
| Enfermedades hipertensivas | 1 | 4 | 0 | 0 | 0 | 5 |
| Enfermedades isquémicas del corazón | 0 | 0 | 0 | 0 | 1 | 1 |
| Otras enfermedades del corazón | 2 | 0 | 0 | 0 | 0 | 2 |
| Enfermedades crónicas de las vías respiratorias inferiores | 1 | 0 | 0 | 0 | 0 | 1 |
| Todas las demás enfermedades | 0 | 5 | 0 | 0 | 0 | 5 |
| Total | 213 | 451 | 2 | 17 | 12 | 695 |

* Agrupada según lista 2 para mortalidad de la Clasificación Estadística Internacional de Enfermedades y Problemas Relacionados con la Salud, décima revisión (CIE-10).

Fuente: Grupo Vigilancia Epidemiológica del Cáncer, INC.

Tabla 30. Mortalidad por área de residencia habitual, según causa básica de defunción, INC, Colombia, 2016

| Causa básica de defunción* | Área de residencia habitual | | | | Total |
|--|-----------------------------|----------------|----------------|----------|--------------|
| | Cabecera municipal | Centro poblado | Rural disperso | Otro** | |
| Enfermedad por VIH | 5 | 0 | 1 | 0 | 6 |
| Tumores malignos de labio, boca y faringe | 23 | 0 | 4 | 0 | 27 |
| Tumor maligno del esófago | 26 | 0 | 3 | 0 | 29 |
| Tumor maligno del estómago | 143 | 0 | 15 | 0 | 158 |
| Tumor maligno del colon, recto y ano | 93 | 0 | 14 | 0 | 107 |
| Tumor maligno del hígado y vía biliar intrahepática | 18 | 0 | 0 | 0 | 18 |
| Tumor maligno del páncreas | 19 | 0 | 0 | 0 | 19 |
| Tumor maligno de la laringe | 6 | 0 | 0 | 0 | 6 |
| Tumor maligno de la traquea, bronquios y pulmón | 56 | 0 | 7 | 0 | 63 |
| Melanoma maligno de la piel | 20 | 0 | 1 | 0 | 21 |
| Tumor maligno de la mama | 118 | 0 | 7 | 1 | 126 |
| Tumor maligno del cuello del útero | 68 | 1 | 8 | 0 | 77 |
| Tumor maligno de otros sitios útero | 25 | 0 | 2 | 0 | 27 |
| Tumor maligno del ovario | 34 | 0 | 7 | 0 | 41 |
| Tumor maligno de la próstata | 57 | 0 | 7 | 0 | 64 |
| Tumor maligno de la vejiga urinaria | 16 | 0 | 0 | 0 | 16 |
| Tumor maligno de meninges, encéfalo, y resto SNC | 18 | 1 | 5 | 0 | 24 |
| Linfoma no Hodgkin | 50 | 1 | 8 | 0 | 59 |
| Mieloma múltiple y tumores malignos de cel. plasmáticas | 14 | 0 | 2 | 0 | 16 |
| Leucemia | 61 | 0 | 16 | 0 | 77 |
| Resto de tumores malignos | 198 | 2 | 31 | 0 | 231 |
| Anemias | 2 | 0 | 1 | 0 | 3 |
| Enfermedades hipertensivas | 5 | 0 | 2 | 0 | 7 |
| Enfermedades isquémicas del corazón | 2 | 0 | 0 | 0 | 2 |
| Otras enfermedades del corazón | 3 | 0 | 0 | 0 | 3 |
| Enfermedades crónicas de las vías respiratorias inferiores | 1 | 0 | 0 | 0 | 1 |
| Todas las demás enfermedades | 10 | 2 | 2 | 0 | 14 |
| Total | 1.091 | 7 | 143 | 1 | 1.242 |

* Agrupada según lista 2 para mortalidad de la Clasificación Estadística Internacional de Enfermedades y Problemas Relacionados con la Salud, décima revisión (CIE-10).

** Residente en el extranjero

Fuente: Grupo Vigilancia Epidemiológica del Cáncer, INC.

Tabla 31. Mortalidad por grandes grupos de edad, según causa básica de defunción, INC, Colombia, 2016

| Causa básica de defunción* | Grupos de edad (años) | | | | | Total |
|--|-----------------------|------------|------------|------------|-------------|--------------|
| | De 0 a 14 | De 15 a 44 | De 45 a 54 | De 55 a 64 | De 65 y más | |
| Enfermedad por VIH | 0 | 4 | 1 | 1 | 0 | 6 |
| Tumores malignos de labio, boca y faringe | 0 | 2 | 3 | 5 | 17 | 27 |
| Tumor maligno del esófago | 1 | 3 | 5 | 4 | 16 | 29 |
| Tumor maligno del estómago | 0 | 19 | 37 | 33 | 69 | 158 |
| Tumor maligno del colon, recto y ano | 0 | 6 | 12 | 27 | 62 | 107 |
| Tumor maligno del hígado y vía biliar intrahepática | 0 | 1 | 2 | 6 | 9 | 18 |
| Tumor maligno del páncreas | 0 | 0 | 3 | 6 | 10 | 19 |
| Tumor maligno de la laringe | 0 | 0 | 0 | 1 | 5 | 6 |
| Tumor maligno de la traquea, bronquios y pulmón | 0 | 3 | 10 | 15 | 35 | 63 |
| Melanoma maligno de la piel | 0 | 7 | 2 | 3 | 9 | 21 |
| Tumor maligno de la mama | 0 | 9 | 35 | 40 | 42 | 126 |
| Tumor maligno del cuello del útero | 0 | 22 | 17 | 16 | 22 | 77 |
| Tumor maligno de otros sitios útero | 0 | 5 | 5 | 8 | 9 | 27 |
| Tumor maligno del ovario | 1 | 6 | 6 | 17 | 11 | 41 |
| Tumor maligno de la próstata | 0 | 0 | 3 | 8 | 53 | 64 |
| Tumor maligno de la vejiga urinaria | 0 | 0 | 1 | 7 | 8 | 16 |
| Tumor maligno de meninges, encéfalo, y resto SNC | 5 | 6 | 4 | 2 | 7 | 24 |
| Linfoma no Hodgkin | 0 | 8 | 9 | 13 | 29 | 59 |
| Mieloma múltiple y tumores malignos de cel. plasmáticas | 0 | 1 | 1 | 6 | 8 | 16 |
| Leucemia | 11 | 30 | 9 | 5 | 22 | 77 |
| Resto de tumores malignos | 8 | 47 | 33 | 43 | 100 | 231 |
| Anemias | 0 | 1 | 1 | 0 | 1 | 3 |
| Enfermedades hipertensivas | 0 | 0 | 0 | 1 | 6 | 7 |
| Enfermedades isquémicas del corazón | 0 | 0 | 0 | 0 | 2 | 2 |
| Otras enfermedades del corazón | 0 | 0 | 0 | 1 | 2 | 3 |
| Enfermedades crónicas de las vías respiratorias inferiores | 0 | 0 | 0 | 0 | 1 | 1 |
| Todas las demás enfermedades | 0 | 1 | 1 | 6 | 6 | 14 |
| Total | 26 | 181 | 200 | 274 | 561 | 1.242 |

*Agrupada según lista 2 para mortalidad de la Clasificación Estadística Internacional de Enfermedades y Problemas Relacionados con la Salud, décima revisión (CIE-10). Fuente: Grupo Vigilancia Epidemiológica del Cáncer, INC.

Tabla 32. Mortalidad por sitio de defunción, según mes de la defunción, INC, Colombia, 2016

| Mes de la defunción | Sitio de defunción* | | Total |
|---------------------|---------------------|------------------|--------------|
| | INC | Casa o domicilio | |
| Enero | 72 | 16 | 88 |
| Febrero | 74 | 20 | 94 |
| Marzo | 93 | 19 | 112 |
| Abril | 97 | 20 | 117 |
| Mayo | 79 | 28 | 107 |
| Junio | 73 | 23 | 96 |
| Julio | 72 | 17 | 89 |
| Agosto | 90 | 26 | 116 |
| Septiembre | 68 | 34 | 102 |
| Octubre | 71 | 31 | 102 |
| Noviembre | 88 | 20 | 108 |
| Diciembre | 77 | 34 | 111 |
| Total | 954 | 288 | 1.242 |

* Categorías: otros sitios, sin muertes
Fuente: Grupo Vigilancia Epidemiológica del Cáncer, INC.

Tabla 33. Mortalidad por sitio de defunción, según nivel educativo, INC, Colombia, 2016

| Nivel educativo | Sitio de defunción* | | Total |
|---------------------|---------------------|------------------|--------------|
| | INC | Casa o domicilio | |
| Preescolar | 38 | 1 | 39 |
| Básica primaria | 444 | 142 | 586 |
| Básica secundaria | 124 | 36 | 160 |
| Media académica | 79 | 12 | 91 |
| Media técnica | 7 | 2 | 9 |
| Normalista | 2 | 0 | 2 |
| Técnica profesional | 23 | 6 | 29 |
| Tecnológica | 14 | 0 | 14 |
| Profesional | 40 | 6 | 46 |
| Especialización | 10 | 1 | 11 |
| Maestría | 1 | 0 | 1 |
| Doctorado | 0 | 0 | 0 |
| Ninguno | 89 | 25 | 114 |
| Sin información | 83 | 57 | 140 |
| Total | 954 | 288 | 1.242 |

* Categoría: otros sitios, sin muertes
Fuente: Grupo Vigilancia Epidemiológica del Cáncer, INC.

Tabla 34. Mortalidad según horas de estancia hospitalaria, INC, Colombia, 2016

| Estancia agrupada | 1er. trimestre | 2do. trimestre | 3er. trimestre | 4to. trimestre | Total |
|---------------------------------------|----------------|----------------|----------------|----------------|------------|
| Muertes ocurridas antes de 24 horas | 51 | 61 | 59 | 43 | 214 |
| Muertes ocurridas entre 24 y 48 horas | 38 | 28 | 27 | 33 | 126 |
| Muertes ocurridas después de 48 horas | 150 | 160 | 144 | 160 | 614 |
| Total mortalidad hospitalaria | 239 | 249 | 230 | 236 | 954 |

Fuente: Grupo Vigilancia Epidemiológica del Cáncer, INC.

Tabla 35. Mortalidad en Bogotá, por localidad de residencia habitual, INC, Colombia, 2016


| Localidad | Hombres | Mujeres | Total | % |
|----------------|------------|------------|------------|------------|
| Antonio Nariño | 6 | 13 | 19 | 2,3 |
| Barrios Unidos | 4 | 1 | 5 | 0,6 |
| Bosa | 32 | 35 | 67 | 8,1 |
| Chapinero | 4 | 6 | 10 | 1,2 |
| Ciudad Bolívar | 31 | 39 | 70 | 8,5 |
| Engativá | 24 | 41 | 65 | 7,9 |
| Fontibón | 13 | 19 | 32 | 3,9 |
| Kennedy | 55 | 45 | 100 | 12,1 |
| La Candelaria | 2 | 1 | 3 | 0,4 |
| Los Mártires | 5 | 7 | 12 | 1,5 |
| Puente Aranda | 14 | 13 | 27 | 3,3 |
| Rafael Uribe | 34 | 49 | 83 | 10,0 |
| San Cristóbal | 42 | 60 | 102 | 12,3 |
| Santafé | 15 | 17 | 32 | 3,9 |
| Suba | 26 | 39 | 65 | 7,9 |
| Teusaquillo | 3 | 7 | 10 | 1,2 |
| Tunjuelito | 11 | 17 | 28 | 3,4 |
| Usaquén | 7 | 22 | 29 | 3,5 |
| Usme | 32 | 35 | 67 | 8,1 |
| Total | 360 | 466 | 826 | 100 |

Fuente: Grupo Vigilancia Epidemiológica del Cáncer, INC.

Producción hospitalaria

La producción hospitalaria presenta la información anual de las actividades y los indicadores sobre la atención oncológica en el INC.





85 Años
1934 - 2019
Por el control
del cáncer

Tabla 36. Producción trimestral consolidada según tipo de actividades e indicadores, INC, Colombia, 2016

| Actividades asistenciales e indicadores | 1er. trimestre | 2o. trimestre | 3er. trimestre | 4o. trimestre | Total |
|---|----------------|---------------|----------------|---------------|---------|
| Consultas totales | 38.869 | 39.427 | 40.298 | 39.879 | 158.473 |
| Consultas de urgencias | 3.264 | 3.095 | 3.323 | 3.017 | 12.699 |
| Consultas de urgencias pediátricas | 232 | 253 | 291 | 243 | 1.019 |
| Consultas de primera vez | 6.948 | 7.060 | 6.746 | 6.381 | 27.135 |
| Consultas de control | 22.380 | 22.585 | 23.219 | 23.778 | 91.962 |
| Interconsultas GAICA* | 328 | 366 | 258 | 199 | 1.151 |
| Interconsultas hospitalarias | 4.740 | 4.932 | 5.405 | 5.369 | 20.446 |
| Junta de decisiones | 977 | 1.136 | 1.056 | 892 | 4.061 |
| Asistencia de especialistas a Junta de decisiones | 3.237 | 3.395 | 3.092 | 2.260 | 11.984 |
| Pacientes primera vez en la vida | 1.725 | 1.886 | 1.821 | 1.610 | 7.042 |
| Concentración consulta externa | 22,5 | 20,9 | 22,1 | 24,8 | 22,5 |
| Egresos hospitalarios | 1.444 | 1.520 | 1.477 | 1.466 | 5.907 |
| Total días estancia egresos | 15.052 | 15.884 | 15.907 | 18.054 | 64.897 |
| Promedio estancia | 10,4 | 10,5 | 10,8 | 12,3 | 11,0 |
| Relación consulta egreso | 26,9 | 25,9 | 27,3 | 27,2 | 26,8 |
| Días cama disponible | 14.481 | 14.704 | 14.874 | 14.639 | 58.698 |
| Días cama ocupada | 13.259 | 13.642 | 13.940 | 13.641 | 54.482 |
| Días cama desocupada | 1.222 | 1.062 | 934 | 998 | 4.216 |
| Porcentaje de ocupación | 91,6 | 92,8 | 93,7 | 93,2 | 92,8 |
| Giro cama | 3,3 | 3,4 | 3,3 | 3,2 | 3,3 |
| Intervalo de sustitución | 1,0 | 0,8 | 0,7 | 0,9 | 0,9 |

* Grupo de Atención Inmediata en Cáncer
Fuente: Grupo Área Análisis de Datos, INC.

Tabla 37. Producción trimestral de consulta externa, según servicio, INC, Colombia, 2016

| Servicio | 1er. trimestre | 2o. trimestre | 3er. trimestre | 4o. trimestre | Total |
|-----------------------------------|----------------|---------------|----------------|---------------|----------------|
| Anestesia | 1.323 | 1.433 | 1.393 | 1.207 | 5.356 |
| Cardiología | 1.185 | 1.334 | 1.193 | 987 | 4.699 |
| Cirugía de cabeza y cuello | 1.403 | 1.702 | 1.425 | 1.302 | 5.832 |
| Cirugía de seno y tejidos blandos | 2.456 | 2.730 | 2.494 | 2.277 | 9.957 |
| Cirugía de tórax | 684 | 745 | 785 | 662 | 2.876 |
| Cirugía vascular | 73 | 99 | 104 | 95 | 371 |
| Clínica de piel | 1.548 | 1.764 | 1.577 | 1.484 | 6.373 |
| Cuidado intensivo | 327 | 329 | 337 | 351 | 1.344 |
| Cuidados paliativos | 1.124 | 1.167 | 900 | 1.030 | 4.221 |
| Endocrinología | 1.168 | 1.563 | 1.326 | 1.419 | 5.476 |
| Gastroenterología | 2.998 | 3.302 | 3.143 | 3.122 | 12.565 |
| Ginecología | 2.717 | 2.769 | 2.960 | 2.861 | 11.307 |
| Grupo reconstructivo | 1.831 | 2.235 | 2.100 | 1.812 | 7.978 |
| Hematología | 2.240 | 2.245 | 2.272 | 2.207 | 8.964 |
| Infectología | 86 | 87 | 79 | 82 | 334 |
| Medicina interna | 676 | 639 | 472 | 601 | 2.388 |
| Medicina nuclear | 2.306 | 2.282 | 2.282 | 1.546 | 8.416 |
| Neumología | 761 | 803 | 825 | 741 | 3.130 |
| Neurocirugía | 353 | 389 | 368 | 426 | 1.536 |
| Neurología | 155 | 163 | 139 | 149 | 606 |
| Odontología | 691 | 772 | 705 | 639 | 2.807 |
| Oftalmología | 565 | 560 | 562 | 532 | 2.219 |
| Oncología clínica | 15.030 | 15.406 | 16.356 | 15.351 | 62.143 |
| Oncología pediátrica | 1.230 | 1.449 | 1.324 | 1.535 | 5.538 |
| Ortopedia | 749 | 739 | 709 | 592 | 2.789 |
| Otorrinolaringología | 131 | 269 | 7* | 193 | 600 |
| Pediatría cirugía | 139 | 139 | 137 | 118 | 533 |
| Pediatría urgencias | 232 | 253 | 291 | 243 | 1.019 |
| Psicología | 423 | 382 | 400 | 262 | 1.467 |
| Radioterapia | 1.218 | 1.277 | 1.263 | 1.036 | 4.794 |
| Rehabilitación | 4.169 | 4.686 | 4.898 | 3.858 | 17.611 |
| Salud mental | 352 | 319 | 354 | 266 | 1.291 |
| Soporte metabólico | 604 | 672 | 622 | 538 | 2.436 |
| Terapia respiratoria | 533 | 461 | 476 | 367 | 1.837 |
| Urgencias | 3.264 | 3.095 | 3.323 | 3.017 | 12.699 |
| Urología | 2.476 | 2.413 | 2.556 | 2.552 | 9.997 |
| Total | 57.220 | 60.672 | 60.157 | 55.460 | 233.509 |

Fuente: Grupo Área Análisis de Datos, INC.

* Disminución oferta médica en el trimestre

Tabla 38. Producción trimestral de radioterapia, según tipo de procedimientos, INC, Colombia, 2016

| Procedimientos | 1er. trimestre | 2o. trimestre | 3er. trimestre | 4o. trimestre | Total |
|---|----------------|---------------|----------------|---------------|--------|
| Pacientes nuevos atendidos en teleterapia | 444 | 413 | 482 | 512 | 1.851 |
| Pacientes en radioterapia intraoperatoria | 4 | 1 | 1 | 2 | 8 |
| Pacientes en radiocirugía | 0 | 0 | 1 | 4 | 5 |
| Sesiones de radioterapia | | | | | |
| Sesiones de teleterapia con acelerador | 9.263 | 8.310 | 8.890 | 14.092 | 40.555 |
| Simulaciones convencionales y TAC | 498 | 526 | 573 | 574 | 2.171 |
| Aplicaciones braquiterapia | | | | | |
| Aplicaciones de braquiterapia de baja tasa (Ocular) | 2 | 1 | 0 | 2 | 5 |
| Aplicaciones de braquiterapia de alta tasa | 139 | 204 | 222 | 150 | 715 |

Fuente: Grupo Radioterapia, INC.

Tabla 39. Producción trimestral según tipo de procedimientos de quimioterapia, INC, Colombia, 2016

| Procedimientos de quimioterapia | 1er. trimestre | 2o. trimestre | 3er. trimestre | 4o. trimestre | Total |
|---------------------------------|----------------|---------------|----------------|---------------|---------------|
| Monoquimioterapia | 1.692 | 1.578 | 1.668 | 1.644 | 6.582 |
| Poli-quimioterapia | 2.293 | 2.370 | 2.265 | 2.283 | 9.211 |
| Quimioterapia intratecal | 175 | 226 | 171 | 192 | 764 |
| Total | 4.160 | 4.174 | 4.104 | 4.119 | 16.557 |

Fuente: Grupo Área Análisis de Datos, INC.

Tabla 40. Producción trimestral de procedimientos quirúrgicos, según servicio, INC, Colombia, 2016

| Servicio | 1er. trimestre | 2o. trimestre | 3er. trimestre | 4o. trimestre | Total |
|------------------------|----------------|---------------|----------------|---------------|---------------|
| Cabeza y cuello | 434 | 419 | 362 | 482 | 1.697 |
| Cirugía de tórax | 200 | 198 | 169 | 212 | 779 |
| Cirugía pediátrica | 50 | 56 | 54 | 64 | 224 |
| Cirugía plástica | 554 | 534 | 541 | 484 | 2.113 |
| Dermatología | 39 | 61 | 40 | 39 | 179 |
| Gastroenterología | 371 | 333 | 322 | 306 | 1.332 |
| Ginecología | 278 | 198 | 203 | 246 | 925 |
| Neumología | 101 | 121 | 115 | 87 | 424 |
| Neurocirugía | 50 | 80 | 44 | 50 | 224 |
| Oftalmología | 49 | 48 | 78 | 47 | 222 |
| Ortopedia | 58 | 76 | 76 | 55 | 265 |
| Pediatría | 258 | 343 | 368 | 361 | 1.330 |
| Otorrinolaringología | 14 | 18 | 0* | 11 | 43 |
| Maxilofacial | 17 | 15 | 13 | 17 | 62 |
| Microcirugía | 24 | 39 | 37 | 50 | 150 |
| Seno y tejidos blandos | 416 | 450 | 490 | 410 | 1.766 |
| Urología | 152 | 140 | 144 | 146 | 582 |
| Total | 3.129 | 3.129 | 3.056 | 3.067 | 12.317 |

Fuente: Grupo Salas de Cirugía y UCI, INC.

* Disminución oferta médica en el trimestre

Tabla 41. Producción trimestral del laboratorio clínico, INC, Colombia, 2016

| Laboratorio clínico | 1er. trimestre | 2o. trimestre | 3er. trimestre | 4o. trimestre | Total |
|----------------------------------|----------------|----------------|----------------|----------------|----------------|
| Exámenes de microbiología | 5.258 | 4.565 | 3.500 | 4.424 | 17.747 |
| Pruebas especiales* | 11.523 | 11.627 | 12.965 | 12.279 | 48.394 |
| Pruebas de coagulación | 12.641 | 12.284 | 14.051 | 14.009 | 52.985 |
| Pruebas de hematología | 19.465 | 18.915 | 20.426 | 19.536 | 78.342 |
| Pruebas de microscopía | 2.547 | 2.368 | 2.323 | 2.287 | 9.525 |
| Química sanguínea | 139.744 | 136.957 | 149.169 | 143.117 | 568.987 |
| Total exámenes realizados | 191.178 | 186.716 | 202.434 | 195.652 | 775.980 |

* Incluye: hormonas, marcadores tumorales, serología de infecciones, inmunoglobulinas.
Fuente: Grupo Laboratorio, INC.

Tabla 42. Producción trimestral del servicio de imágenes diagnósticas, según tipo de examen, INC, Colombia, 2016

| Imágenes diagnósticas | 1er. trimestre | 2o. trimestre | 3er. trimestre | 4o. trimestre | Total |
|------------------------|----------------|---------------|----------------|---------------|---------------|
| Angiografía | 407 | 430 | 582 | 596 | 2.015 |
| Biopsia por ecografía | 827 | 811 | 978 | 1052 | 3.668 |
| Biopsia por mamografía | 84 | 93 | 91 | 102 | 370 |
| Biopsia por TAC | 46 | 41 | 38 | 41 | 166 |
| Ecografía | 3.979 | 3.923 | 4.702 | 5.243 | 17.847 |
| Mamografía | 797 | 782 | 828 | 931 | 3.338 |
| Rayos X | 5.724 | 5.477 | 5.861 | 5.623 | 22.685 |
| Resonancias | 1736 | 1694 | 1138 | 1761 | 6.329 |
| TAC | 5.094 | 5.068 | 5.639 | 5.324 | 21.125 |
| Total | 18.694 | 18.319 | 19.857 | 20.673 | 77.543 |

Fuente: Grupo de Imagenología Diagnóstica - kodak, INC

Tabla 43. Producción trimestral de exámenes diagnósticos y otros procedimientos, INC, Colombia, 2016

| Exámenes diagnósticos y procedimientos | 1er. trimestre | 2o. trimestre | 3er. trimestre | 4o. trimestre | Total |
|--|----------------|---------------|----------------|---------------|-------|
| Estudios de medicina nuclear | 2.211 | 2.250 | 2.234 | 1.403 | 8.098 |
| Exámenes de genética | 383 | 424 | 444 | 387 | 1.638 |
| Electrocardiogramas | 1.228 | 1.149 | 1.145 | 1.207 | 4.729 |
| Ecocardiogramas | 209 | 202 | 138 | 151 | 700 |
| Nutrición enteral total | 261 | 225 | 206 | 220 | 912 |
| Nutrición parenteral | 72 | 83 | 141 | 100 | 396 |
| Endoscopias vías digestivas altas | 425 | 447 | 491 | 434 | 1.797 |
| Colonoscopias | 295 | 244 | 236 | 259 | 1.034 |
| Rectosigmoidoscopia | 49 | 54 | 49 | 52 | 204 |

Fuente: Grupos del Area de Oncología Médica, INC.

Tabla 44. Producción trimestral de la unidad de cuidado intensivo, INC, Colombia, 2016

| Indicador | 1er. trimestre | 2o. trimestre | 3er. trimestre | 4o. trimestre | Total |
|-------------------------------------|----------------|---------------|----------------|---------------|-------|
| Ingreso de pacientes UCI - Adulto | 159 | 176 | 205 | 203 | 743 |
| Ingreso pacientes UCI Pediátrica | 46 | 57 | 52 | 53 | 208 |
| Egresos | 197 | 229 | 256 | 268 | 950 |
| Días estancia egresos pacientes UCI | 1.648 | 1.629 | 1.779 | 1.825 | 6.881 |
| Promedio días estancia paciente | 8,4 | 7,1 | 7,0 | 6,9 | 7,3 |
| Giro cama | 2,4 | 2,8 | 3,2 | 3,3 | 2,9 |
| % Ocupación | 74 | 68 | 74 | 80 | 74 |
| % Mortalidad <de 24 horas | 3,0 | 2,6 | 6,9 | 2,7 | 3,8 |
| % Mortalidad entre 24 y 48 horas | 1,6 | 1,3 | 2,3 | 2,3 | 1,9 |
| % Mortalidad >de 48 horas | 8,0 | 10,5 | 8,6 | 10,3 | 9,4 |
| % Mortalidad total | 12,6 | 14,0 | 17,8 | 15,3 | 15,0 |
| % Infección intrahospitalaria | 7,6 | 6,6 | 4,3 | 4,1 | 5,5 |

Fuente: Grupo Salas de Cirugía y UCI, INC.

Tabla 45. Producción trimestral de sesiones de rehabilitación y terapias respiratorias, INC, Colombia, 2016

| Tipo de sesiones | 1er. trimestre | 2o. trimestre | 3er. trimestre | 4o. trimestre | Total |
|----------------------|----------------|---------------|----------------|---------------|----------------|
| Fisioterapia | 2.041 | 2.613 | 2.612 | 2.174 | 9.440 |
| Fonoaudiología | 722 | 782 | 783 | 787 | 3.074 |
| Terapia ocupacional | 708 | 785 | 742 | 733 | 2.968 |
| Terapia respiratoria | 40.956 | 45.234 | 41.270 | 42.434 | 169.894 |
| Total | 44.427 | 49.414 | 45.407 | 46.128 | 185.376 |

Fuente: Grupo de Rehabilitación, INC.

Tabla 46. Producción trimestral del banco de sangre, según procedimiento, INC, Colombia, 2016

| Tipo de procedimiento | 1er. trimestre | 2o. trimestre | 3er. trimestre | 4o. trimestre | Total |
|---------------------------|----------------|---------------|----------------|---------------|----------------|
| Aféresis | 106 | 92 | 122 | 144 | 464 |
| Donaciones recibidas | 2.314 | 2.599 | 2.262 | 2.255 | 9.430 |
| Inmunoematología | 31.960 | 32.114 | 33.754 | 33.662 | 131.490 |
| Pruebas infecciosas* | 17.280 | 19.650 | 17.312 | 16.870 | 71.112 |
| Separación de componentes | 7.856 | 9.045 | 7.875 | 7.557 | 32.333 |
| Unidades transfundidas | 7.321 | 6.266 | 5.487 | 6.377 | 25.451 |
| Total | 66.837 | 69.766 | 66.812 | 66.865 | 270.280 |

 * Hepatitis B, Hepatitis C, Chagas, HIV, HTLV, Anticore, VDRL
 Fuente: Grupo Banco de Sangre, INC.

Tabla 47. Producción trimestral de clínica de hematología y transplante de médula ósea, INC, Colombia, 2016

| Tipo de procedimiento | 1er. trimestre | 2o. trimestre | 3er. trimestre | 4o. trimestre | Total |
|----------------------------|----------------|---------------|----------------|---------------|--------------|
| Biopsia de médula ósea | 204 | 176 | 177 | 160 | 717 |
| Mielogramas de médula ósea | 225 | 215 | 217 | 199 | 856 |
| Punción lumbar diagnóstica | 61 | 88 | 60 | 51 | 260 |
| Transplante de médula ósea | 11 | 3 | 10 | 14 | 38 |
| Total | 501 | 482 | 464 | 424 | 1.871 |

Fuente: Grupo de Hematología Oncológica, INC.

Tabla 48. Producción trimestral del servicio de patología y citología, INC, Colombia, 2016

| Tipo de procedimiento | 1er. trimestre | 2o. trimestre | 3er. trimestre | 4o. trimestre | Total |
|---|----------------|---------------|----------------|---------------|----------------|
| Estudio histopatológico en biopsias y especímenes institucionales | 2.145 | 2.522 | 2.402 | 2.304 | 9.373 |
| Estudio histopatológico en biopsias y especímenes extrainstitucionales | 1.130 | 1.212 | 1.201 | 974 | 4.517 |
| Citologías cérvico-vaginales | 603 | 534 | 703 | 720 | 2.560 |
| Citologías en líquidos corporales y aspirados con aguja fina (ACAF) | 1.042 | 1.033 | 1.107 | 1.248 | 4.430 |
| Marcadores de inmunohistoquímica | 6.782 | 7.163 | 7.935 | 8.123 | 30.003 |
| Estudio de coloración histoquímica | 460 | 536 | 518 | 337 | 1.851 |
| Histoquímica con coloración de rutina (HE) | 14.477 | 20.240 | 19.080 | 18.164 | 71.961 |
| Inmunofenotipos por citometría de flujo | 405 | 452 | 512 | 512 | 1.881 |
| Pruebas en morfología hematológica (lectura de frotis de sangre periférica y mielogramas) | 325 | 342 | 381 | 350 | 1.398 |
| Estudio de coloración histoquímica en morfología hematológica | 34 | 47 | 27 | 28 | 136 |
| Total | 27.403 | 34.081 | 33.866 | 32.760 | 128.110 |

Fuente: Grupo de Patología, INC.

Infecciones asociadas a la atención en salud

Las infecciones asociadas a la atención en salud recopilan la información anual sobre aquellas infecciones adquiridas por el paciente, mientras recibe tratamiento para alguna condición médica o quirúrgica después del ingreso y durante la estancia hospitalaria.





85 Años
1934 - 2019
Por el control
del cáncer

Tabla 49. Índice global de infecciones asociadas a la atención en salud, INC, Colombia, 2016

| Mes | Total IAAS* | Egresos | Índice global (%) |
|--------------|-------------|--------------|-------------------|
| Enero | 56 | 740 | 7,6 |
| Febrero | 54 | 478 | 11,3 |
| Marzo | 53 | 498 | 10,6 |
| Abril | 48 | 500 | 9,6 |
| Mayo | 51 | 508 | 10,0 |
| Junio | 48 | 458 | 10,5 |
| Julio | 49 | 518 | 9,5 |
| Agosto | 67 | 480 | 14,0 |
| Septiembre | 59 | 479 | 12,3 |
| Octubre | 49 | 474 | 10,3 |
| Noviembre | 36 | 499 | 7,2 |
| Diciembre | 42 | 493 | 8,5 |
| Total | 612 | 6.125 | 10,0 |

*IAAS: Infecciones asociadas a la atención en salud

Fuente: Comité de Infecciones Asociadas a la Atención en Salud, INC.

Tabla 50. Tasa global de infecciones asociadas a la atención en salud, INC, Colombia, 2016

| Mes | Total IAAS* | Días estancia hospitalaria | Tasa IAAS ** |
|--------------|-------------|----------------------------|--------------|
| Enero | 56 | 6.356 | 8,8 |
| Febrero | 54 | 5.036 | 10,7 |
| Marzo | 53 | 5.294 | 10,0 |
| Abril | 48 | 5.321 | 9,0 |
| Mayo | 51 | 5.415 | 9,4 |
| Junio | 48 | 5.148 | 9,3 |
| Julio | 49 | 5.689 | 8,6 |
| Agosto | 67 | 4.763 | 14,1 |
| Septiembre | 59 | 5.455 | 10,8 |
| Octubre | 49 | 5.657 | 8,7 |
| Noviembre | 36 | 5.732 | 6,3 |
| Diciembre | 42 | 6.665 | 6,3 |
| Total | 612 | 66.531 | 9,2 |

*IAAS: Infecciones asociadas a la atención en salud

** Por mil días estancia hospitalaria

Fuente: Comité de Infecciones Asociadas a la Atención en Salud, INC.

Tabla 51. Infecciones asociadas a la atención en salud por mes, según especialidad médica, INC, Colombia, 2016

| Especialidad médica | Enero | | Febrero | | Marzo | | Abril | | Mayo | | Junio | | Julio | | Agosto | | Septiembre | | Octubre | | Noviembre | | Diciembre | | Total | |
|--------------------------------|-----------|------------|-----------|------------|-----------|------------|-----------|------------|-----------|------------|-----------|------------|-----------|------------|-----------|------------|------------|------------|-----------|------------|-----------|------------|-----------|------------|------------|------------|
| | n | % | n | % | n | % | n | % | n | % | n | % | n | % | n | % | n | % | n | % | n | % | n | % | n | % |
| Cirugía cabeza y cuello | 0 | 0,0 | 1 | 1,9 | 4 | 3,8 | 4 | 6,4 | 2 | 3,9 | 3 | 6,3 | 3 | 6,1 | 1 | 1,5 | 2 | 3,4 | 1 | 2,0 | 0 | 0,0 | 3 | 7,1 | 21 | 3,4 |
| Cirugía de tórax | 1 | 1,8 | 5 | 9,3 | 1 | 1,9 | 1 | 2,1 | 0 | 0,0 | 2 | 4,2 | 1 | 2,0 | 3 | 4,5 | 0 | 0,0 | 1 | 2,0 | 0 | 0,0 | 2 | 4,8 | 16 | 2,6 |
| Cirugía pediátrica | 0 | 0,0 | 0 | 0,0 | 0 | 0,0 | 2 | 4,3 | 2 | 3,9 | 0 | 0,0 | 3 | 6,1 | 0 | 0,0 | 2 | 3,4 | 0 | 0,0 | 0 | 0,0 | 1 | 2,4 | 10 | 1,6 |
| Cirugía plástica | 4 | 7,1 | 1 | 1,9 | 4 | 7,5 | 3 | 6,4 | 5 | 9,8 | 2 | 4,2 | 4 | 8,2 | 6 | 9,0 | 1 | 1,7 | 3 | 6,1 | 1 | 2,8 | 1 | 2,4 | 35 | 5,7 |
| Cirugía seno y tejidos blandos | 6 | 10,7 | 7 | 13,0 | 3 | 5,7 | 7 | 14,9 | 8 | 15,7 | 4 | 8,3 | 7 | 14,3 | 11 | 16,4 | 11 | 18,6 | 8 | 16,3 | 5 | 13,9 | 8 | 19,0 | 85 | 13,9 |
| Cuidados paliativos | 2 | 3,6 | 1 | 1,9 | 3 | 5,7 | 1 | 2,1 | 1 | 2,0 | 1 | 2,1 | 1 | 2,0 | 1 | 1,5 | 4 | 6,8 | 0 | 0,0 | 1 | 2,8 | 0 | 0,0 | 16 | 2,6 |
| Gastroenterología | 10 | 17,9 | 9 | 16,7 | 6 | 11,3 | 6 | 12,8 | 6 | 11,8 | 4 | 8,3 | 6 | 12,2 | 10 | 14,9 | 9 | 15,3 | 11 | 22,4 | 5 | 13,9 | 11 | 26,2 | 93 | 15,2 |
| Ginecología | 1 | 1,8 | 4 | 7,4 | 0 | 0,0 | 0 | 0,0 | 2 | 3,9 | 1 | 2,1 | 2 | 4,1 | 1 | 1,5 | 2 | 3,4 | 1 | 2,0 | 2 | 5,6 | 1 | 2,4 | 19 | 3,1 |
| Hematología | 12 | 21,4 | 10 | 18,5 | 13 | 24,5 | 6 | 12,8 | 6 | 11,8 | 9 | 18,8 | 4 | 8,2 | 10 | 14,9 | 8 | 13,6 | 6 | 12,2 | 8 | 22,2 | 5 | 11,9 | 97 | 15,8 |
| Medicina interna | 4 | 7,1 | 2 | 3,7 | 3 | 5,7 | 2 | 4,3 | 5 | 9,8 | 4 | 8,3 | 7 | 14,3 | 7 | 10,4 | 4 | 6,8 | 6 | 12,2 | 1 | 2,8 | 0 | 0,0 | 45 | 7,4 |
| Neurocirugía | 0 | 0,0 | 0 | 0,0 | 1 | 1,9 | 1 | 2,1 | 0 | 0,0 | 0 | 0,0 | 1 | 2,0 | 1 | 1,5 | 3 | 5,1 | 0 | 0,0 | 1 | 2,8 | 1 | 2,4 | 9 | 1,5 |
| Oncología | 0 | 0,0 | 0 | 0,0 | 1 | 1,9 | 2 | 4,3 | 1 | 2,0 | 1 | 2,1 | 0 | 0,0 | 2 | 3,0 | 0 | 0,0 | 1 | 2,0 | 0 | 0,0 | 0 | 0,0 | 8 | 1,3 |
| Oncopediatría | 7 | 12,5 | 7 | 13,0 | 8 | 15,1 | 9 | 19,1 | 5 | 9,8 | 6 | 12,5 | 4 | 8,2 | 3 | 4,5 | 1 | 1,7 | 4 | 8,2 | 6 | 16,7 | 0 | 0,0 | 60 | 9,8 |
| Ortopedia | 1 | 1,8 | 1 | 1,9 | 1 | 1,9 | 0 | 0,0 | 0 | 0,0 | 1 | 2,1 | 0 | 0,0 | 1 | 1,5 | 5 | 8,5 | 1 | 2,0 | 2 | 5,6 | 0 | 0,0 | 13 | 2,1 |
| Transplante de médula ósea | 1 | 1,8 | 1 | 1,9 | 0 | 0,0 | 0 | 0,0 | 1 | 2,0 | 1 | 2,1 | 0 | 0,0 | 1 | 1,5 | 1 | 1,7 | 0 | 0,0 | 2 | 5,6 | 1 | 2,4 | 9 | 1,5 |
| UCI-Adulto | 5 | 8,9 | 4 | 7,4 | 5 | 9,4 | 3 | 6,4 | 4 | 7,8 | 5 | 10,4 | 2 | 4,1 | 2 | 3,0 | 3 | 5,1 | 3 | 6,1 | 2 | 5,6 | 6 | 14,3 | 44 | 7,2 |
| UCI-Pediátrica | 1 | 1,8 | 0 | 0,0 | 0 | 0,0 | 0 | 0,0 | 0 | 0,0 | 3 | 6,3 | 0 | 0,0 | 4 | 6,0 | 0 | 0,0 | 0 | 0,0 | 0 | 0,0 | 0 | 0,0 | 8 | 1,3 |
| Urología | 1 | 1,8 | 1 | 1,9 | 2 | 3,8 | 1 | 2,1 | 3 | 5,9 | 1 | 2,1 | 4 | 8,2 | 3 | 4,5 | 3 | 5,1 | 3 | 6,1 | 0 | 0,0 | 2 | 4,8 | 24 | 3,9 |
| Total | 56 | 100 | 54 | 100 | 53 | 100 | 47 | 100 | 51 | 100 | 48 | 100 | 49 | 100 | 67 | 100 | 59 | 100 | 49 | 100 | 36 | 100 | 42 | 100 | 612 | 100 |

* Oftalmología sin información

Fuente: Comité de infecciones asociadas a la atención en salud, INC..

Tabla 52. Infecciones asociadas a la atención en salud por mes, según tipo de infección, INC, Colombia, 2016

| Especialidad médica | Enero | | Febrero | | Marzo | | Abril | | Mayo | | Junio | | Julio | | Agosto | | Septiembre | | Octubre | | Noviembre | | Diciembre | | Total | | | |
|--|-----------|------------|-----------|------------|-----------|------------|-----------|------------|-----------|------------|-----------|------------|-----------|------------|-----------|------------|------------|------------|-----------|------------|-----------|------------|-----------|------------|------------|------------|------------|------------|
| | n | % | n | % | n | % | n | % | n | % | n | % | n | % | n | % | n | % | n | % | n | % | n | % | n | % | | |
| Infección sintomática del tracto urinario asociado a catéter urinario | 2 | 3,6 | 2 | 3,7 | 3 | 5,7 | 4 | 8,3 | 1 | 2,0 | 1 | 2,1 | 9 | 18,4 | 5 | 7,5 | 6 | 10,2 | 5 | 10,2 | 2 | 5,6 | 1 | 2,4 | 4 | 4,1 | 6,7 | |
| Infección sintomática del tracto urinario no asociado a catéter urinario | 9 | 16,1 | 9 | 16,7 | 6 | 11,3 | 9 | 18,8 | 7 | 13,7 | 8 | 16,7 | 5 | 10,2 | 9 | 13,4 | 5 | 8,5 | 6 | 12,2 | 4 | 11,1 | 2 | 4,8 | 7 | 7,9 | 12,9 | |
| Infección del torrente sanguíneo confirmada por laboratorio | 8 | 14,3 | 7 | 13,0 | 9 | 17,0 | 0 | 0,0 | 6 | 11,8 | 3 | 6,3 | 4 | 8,2 | 8 | 11,9 | 8 | 13,6 | 5 | 10,2 | 5 | 13,9 | 7 | 16,7 | 7 | 7,0 | 11,4 | |
| Infección del torrente sanguíneo asociada a catéter central | 4 | 7,1 | 1 | 1,9 | 5 | 9,4 | 5 | 10,4 | 0 | 0,0 | 3 | 6,3 | 0 | 0,0 | 2 | 3,0 | 4 | 6,8 | 1 | 2,0 | 4 | 11,1 | 2 | 4,8 | 3 | 3,1 | 5,1 | |
| Neumonía definida clínicamente | 11 | 19,6 | 6 | 11,1 | 13 | 24,5 | 3 | 6,3 | 9 | 17,6 | 10 | 20,8 | 6 | 12,2 | 11 | 16,4 | 5 | 8,5 | 3 | 6,1 | 5 | 13,9 | 5 | 11,9 | 5 | 8,7 | 14,2 | |
| Neumonía asociada a ventilador | 1 | 1,8 | 1 | 1,9 | 2 | 3,8 | 0 | 0,0 | 0 | 0,0 | 1 | 2,1 | 2 | 4,1 | 0 | 0,0 | 0 | 0,0 | 0 | 0,0 | 0 | 0,0 | 1 | 2,4 | 1 | 1,3 | 1,3 | |
| Infecciones de pulmón que excluye neumonía | 0 | 0,0 | 0 | 0,0 | 0 | 0,0 | 0 | 0,0 | 0 | 0,0 | 0 | 0,0 | 0 | 0,0 | 1 | 1,5 | 0 | 0,0 | 0 | 0,0 | 0 | 0,0 | 0 | 0,0 | 0 | 0,0 | 1 | 0,2 |
| Traqueobronquitis | 1 | 1,8 | 0 | 0,0 | 0 | 0,0 | 0 | 0,0 | 0 | 0,0 | 2 | 4,2 | 0 | 0,0 | 0 | 0,0 | 0 | 0,0 | 0 | 0,0 | 1 | 2,8 | 2 | 4,8 | 6 | 6 | 1,0 | |
| Infecciones de piel y tejidos blandos | 3 | 5,4 | 1 | 1,9 | 0 | 0,0 | 1 | 2,1 | 0 | 0,0 | 1 | 2,1 | 0 | 0,0 | 2 | 3,0 | 0 | 0,0 | 1 | 2,0 | 1 | 2,8 | 1 | 2,4 | 1 | 1,1 | 1,8 | |
| Infecciones úlceras por decúbito | 0 | 0,0 | 0 | 0,0 | 1 | 1,9 | 0 | 0,0 | 0 | 0,0 | 0 | 0,0 | 0 | 0,0 | 0 | 0,0 | 0 | 0,0 | 0 | 0,0 | 0 | 0,0 | 0 | 0,0 | 0 | 0,0 | 1 | 0,2 |
| Infección de sitio quirúrgico superficial | 6 | 10,7 | 11 | 20,4 | 2 | 3,8 | 10 | 20,8 | 8 | 15,7 | 3 | 6,3 | 10 | 20,4 | 12 | 17,9 | 8 | 13,6 | 9 | 18,4 | 1 | 2,8 | 3 | 7,1 | 3 | 8,3 | 13,6 | |
| Infección de sitio quirúrgico profunda | 1 | 1,8 | 4 | 7,4 | 7 | 13,2 | 7 | 14,6 | 7 | 13,7 | 8 | 16,7 | 5 | 10,2 | 4 | 6,0 | 12 | 20,3 | 7 | 14,3 | 7 | 19,4 | 4 | 9,5 | 4 | 7,3 | 11,9 | |
| Infección de sitio quirúrgico órgano-espacio | 7 | 12,5 | 8 | 14,8 | 4 | 7,5 | 4 | 8,3 | 7 | 13,7 | 5 | 10,4 | 7 | 14,3 | 9 | 13,4 | 7 | 11,9 | 6 | 12,2 | 5 | 13,9 | 10 | 23,8 | 7 | 7,9 | 12,9 | |
| Sinusitis | 0 | 0,0 | 0 | 0,0 | 0 | 0,0 | 0 | 0,0 | 0 | 0,0 | 0 | 0,0 | 0 | 0,0 | 0 | 0,0 | 0 | 0,0 | 0 | 0,0 | 0 | 0,0 | 1 | 2,4 | 1 | 1 | 0,2 | |
| Infección intraabdominal | 1 | 1,8 | 0 | 0,0 | 0 | 0,0 | 1 | 2,1 | 0 | 0,0 | 0 | 0,0 | 0 | 0,0 | 0 | 0,0 | 0 | 0,0 | 0 | 0,0 | 0 | 0,0 | 1 | 2,4 | 3 | 3 | 0,5 | |
| Flebitis | 2 | 3,6 | 4 | 7,4 | 1 | 1,9 | 4 | 8,3 | 6 | 11,8 | 3 | 6,3 | 1 | 2,0 | 4 | 6,0 | 3 | 5,1 | 6 | 12,2 | 1 | 2,8 | 2 | 4,8 | 3 | 3,7 | 6,0 | |
| Otras | 0 | 0,0 | 0 | 0,0 | 0 | 0,0 | 0 | 0,0 | 0 | 0,0 | 0 | 0,0 | 0 | 0,0 | 0 | 0,0 | 1 | 1,7 | 0 | 0,0 | 0 | 0,0 | 0 | 0,0 | 1 | 1 | 0,2 | |
| Total | 56 | 100 | 54 | 100 | 53 | 100 | 48 | 100 | 51 | 100 | 48 | 100 | 49 | 100 | 67 | 100 | 59 | 100 | 49 | 100 | 36 | 100 | 42 | 100 | 612 | 100 | 612 | 100 |

Fuente: Comité de infecciones asociadas a la atención en salud, INC.

Tabla 53. Índice de mortalidad por infecciones asociadas a la atención en salud por mes, INC, Colombia, 2016

| Mes | Total muertes por IAAS* | Total IAAS* | Índice de mortalidad (%) |
|--------------|-------------------------|-------------|--------------------------|
| Enero | 0 | 56 | 0,0 |
| Febrero | 2 | 54 | 3,7 |
| Marzo | 0 | 53 | 0,0 |
| Abril | 0 | 48 | 0,0 |
| Mayo | 2 | 51 | 3,9 |
| Junio | 1 | 48 | 4,1 |
| Julio | 2 | 49 | 1,5 |
| Agosto | 1 | 67 | 3,4 |
| Septiembre | 2 | 59 | 2,0 |
| Octubre | 1 | 49 | 2,8 |
| Noviembre | 1 | 36 | 2,8 |
| Diciembre | 2 | 42 | 4,8 |
| Total | 14 | 612 | 2,3 |

*IAAS: Infecciones asociadas a la atención en salud

Fuente: Comité de Infecciones Asociadas al Cuidado de la Salud, INC.

Tabla 54. Índice de infecciones asociadas a la atención en salud por especialidad médica, INC, Colombia, 2016

| Especialidad médica | Total IAAS* | Total egresos | Índice IAAS *(%) |
|--------------------------------|-------------|---------------|------------------|
| Cirugía cabeza y cuello | 21 | 424 | 5,0 |
| Cirugía de tórax | 16 | 208 | 7,7 |
| Cirugía pediátrica | 10 | 72 | 13,9 |
| Cirugía plástica | 35 | 163 | 21,5 |
| Cirugía seno y tejidos blandos | 85 | 361 | 23,5 |
| Cuidados paliativos | 16 | 146 | 11,0 |
| Gastroenterología | 93 | 755 | 12,3 |
| Ginecología | 19 | 323 | 5,9 |
| Hematología | 97 | 855 | 11,3 |
| Medicina interna | 45 | 357 | 12,6 |
| Neurocirugía | 9 | 73 | 12,3 |
| Oncología | 8 | 201 | 4,0 |
| Oncopediatría | 60 | 763 | 7,9 |
| Ortopedia | 13 | 171 | 7,6 |
| Transplante de médula ósea | 9 | 121 | 7,4 |
| UCI-Adulto | 44 | 547 | 8,0 |
| UCI-Pediátrica | 8 | 225 | 3,6 |
| Urología | 24 | 360 | 6,7 |
| Total | 612 | 6.125 | 10,0 |

*IAAS: Infecciones asociadas a la atención en salud

Fuente: Comité de Infecciones Asociadas al Cuidado de la Salud, INC.

Tabla 55. Infecciones asociadas a la atención en salud por tipo de muestra, según microorganismo aislado, INC, Colombia, 2016

| Microorganismo aislado* | Aislamientos | | Orina | Sangre | Líquido abdominal | Secreción traqueal |
|---|--------------|------------|--------------|--------------|-------------------|--------------------|
| | n | (%) | | | | |
| <i>Acinetobacter baumannii</i> | 21 | 0,5 | 7 | 3 | 0 | 1 |
| <i>Candida albicans</i> | 174 | 4,6 | 64 | 30 | 5 | 27 |
| <i>Candida glabrata</i> | 21 | 0,5 | 9 | 2 | 0 | 0 |
| <i>Candida krusei</i> | 7 | 0,2 | 1 | 2 | 1 | 2 |
| <i>Candida parapsilopsis</i> | 42 | 1,1 | 5 | 16 | 0 | 0 |
| <i>Candida tropicalis</i> | 46 | 1,2 | 20 | 12 | 0 | 3 |
| <i>Citrobacter freundii</i> | 69 | 1,8 | 46 | 15 | 0 | 0 |
| <i>Enterobacter cloacae</i> | 90 | 2,4 | 49 | 15 | 1 | 4 |
| <i>Enterococcus faecalis</i> | 154 | 4,0 | 129 | 10 | 0 | 1 |
| <i>Enterococcus faecium</i> | 97 | 2,5 | 21 | 25 | 8 | 2 |
| <i>Escherichia coli</i> | 1.230 | 32,2 | 631 | 188 | 16 | 15 |
| <i>Escherichia coli BLEE</i> | 277 | 7,2 | 166 | 72 | 2 | 2 |
| <i>Klebsiella pneumoniae ss. pneumonia</i> | 457 | 12,0 | 165 | 120 | 5 | 20 |
| <i>Klebsiella pneumoniae ss. pneumonia BLEE</i> | 96 | 2,5 | 55 | 26 | 0 | 4 |
| <i>Morganella morganii ss. morganii</i> | 91 | 2,4 | 76 | 8 | 1 | 0 |
| <i>Proteus mirabilis</i> | 195 | 5,1 | 137 | 25 | 0 | 2 |
| <i>Pseudomonas aeruginosa</i> | 253 | 6,6 | 133 | 69 | 2 | 12 |
| <i>Serratia marcescens</i> | 80 | 2,1 | 44 | 14 | 0 | 3 |
| <i>Staphylococcus aureus</i> | 212 | 5,5 | 21 | 116 | 1 | 12 |
| <i>Staphylococcus epidermidis</i> | 105 | 2,7 | 2 | 79 | 1 | 1 |
| <i>Stenotrophomonas maltophi</i> | 47 | 1,2 | 12 | 24 | 0 | 6 |
| Otros | 59 | 1,5 | 151 | 241 | 65 | 4 |
| Total | 3.823 | 100 | 1.944 | 1.112 | 108 | 121 |

Microorganismos aislados más importantes del total de aislamientos INC 2015
 Fuente: Laboratorio Clínico, Área de Microbiología, INC.

Tabla 56. Patrón de susceptibilidad de los principales bacilos Gram negativos aislados en infecciones asociadas a la atención en salud, INC, Colombia, 2016

| Antibiótico | Microorganismo y porcentaje de susceptibilidad de acuerdo con el número de aislamientos | | | | | |
|-------------------|---|------------------------------|----------------------------|--------------------------|-------------------------------|-----------------------------|
| | <i>Escherichia coli</i> | <i>Klebsiella pneumoniae</i> | <i>Serratia maecescens</i> | <i>Proteus mirabilis</i> | <i>Pseudomonas aeruginosa</i> | <i>Enterobacter cloacae</i> |
| | n (%) | n (%) | n (%) | n (%) | n (%) | n (%) |
| Ampicilina | 1230 (26,8) | N/A | 80 (1,7) | 195 (78,9) | 253 (2,0) | 52 (23,1) |
| Aztreonam | 1230 (73,7) | 457 (59,1) | 80 (0,0) | 195 (95,3) | 162 (54,3) | 90 (75,3) |
| Cefepime | 1230 (73,5) | 457 (57,3) | 80 (82,1) | 195 (97,4) | 253 (73,0) | 90 (89,9) |
| Cefoxitina | 765 (70,1) | 262 (56,5) | 59 (15,3) | 116 (95,7) | 253 (4,9) | 57 (12,3) |
| Ceftazidima | 1230 (73,6) | 457 (57,5) | 80 (87,2) | 195 (96,9) | 253 (73,3) | 90 (81,1) |
| Ceftriaxona | 1230 (73,3) | 457 (56,8) | 80 (75,9) | 195 (96,9) | 253 (1,2) | 90 (70,0) |
| Cefuroxima | 765 (68,4) | 244 (57,4) | 59 (0,0) | 113 (91,2) | 158 (3,8) | 52 (42,3) |
| Ertapenem | 1230 (99,2) | 457 (57,6) | 80 (91,0) | 195 (100) | 253 (0,0) | 90 (94,1) |
| Gentamicina | 1230 (81,7) | 457 (72,9) | 80 (86,2) | 195 (91,3) | 253 (76,5) | 90 (88,9) |
| Imipenem | 765 (99,3) | 263 (82,9) | 80 (93,2) | 195 (100) | 253 (72,6) | 90 (98,2) |
| Meropenem | 1230 (99,7) | 457 (78,5) | 80 (95,0) | 195 (100) | 253 (72,0) | 90 (94,4) |
| Piperacilina/Tazo | 1230 (87,8) | 457 (55,2) | 80 (96,4) | 195 (99,5) | 253 (70,9) | 90 (83,1) |
| Trimetropin/sulfa | 1230 (46,1) | 457 (62,0) | 80 (97,5) | 195 (74,7) | 253 (28,1) | 90 (78,8) |
| ESBL | 1230 (77,3) | 457 (78,3) | N/A | N/A | N/A | N/A |

n: número de cepas del microorganismo probadas al antibiótico

%: porcentaje de susceptibilidad

N/A: ausencia de mecanismo de resistencia en este tipo de microorganismo

Fuente: Laboratorio Clínico, Área de Microbiología, INC,

Tabla 57. Patrón de susceptibilidad de los principales cocos Gram positivos aislados en infecciones asociadas a la atención en salud, INC, Colombia, 2016

| Antibiótico | Microorganismo y porcentaje de susceptibilidad de acuerdo con el número de aislamientos | | | |
|-------------------------|---|-----------------------------------|------------------------------|-----------------------------|
| | <i>Staphylococcus aureus</i> | <i>Staphylococcus epidermidis</i> | <i>Enterococcus faecalis</i> | <i>Enterococcus faecium</i> |
| | n (%) | n (%) | n (%) | n (%) |
| Ampicilina | 12,4 | N/A | 98,7 | 6,2 |
| Clindamicina | 95,3 | 58,6 | N/A | N/A |
| Eritromicina | 82,5 | 21,0 | 21,6 | 2,1 |
| Gentamicina altas dosis | N/A | N/A | 83,8 | 95,7 |
| Oxacilina | 76,6 | 20,0 | N/A | N/A |
| Linezolid | 100,0 | 96,2 | 98,1 | 91,7 |
| Vancomicina | 100,0 | 100,0 | 100,0 | 19,8 |

n: número de cepas del microorganismo probadas al antibiótico

%: porcentaje de susceptibilidad

N/A: este antibiótico no está indicado para el tipo de microorganismo aislado

Fuente: Laboratorio Clínico, Área de Microbiología, INC.

Proyectos institucionales de investigación

Los proyectos institucionales de investigación presentan la información anual sobre los proyectos aprobados, en curso y terminados, o no realizados por viabilidad financiera.





85 Años
1934 - 2019
Por el control
del cáncer

Tabla 58. Proyectos institucionales de investigación aprobados, en curso o terminados durante el año 2016, según línea de investigación, INC, 2016

| Línea | No. Proyectos | Nombre del proyecto | Investigador principal y contacto | Estado |
|---|---|--|--|----------|
| Diagnóstico y tratamiento del cáncer en Colombia | 73 | Comparación de las técnicas de espectroscopia de resonancia magnética (ERM) e imagen espectroscópica de resonancia magnética (IERM) en el diagnóstico de tumores cerebrales humanos | Pablo Moreno Acosta pmoreno@cancer.gov.co | Aprobado |
| | | Cierre temprano versus tardío de ileostomía derivativa en paciente postoperatorio de resección anterior baja por cáncer de recto | Maria Eugenia Manrique mmanriquea@cancer.gov.co | Aprobado |
| | | Factores pronósticos para la supervivencia global y libre de enfermedad en pacientes con diagnóstico de cáncer gástrico llevados a cirugía con intención curativa tratados con quimioterapia y radioterapia conformacional 3DCRT adyuvante | Martha Isabel Cotes mcotes@cancer.gov.co | Aprobado |
| | | Complicaciones del uso de prótesis pilóricas en pacientes con obstrucción maligna | Ricardo Oliveros Wilches roliveros@cancer.gov.co | Aprobado |
| | | Frecuencia de aspergilosis invasora en pacientes con neoplasia hematológica formulados con voriconazol en el Instituto Nacional de Cancerología ESE de enero de 2013 a diciembre de 2015 | Sonia Isabel Cuervo scuervo@cancer.gov.co | Aprobado |
| | | Concordancia diagnóstica de la evaluación por telemedicina vs. el examen clínico presencial de lesiones tumorales de piel en pacientes de dermatología oncológica del Instituto Nacional de Cancerología | Álvaro Enrique Acosta Madiedo de Hart aacosta@cancer.gov.co | En curso |
| | | Análisis de mortalidad y supervivencia de los niños con leucemia mieloide aguda en el Instituto Nacional de Cancerología | Amaranto Suárez Mattos asuarez@cancer.gov.co | En curso |
| | | Descripción de la intensidad de dosis relativa de la quimioterapia neoadyuvante en pacientes mayores de 65 años con cáncer de mama en el Instituto Nacional de Cancerología de 2013 a 2015 | Jesús Oswaldo Sánchez jsanchez@cancer.gov.co | En curso |
| | | Factores asociados con carcinomatosis peritoneal en pacientes con cáncer gástrico llevados a laparoscopia de estadificación | Raúl Eduardo Pinilla Morales rpinillam@cancer.gov.co | En curso |
| | | Caracterización de la respuesta al tratamiento quirúrgico de pacientes intervenidos con cirugía mínimamente invasiva en el Instituto Nacional de Cancerología por cáncer del tracto digestivo superior | Ricardo Oliveros Wilches roliveros@cancer.gov.co | En curso |
| Eficacia de la terapia con radionúclidos 177-Lu-DOTA 0, Tyr 3 octretotate para tumores neuroendocrinos de bajo grado metastásicos inoperables | Carmen Amelia de los Reyes creyes@cancer.gov.co" | En curso | | |

(continúa)

Tabla 58. Proyectos institucionales de investigación aprobados, en curso o terminados durante el año 2016, según línea de investigación, INC, 2016

| Línea | No. Proyectos | Nombre del proyecto | Investigador principal y contacto | Estado |
|-------|---------------|---|--|----------|
| | | Seguridad y efectividad de sorafenib en pacientes con cáncer avanzado de tiroides: un estudio clínico fase II | Luis Felipe Fierro lferrom@cancer.gov.co | En curso |
| | | Perfil de expresión de micro-RNAs (miRNAs) en suero, plasma y tejido en pacientes con cáncer colorectal | María Carolina Sanabria csanabria@cancer.gov.co | En curso |
| | | Farmacocinética de meropenem, cefepime y cefoperazona/sulbactam en pacientes con neoplasias hematológicas y neutropenia febril post-quimioterapia en el Instituto Nacional de Cancerología, Empresa Social del Estado, Bogotá | Sonia Isabel Cuervo scuervo@cancer.gov.co | En curso |
| | | Farmacocinética de un producto de vancomicina en pacientes con neoplasias hematológicas y neutropenia febril post-quimioterapia en el Instituto Nacional de Cancerología, Empresa Social del Estado, Bogotá | Sonia Isabel Cuervo scuervo@cancer.gov.co | En curso |
| | | Características clínicas e histopatológicas de pacientes con cáncer de próstata llevados a resección transuretral de próstata desobstructiva en el Instituto Nacional de Cancerología | Rodolfo Varela Ramírez rvarela@cancer.gov.co | En curso |
| | | Utilidad del software para la delimitación del volumen biológico tumoral en imágenes de PET/CT con FDG de pacientes pediátricos con linfoma | Martha Isabel Cotes mcotes@cancer.gov.co | En curso |
| | | Resultados clínicos del tratamiento del dermatofibrosarcoma protuberans con cirugía micrográfica de Mohs en parafina | Álvaro Enrique Acosta Madiedo de Hart aacosta@cancer.gov.co | En curso |
| | | Manejo del dolor en pacientes con dolor oncológico a nivel pélvico, perineal del Instituto Nacional de Cancerología mediante neurolisis de ganglio impar: serie de casos | Carlos Hernán Rodríguez pallios@yahoo.com" | En curso |
| | | Descripción de la respuesta clínica de los pacientes con melanoma maligno localmente avanzado o metastásico con mutaciones del gen BRAFV600E que reciben vemurafenib en el Instituto Nacional de Cancerología | Jesús Oswaldo Sánchez jsanchez@cancer.gov.co | En curso |
| | | Caracterización clínica y quirúrgica de pacientes con tumores estromales gastrointestinales del estómago (GIST) en el Instituto Nacional de Cancerología | Ricardo Oliveros Wilches roliveros@cancer.gov.co | En curso |
| | | Quimioterapia concomitante a radioterapia vs. radioterapia para cáncer de cuello uterino estadio IIIB | Rosalba Ospino rospino@cancer.gov.co | En curso |
| | | Curva de aprendizaje en la técnica de ganglio centinela en estadios tempranos de cáncer de cérvix en el Instituto Nacional de Cancerología, Bogotá, Colombia | Jesús Antonio Acosta Peñaloza jacosta@cancer.gov.co | En curso |

(continúa)

Tabla 58. Proyectos institucionales de investigación aprobados, en curso o terminados durante el año 2016, según línea de investigación, INC, 2016

| Línea | No. Proyectos | Nombre del proyecto | Investigador principal y contacto | Estado |
|-------|---------------|---|---|----------|
| | | Pronóstico de los pacientes con tumores neuroendocrinos de intestino delgado tratados en el Instituto Nacional de Cancerología | Luis Felipe Fierro lfierrom@cancer.gov.co | En curso |
| | | Descripción de las alteraciones electrolíticas de los pacientes con choque séptico que ingresan a la Unidad de Cuidados Intensivos Pediátrica del Instituto Nacional de Cancerología durante el periodo de octubre de 2011 a Julio 2014 | Javier Alfonso Godoy Cordobés jagodoy@cancer.gov.co | En curso |
| | | Neutropenia febril: implicaciones de la demora en el inicio de antibióticos | Amaranto Suárez Mattos asuarez@cancer.gov.co | En curso |
| | | Diseño y validación de un sistema de información clínica para el seguimiento de la calidad en el proceso de atención de pacientes con leucemias agudas: PILACSI v1.0 | Leonardo José Enciso lenciso@cancer.gov.co | En curso |
| | | "Descripción de una cohorte de pacientes con cáncer, que ingresan a la unidad de cuidado intensivo pediátrico del Instituto Nacional de Cancerología entre el período 2011-2013, con diagnóstico de sepsis severa/ choque séptico | Javier Alfonso Godoy Cordobés jagodoy@cancer.gov.co | En curso |
| | | Respuesta clínica en pacientes con tumores de mama post-mastectomía tratadas con radioterapia conformacional y de intensidad modulada | Luis Felipe Torres Silva ftorres@cancer.gov.co | En curso |
| | | Prevalencia de tuberculosis latente en una muestra de pacientes oncológicos de un hospital universitario de Bogotá mediante la realización de prueba de quantiferon durante el 2015 | Plutarco García Herreros Ochoa pgarcia@cancer.gov.co | En curso |
| | | Concordancia entre la citología urinaria por micción espontánea y la citología instrumentada en comparación con la patología para la detección de cáncer vesical | Rodolfo Varela Ramírez rvarela@cancer.gov.co | En curso |
| | | Evaluación de la eficacia del tratamiento a mujeres con lesiones preneoplásicas y neoplásicas de cuello uterino en el marco del programa estrategia ver y tratar en Colombia, 2011-2012 | Devi Nereida Puerto Jiménez dnpuerto@cancer.gov.co | En curso |
| | | Estado nutricional subjetivo y atención nutricional en pacientes con cáncer | José Alexander Carreño jcarreno@cancer.gov.co | En curso |
| | | Experiencia en el tratamiento del carcinoma basocelular localmente avanzado o metastásico con vismodegib en el Instituto Nacional de Cancerología entre los años 2014 y 2015 | Fernando Contreras Mejía fcontreras@cancer.gov.co | En curso |
| | | Quimioterapia neoadyuvante basada en el esquema ciclofosfamida, doxorubicina en pacientes con cáncer de mama localmente avanzado | Jesús Oswaldo Sánchez jsanchez@cancer.gov.co | En curso |

(continúa)

Tabla 58. Proyectos institucionales de investigación aprobados, en curso o terminados durante el año 2016, según línea de investigación, INC, 2016

| Línea | No. Proyectos | Nombre del proyecto | Investigador principal y contacto | Estado |
|-------|---------------|---|--|----------|
| | | Determinantes de mortalidad de los niños con cáncer y neutropenia febril | Amaranto Suárez Mattos asuarez@cancer.gov.co | En curso |
| | | Utilización de aloinjertos óseos en pacientes con patología tumoral ósea. Experiencia en el Instituto Nacional de Cancerología | Camilo Soto Montoya csoto@cydbank.org | En curso |
| | | Tumor de células gigantes en el Instituto Nacional de Cancerología | Camilo Soto Montoya csoto@cydbank.org | En curso |
| | | Quimioterapia neoadyuvante en pacientes con cáncer de mama localmente avanzado basada en el esquema ciclofosfamida, doxorubicina, taxanos con y sin trastuzumab, de acuerdo a la sobreexpresión de HER 2 en el Instituto Nacional de Cancerología, Bogotá, Colombia | Jesús Oswaldo Sánchez jsanchez@cancer.gov.co | En curso |
| | | Experiencia en la inserción de prótesis autoexpandibles esofágicas en pacientes adultos con tumores malignos del tracto digestivo en el Instituto Nacional de Cancerología por el servicio de cirugía gastrointestinal y endoscopia digestiva | Ricardo Oliveros Wilches roliveros@cancer.gov.co | En curso |
| | | Experiencia en cirugía colorectal videoasistida en el Instituto Nacional de Cancerología ESE | Nadim Abisambra Lemus nlemus@cancer.gov.co | En curso |
| | | Traducción y adaptación transcultural del Pathway de Liverpool para el cuidado del paciente con inminencia de fallecimiento en el Instituto Nacional de Cancerología | Carlos Hernán Rodríguez pallios@yahoo.com | En curso |
| | | Manejo reconstructivo en pacientes con cáncer de mama avanzado o recurrente | Alejandro Duque Restrepo aduque@cancer.gov.co | En curso |
| | | Experiencia del Instituto Nacional de Cancerología en la respuesta a primera y segunda línea de tratamiento en tumores neuroendocrinos pobremente diferenciados (PDNEC) en adultos mayores de 18 años atendidos entre 2008 y 2012 | Jesús Oswaldo Sánchez jsanchez@cancer.gov.co | En curso |
| | | Cirugía laparoscópica en el tratamiento del cáncer de cuello uterino y del cáncer endometrial. Experiencia del INC (2008-2013) | Jesús Antonio Acosta Peñaloza jacosta@cancer.gov.co | En curso |
| | | Manejo quirúrgico del carcinoma basocelular, aplicación del protocolo de manejo del Instituto Nacional de Cancerología por cirugía plástica | Álvaro Enrique Acosta Madiedo de Hart aacosta@cancer.gov.co | En curso |
| | | Caracterización de masas adrenales llevadas a cirugía en el Instituto Nacional de Cancerología | Rodolfo Varela Ramírez rvarela@cancer.gov.co | En curso |

(continúa)

Tabla 58. Proyectos institucionales de investigación aprobados, en curso o terminados durante el año 2016, según línea de investigación, INC, 2016

| Línea | No. Proyectos | Nombre del proyecto | Investigador principal y contacto | Estado |
|-------|---------------|---|--|----------|
| | | Prevalencia del consumo de opioides en pacientes hospitalizados con cáncer | Bilena Margarita Molina Arteta bmolinaa@cancer.gov.co | En curso |
| | | Cáncer y embarazo: experiencia en el Instituto Nacional de Cancerología en el periodo 2007-2013 | Jesús Antonio Acosta Peñaloza jacosta@cancer.gov.co | En curso |
| | | Experiencia en el tratamiento con radioterapia conformacional y de intensidad modulada en pacientes con tumores de cabeza y cuello en el Instituto Nacional de Cancerología | Martha Isabel Cotes mcotes@cancer.gov.co | En curso |
| | | Ganglio centinela en carcinoma escamocelular de tronco y extremidades: experiencia en el Instituto Nacional de Cancerología en el periodo 2002-2012 | Sandra Díaz Casas sdiazcasas@yahoo.es | En curso |
| | | Supervivencia global y supervivencia libre de recaída bioquímica en pacientes con cáncer de próstata tratados con radioterapia de intensidad modulada (IMRT) en el Instituto Nacional de Cancerología | Rosalba Ospino rospino@cancer.gov.co | En curso |
| | | Factores pronósticos de recaída en los pacientes con diagnóstico de cáncer papilar de tiroides de riesgo intermedio tratados con I-131 en el Instituto Nacional de Cancerología en el periodo 2009-2014 | Augusto Enrique Llamas allamas@cancer.gov.co | En curso |
| | | Uso de cetuximab en pacientes con cáncer colon y recto metastásico: Experiencia en el Instituto Nacional de Cancerología en el periodo 2008 a 2014 | Carlos Eduardo Bonilla cbonilla@cancer.gov.co | En curso |
| | | Concordancia entre características del espécimen quirúrgico, los hallazgos ecoendoscópicos (EUS) y de punción guiada (EUS-FNA) en pacientes con lesiones pancreáticas | María Eugenia Manrique Acevedo mmanriquea@cancer.gov.co | En curso |
| | | La atención del cáncer en Colombia: representaciones e imaginarios médicos | Carolina Wiesner Ceballos cwiesner@cancer.gov.co | En curso |
| | | Expresión de IGF-IR, GAPDH, HIF-1alfa, Survivina, ERCC1, GLUT1 y polimorfismo ARG72PRO de p53 como biomarcadores de respuesta a tratamiento en pacientes con cáncer escamocelular invasivo de cuello uterino | Pablo Moreno Acosta pmoreno@cancer.gov.co | Cerrado |
| | | Cuál es la efectividad terapéutica del Renio 188-HEDP para el manejo del dolor óseo de origen metastásico en pacientes con carcinoma de próstata | Augusto Enrique Llamas allamas@cancer.gov.co | Cerrado |
| | | Evaluación del tratamiento OEPA/COPE en niños y adolescentes con linfoma de Hodking en la clínica de oncología pediátrica del Instituto Nacional de Cancerología de Colombia (INC) en el período 2000 al 2005 | Jhon Edgar Lopera Marín jlopera@cancer.com.co | Cerrado |
| | | Perfusión aislada de extremidades con melfalan en pacientes con tumores de tejidos blandos y pie: una serie de casos del Instituto Nacional de Cancerología | Carlos Alfonso Duarte cduarte@cancer.gov.c | Cerrado |

(continúa)

Tabla 58. Proyectos institucionales de investigación aprobados, en curso o terminados durante el año 2016, según línea de investigación, INC, 2016

| Línea | No. Proyectos | Nombre del proyecto | Investigador principal y contacto | Estado |
|-------|---------------|--|--|---------|
| | | Evaluación de la experiencia del servicio de seno y tumores de tejidos blandos del Instituto Nacional de Cancerología en cirugía conservadora en cáncer de mama entre los años 1998 a 2007 | Javier Ángel Aristizábal jaangel@cancer.gov.co | Cerrado |
| | | Evaluación de la experiencia en mastectomías realizadas por el servicio de seno y tumores de tejidos blandos del Instituto Nacional de Cancerología en el período 1998-2008 | Javier Ángel Aristizábal jaangel@cancer.gov.co | Cerrado |
| | | Interferon como tratamiento adyuvante en pacientes con melanoma de tronco y extremidades. Experiencia de 10 años INC, desde enero de 1999 hasta diciembre de 2009 | Mauricio García Mora maurogmora@hotmail.com | Cerrado |
| | | Melanoma acral lentiginoso en el Instituto Nacional de Cancerología: Una serie de casos 2003-2006 | Carlos Alfonso Duarte cduarte@cancer.gov.co | Cerrado |
| | | Supervivencia de los pacientes menores de 21 años con osteosarcoma en el INC | Amaranto Suárez Mattos asuarez@cancer.gov.co | Cerrado |
| | | Niveles de procalcitonina y su relación con la documentación de bacteremia en pacientes adultos con neoplasias hematológicas y neutropenia febril de alto riesgo inducida por quimioterapia en el Instituto Nacional de Cancerología | Sonia Isabel Cuervo scuervo@cancer.gov.co | Cerrado |
| | | Características clínicas de los pacientes con linfoma de células del manto atendidos en el Instituto Nacional de Cancerología en el período 2007-2011 | Martha Leticia Suárez Acuña msuarez@cancer.gov.co | Cerrado |
| | | Cáncer de mama en hombres en el Instituto Nacional de Cancerología. Revisión de casos en un periodo de 15 años | Javier Ángel Aristizábal jaangel@cancer.gov.co | Cerrado |
| | | Marcadores tumorales para cáncer de ovario en pacientes con masas anexiales atendidas en el Instituto Nacional de Cancerología ESE: Estudio observacional prospectivo | Lina María Trujillo Sánchez ltrujillo@cancer.gov.co | Cerrado |
| | | Caracterización y curso clínico de los pacientes con diagnóstico de carcinoma basocelular de bajo riesgo, llevados a criocirugía en el Instituto Nacional de Cancerología entre enero de 2009 y enero de 2013 | Álvaro Enrique Acosta Madiedo de Hart aacosta@cancer.gov.co | Cerrado |
| | | Evaluación de tratamiento ACHOP 2006 para leucemia linfoblástica aguda en niños del instituto Nacional de Cancerología | Amaranto Suárez Mattos asuarez@cancer.gov.co | Cerrado |
| | | Caracterización del manejo del tumor Phyllodes: Experiencia en el Instituto Nacional de Cancerología en el período 1995 a 2008 | Javier Ángel Aristizábal jaangel@cancer.gov.co | Cerrado |

(continúa)

Tabla 58. Proyectos institucionales de investigación aprobados, en curso o terminados durante el año 2016, según línea de investigación, INC, 2016

| Línea | No. Proyectos | Nombre del proyecto | Investigador principal y contacto | Estado |
|---|---|---|--|----------|
| Aspectos psicosociales y calidad de vida | 18 | Validación de la escala QLQMY20 para evaluar la calidad de vida de pacientes con mieloma múltiple en Colombia". | Ricardo Sánchez Pedraza rsanchezpe@unal.edu.co | Aprobado |
| | | Validación de la escala FACITPAL en Colombia | Bilena Margarita Molina Arteta bmolinaa@cancer.gov.co | Aprobado |
| | | Duelo del cuidador familiar del niño con cáncer | Marcela Cárdenas Fandiño mcardenasf@cancer.gov.co | Aprobado |
| | | Correlación entre la calidad de vida de enfermos con cáncer, la competencia para el cuidado y sobrecarga percibida por su cuidador familiar principal en el servicio de consulta externa de cuidados paliativos del Instituto Nacional de Cancerología | Ana Milena Antolínez Portillo mantolinezp@gmail.com | Aprobado |
| | | Calidad de vida relacionada con el tratamiento quirúrgico en pacientes con cánceres de mama, cuello uterino, próstata, estómago, colon y recto | Ricardo Sánchez Pedraza rsanchezpe@unal.edu.co | En curso |
| | | Validación de las escalas Quality of Life Index- Cancer Scale (CQOLC), sobrecarga del cuidado de Zarit, Life Orientation Test (LOT-R), escala de autoestima de Rosenberg y escala general de autoeficacia, para medición de calidad de vida, sobrecarga, optimismo, autoestima y autoeficacia en cuidadores de pacientes con cáncer en Colombia | Ricardo Sánchez Pedraza rsanchezpe@unal.edu.co | En curso |
| | | Validación de la escala PedsQL para evaluar la calidad de vida de los pacientes pediátricos con cáncer en Colombia | Ricardo Sánchez Pedraza rsanchezpe@unal.edu.co | En curso |
| | | Validación de la escala FACT-Leu y FACT-LYM para la evaluación de la calidad de vida en pacientes con leucemias y linfomas en Colombia | Ricardo Sánchez Pedraza rsanchezpe@unal.edu.co | En curso |
| | | La experiencia de la diada paciente-cuidador familiar en cuidados paliativos durante el proceso de transición hospital- hogar | Rocío López Rangel rlopezr@cancer.gov.co | En curso |
| | | Evaluación de la eficacia y efectividad de una intervención espiritualidad en pacientes con cáncer de mama: ensayo clínico aleatorizado | Ricardo Sánchez Pedraza rsanchezpe@unal.edu.co | En curso |
| | | Validación para la utilización en Colombia de la escala FACIT-E para evaluación de la calidad de vida de los pacientes con cáncer de esófago | Ricardo Sánchez Pedraza rsanchezpe@unal.edu.co | En curso |
| Factores asociados con la participación de las personas en ensayos clínicos en cáncer | José Alexander Carreño jcarreno@cancer.gov.co | En curso | | |
| Grupo de síntomas en adultos con cáncer sometidos a gastrectomía como tratamiento de un cáncer gástrico | Narda Patricia Santamaría Mosquera nsantamaría@cancer.gov.co | En curso | | |

Tabla 58. Proyectos institucionales de investigación aprobados, en curso o terminados durante el año 2016, según línea de investigación, INC, 2016

| Línea | No. Proyectos | Nombre del proyecto | Investigador principal y contacto | Estado |
|--|---------------|--|---|----------|
| | | Validación de una escala de medición sobre el impacto psicosocial de las pruebas de VPH en el marco de la tamización primaria para cáncer de cuello uterino | Carolina Wiesner Ceballos cwiesner@cancer.gov.co | En curso |
| | | Percepciones frente al cáncer, en pacientes, familiares y cuidadores atendidos en el Centro de Educación del Instituto Nacional de Cancerología ESE, en la ciudad de Bogotá 2014 | Devi Nereida Puerto Jiménez dnpuerto@cancer.gov.co | En curso |
| | | Adherencia al protocolo de manejo institucional de las pacientes con cáncer de mama, atendidas en el Instituto Nacional de Cancerología | Nory Rodríguez Cruz nrodriguez@cancer.gov.co | En curso |
| | | Percepción del soporte social en cuidadores de niños en situación de enfermedad oncológica por lugar de pernoctación en una institución de salud de Bogotá, Colombia | Rocío López Rangel rlopezr@cancer.gov.co | En curso |
| | | Efectos de la intervención "cuidando nuestros niños en el hogar" en cuidadores de niños con cáncer | Rocío López Rangel rlopezr@cancer.gov.co | Cerrado |
| Biología del cáncer en la población colombiana (mecanismos moleculares y celulares) | 20 | Determinación del papel de los genes ID1, ID3 e IGJ en el desarrollo de leucemia linfoblástica aguda a nivel in vitro e in vivo y su relevancia como marcador pronóstico y de progresión de la enfermedad en población | Alba Lucía Cómbita acombita@cancer.gov.co | En curso |
| | | Polimorfismos en el islole de patogenicidad CAG de Helicobacter Pylori y su asociación con lesiones preneoplásicas y cáncer gástrico | María Mercedes Bravo mbravo@cancer.gov.co | En curso |
| | | Identificación de potenciales biomarcadores de respuesta a la terapia neoadyuvante en pacientes con cáncer de mama mediante análisis de perfiles de expresión génica | Josefa Antonia Rodríguez García jrodriguez@cancer.gov.co | En curso |
| | | Análisis molecular de la multifocalidad en cáncer de próstata como proceso de entendimiento del modelo de carcinogénesis de la enfermedad y de su origen clonal | María Carolina Sanabría csanabria@cancer.gov.co | En curso |
| | | Estado de metilación del promotor del gen rassf1a y su asociación con la mutación braf-v600e en pacientes con carcinomas papilares de tiroides, Instituto Nacional de Cancerología | Natalia Olaya Morales nolaya@cancer.gov.co | En curso |
| | | Caracterización de perfiles de expresión génica en los grupos de riesgo de recurrencia bioquímica en adenocarcinoma de próstata | Alba Lucía Cómbita acombita@cancer.gov.co | En curso |
| | | Estado de metilación del gen hTERT y expresión de la proteína hTERT en tejidos incluidos en parafina de pacientes con cáncer cervical invasivo | Pablo Moreno Acosta pmoreno@cancer.gov.co | En curso |

(continúa)

Tabla 58. Proyectos institucionales de investigación aprobados, en curso o terminados durante el año 2016, según línea de investigación, INC, 2016

| Línea | No. Proyectos | Nombre del proyecto | Investigador principal y contacto | Estado |
|-------|---------------|---|---|----------|
| | | Restablecimiento de la expresión de moléculas de HLA-I en células tumorales y su aplicación en el tratamiento del cáncer | Josefa Antonia Rodríguez García jrodriguez@cancer.gov.co | En curso |
| | | Perfil molecular de cáncer de mama en dos poblaciones colombianas | Juan Carlos Mejía Henao cmejia@cancer.gov.co | En curso |
| | | Exploración de potenciales biomarcadores predictores del pronóstico en pacientes con diagnóstico de cáncer de próstata (CaP) | María Carolina Sanabria csanabria@cancer.gov.co | En curso |
| | | Estudio de regulación de la expresión genética en el gen KRAS en cáncer de colon en Colombia | Martha Lucía Serrano López mlserrano@cancer.gov.co | En curso |
| | | Perfiles de expresión de MicroRNAs en pacientes con LLA tratados con Hiper-CVAD: Efecto de las tasas de respuestas y supervivencias | Leonardo José Enciso lenciso@cancer.gov.co | En curso |
| | | Identificación de perfil de expresión génica asociados a la respuesta clínica al tratamiento quimioterapéutico de inducción en pacientes con Leucemia Aguda (LA) | Alba Lucía Cómbita acombita@cancer.gov.co | En curso |
| | | Identificación de los cambios en los perfiles de metilación de DNA y de expresión génica, asociados a la respuesta clínica al tratamiento quimioterapéutico en pacientes pediátricos con Leucemia Aguda | Alba Lucía Cómbita acombita@cancer.gov.co | En curso |
| | | Presencia de la mutación v600e Braf en carcinomas papilares de tiroides de pacientes atendidos en el INC y descripción de las características clínicas e histopatológicas | Natalia Olaya Morales nolaya@cancer.gov.co | En curso |
| | | Estudio exploratorio sobre la utilidad de los bloques de parafina del archivo de patología del Instituto Nacional de Cancerología | Juan Carlos Mejía Henao cmejia@cancer.gov.co | En curso |
| | | Análisis exploratorio de posibles biomarcadores séricos en cáncer de colon | María Carolina Sanabria csanabria@cancer.gov.co | En curso |
| | | Validación de la medición de VPH en orina como técnica para el monitoreo de vacuna | Alba Lucía Cómbita acombita@cancer.gov.co | En curso |
| | | Cuantificación de citoquinas y su relación con la documentación de bacteremia en pacientes con leucemia aguda y neutropenia febril post quimioterapia, en el Instituto Nacional de Cancerología ESE | Sonia Isabel Cuervo scuervo@cancer.gov.co | En curso |
| | | Niveles de expresión del gen E 2 de virus de papiloma humano tipo 16 y su asociación con progresión neoplásica cervical | María Mercedes Bravo mbravo@cancer.gov.co | Cerrado |

(continúa)

Tabla 58. Proyectos institucionales de investigación aprobados, en curso o terminados durante el año 2016, según línea de investigación, INC, 2016

| Línea | No. Proyectos | Nombre del proyecto | Investigador principal y contacto | Estado |
|--|---------------|---|---|----------|
| Control del riesgo y detección precoz del cáncer en Colombia | 10 | Dosis de radiación en mamografía: Estudio para la determinación de niveles de referencia de dosis glandular media en pacientes de Bogotá, D. C. | Devi Nereida Puerto Jiménez dnpuerto@cancer.gov.co | En curso |
| | | Validación de la matriz de exposición laboral (MEL-AGECAR-10) en el marco del estudio para la prevención del cáncer ocupacional en Colombia | Maria Teresa Espinosa materespino@yahoo.com | En curso |
| | | Implementación de un programa alternativo para la tamización de cáncer de cuello uterino en Colombia basado en la prueba ADN-VPH, a realizarse en un área demostrativa de 2009-2015 | Carolina Wiesner Ceballos cwiesner@cancer.gov.co | En curso |
| | | Clasificación de mujeres positivas a las pruebas de ADN-VPH para su adecuada remisión a diagnóstico colposcópico | Carolina Wiesner Ceballos cwiesner@cancer.gov.co | En curso |
| | | Estudio multicéntrico para el tamizaje de cáncer de cuello uterino y triage con las pruebas del virus del papiloma humano | Carolina Wiesner Ceballos cwiesner@cancer.gov.co | En curso |
| | | Análisis de las competencias en prevención y detección temprana del cáncer ofertada por los programas de formación de pregrado en medicina y enfermería de la ciudad de Bogotá | Devi Nereida Puerto Jiménez dnpuerto@cancer.gov.co | En curso |
| | | Determinación de niveles de referencia de dosis en radiografía dental y estimación de la dosis absorbida por pacientes en la glándula tiroides: estudio transversal en 10 ciudades de Colombia | Devi Nereida Puerto Jiménez dnpuerto@cancer.gov.co | En curso |
| | | Evaluación de costo-efectividad de la vacunación contra el Virus de Papiloma Humano (VPH) en un programa de tamización en cáncer de cuello uterino para Colombia | Óscar Gamboa ogamboa@cancer.gov | En curso |
| | | Estudio costo-efectividad de las estrategias de tamización y prevención primaria para el cáncer colorectal en Colombia | Óscar Gamboa ogamboa@cancer.gov | En curso |
| | | Prevalencia de pepsinógeno I, PGI/PGII, anticuerpos IgG antiCagA de Helicobacter pylori, polimorfismos IL1B-511 e IL1-RN en poblaciones asintomática de riesgo alto y bajo para cáncer gástrico en Colombia | Teresa Martínez Palomino tmartinez@cancer.gov.co | Cerrado |
| Epidemiología descriptiva y sistemas de vigilancia del cáncer | 15 | Caracterización de los pacientes adultos con diagnóstico de leucemia mieloide aguda en el Instituto Nacional de Cancerología de Colombia. | Leonardo José Enciso lenciso@cancer.gov.co | Aprobado |

(continúa)

Tabla 58. Proyectos institucionales de investigación aprobados, en curso o terminados durante el año 2016, según línea de investigación, INC, 2016

| Línea | No. Proyectos | Nombre del proyecto | Investigador principal y contacto | Estado |
|-------|---------------|--|---|----------|
| | | Morbimortalidad asociada a derivación percutánea de la vía urinaria en pacientes con obstrucción ureteral maligna por cáncer de cuello uterino en el Instituto Nacional de Cancerología | Lilia Andrea Rojas Garzón lrojas@cancer.gov.co | En curso |
| | | Incidencia proyectada de cánceres prevenibles bajo variaciones hipotéticas en la prevalencia de sus factores de riesgo, Colombia, 2016-2050 | Gianna Henríquez ghenriquez@cancer.gov.co | En curso |
| | | Caracterización de la respuesta al tratamiento en pacientes con mieloma múltiple sintomático no candidatos a trasplante manejados con esquemas basados y no basados en bortezomib, en primera o segunda línea de tratamiento | Leonardo José Enciso lenciso@cancer.gov.co | En curso |
| | | Reproductividad y validez de cuestionarios de frecuencia de consumo para estudiar la relación dieta-cáncer en Colombia | Martha Patricia Rojas mprojas@cancer.gov.co | En curso |
| | | Cambios en el estado nutricional posteriores al tratamiento quimioterapéutico ambulatorio en pacientes con cánceres colorrectal de mama o de próstata | Ricardo Sánchez Pedraza rsanchezpe@unal.edu.co | En curso |
| | | Evaluación prospectiva de la herramienta Palliative Prognostic Score en pacientes con enfermedad oncológica avanzada en manejo con cuidado paliativo de soporte | Fabian Alexander Leal Arenas fleal@cancer.gov.co | En curso |
| | | Predictores de mortalidad y complicaciones en pacientes que reciben tratamiento quirúrgico para el manejo de enfermedad ósea metastásica en extremidades | Camilo Soto Montoya csoto@cydbank.org | En curso |
| | | Caracterización de las pacientes intervenidas por adenocarcinoma de endometrio en el Instituto Nacional de Cancerología entre 2007-2012 | Mauricio González Castañeda mgonzalezc@cancer.gov.co | En curso |
| | | Características epidemiológicas y clínicas de los pacientes con cáncer de próstata resistente a la castración, en progresión de la enfermedad después del tratamiento de primera línea con terapia hormonal en el Instituto Nacional de Cancerología, entre los años 2007 a 2010 | Ricardo Elías Brujes Maya rbruges@cancer.gov.co | En curso |
| | | Características clínicas, supervivencia y recurrencia en pacientes con tumores neuroendocrinos de páncreas en el Instituto Nacional de Cancerología durante el periodo 2004 a 2012 | Jesús Oswaldo Sánchez jsanchez@cancer.gov.co | En curso |
| | | Caracterización clínica e imagenológica de pacientes con glioblastoma o astrocitoma anaplásico atendidos en el Instituto Nacional de Cancerología durante el periodo enero 2007 – diciembre 2013 | Alfonso Javier Lozano Castillo alozano@cancer.gov.co | En curso |

| Línea | No. Proyectos | Nombre del proyecto | Investigador principal y contacto | Estado |
|--|---------------|--|---|----------|
| | | Características clínicas y quirúrgicas de las pacientes con cáncer de mama a quienes se les realizó reconstrucción mamaria en el Instituto Nacional de Cancerología durante 1 de enero de 2012 y 31 de diciembre de 2013 | Rafael Mestre rafael.mestre@yahoo.com | En curso |
| | | Tendencia de la incidencia de piel en el INC Colombia 1996-2009 | Alvaro Enrique Acosta Madiedo de hart aacosta@cancer.gov.co | Cerrado |
| | | Prevalencia de neoplasias definitorias en pacientes adultos con VIH –SIDA del Instituto Nacional de Cancerología de Colombia en un período de 5 años | Sonia Isabel Cuervo scuervo@cancer.gov.co | Cerrado |
| Etiología del cáncer en Colombia | 1 | Factores de riesgo para melanoma lentiginoso acral: un estudio de casos y controles en población colombiana | Carlos Alfonso Duarte cduarte@cancer.gov.co | En curso |
| Servicios oncológicos en Colombia | 5 | Efecto de una intervención educativa para el cuidado en casa de personas con cáncer sometidas a cirugía y sus cuidadores familiares | María de la Luz Laguna Acosta mlaguna@cancer.gov.co | Aprobado |
| | | Suficiencia de servicios oncológicos en el departamento del Valle del Cauca, Colombia 2017 | Edgar Augusto Salguero Peña esalguero@cancer.gov.co | Aprobado |
| | | Percepción del cuidado de enfermería dado a los pacientes con cáncer | Narda Patricia Santamaría Mosquera nsantamaria@cancer.gov.co | En curso |
| | | Características clínicas y abordaje del cáncer de próstata en instituciones prestadoras de servicios oncológicos en tres ciudades colombianas | Rodolfo Varela Ramírez rvarela@cancer.gov.co | En curso |
| | | Caracterización y acceso al tratamiento de cáncer mediante acción de tutela y autorización por Comité Técnico Científico, año 2009 | Edgar Augusto Salguero Peña esalguero@cancer.gov.co | Cerrado |
| Actuar político y cáncer | 1 | Construcción de una estrategia de comunicación y movilización social para el control del cáncer y sus factores de riesgo en población indígena | Lida Janneth Salazar Fajardo lsalazar@cancer.gov.co | Aprobado |
| Total | 143 | | | |

Fuente: Monitoría de Investigaciones, INC.

Publicaciones científicas

Las publicaciones científicas en el INC recopilan los artículos publicados en un año, tanto en revistas internacionales como nacionales, libros y capítulos de libro, además de la participación en publicaciones extra institucionales



Sistema de información sobre la exposición ocupacional a agentes carcinógenos para Colombia

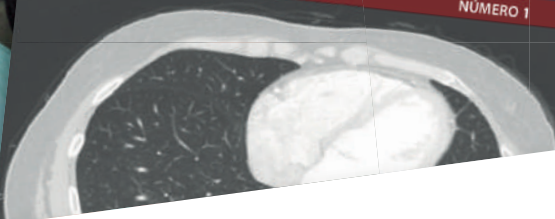
Sistema de información sobre la exposición ocupacional a agentes carcinógenos para Colombia

Revista Colombiana de Cancerología

VOLUMEN 20

NÚMERO 1

Enero-Marzo / 2016



Editorial

El conocimiento como herramienta para la toma de decisiones clínicas
Lina María Trujillo-Sánchez

genotipos del virus del
en mujeres de Bogotá
tología cervicouterina
Morales, Oscar Bustago,
Mercedes Bravo
técnicas de citocentrifugado
para procesamiento
ológicas: verificación
Pabellón Abello,
Rodríguez-Ureaga

la detección
mento y seguimiento
niños, niñas

Leda Martínez,
Participantes GPC
tes — ALIANZA

mento de
tas
Corcuera
stación

Colombia
Poblac

Sistema de Vigilancia Epidemiológica del Cáncer Ocupacional SIVECAO



Sistema de Vigilancia Epidemiológica del Cáncer Ocupacional SIVECAO

Por la prevención del cáncer ocupacional en Colombia

Tabla 59. Publicaciones científicas por grupo, según filiación del primer autor, INC, Colombia, 2016

| Publicaciones internacionales | | | |
|---|---|---|---|
| Nombre de la publicación | Medio de publicación | Autores | Grupo / Servicio |
| High expression of ID family and IGJ genes signature as predictor of low induction treatment response and worst survival in adult Hispanic patients with B-acute lymphoblastic leukemia | Journal of Experimental and Clinical Cancer Research 2016;35(64):12-14 | Cruz-Rodriguez N ^{1,2,3} , Combita AL ^{4,5,6} , Enciso LJ ^{1,7} , Quijano SM ^{8,9} , Pinzon PL ² , Lozano OC ² , Castillo JS ¹ , Li L ¹⁰ , Bareño J ¹¹ , Cardozo C ⁹ , Solano J ⁹ , Herrera MV ⁹ , Cudris J ⁹ , Zabaleta J ^{12,13} | 1 Programa de Investigación e Innovación en Leucemias Agudas y Crónicas (PILAC), Instituto Nacional de Cancerología, Bogotá, Colombia |
| | | | 2 Group of Investigation in Biology of Cancer, Instituto Nacional de Cancerología, Bogotá, Colombia |
| | | | 3 Programa de Doctorado en Ciencias Biológicas, Pontificia Universidad Javeriana, Bogotá, Colombia |
| | | | 4 Programa de Investigación e Innovación en Leucemias Agudas y Crónicas (PILAC), Instituto Nacional de Cancerología, Bogotá, Colombia |
| | | | 5 Group of Investigation in Biology of Cancer, Instituto Nacional de Cancerología, Colombia |
| | | | 6 Facultad de Medicina, Universidad Nacional de Colombia, Bogotá, Colombia |
| | | | 7 Grupo de Hemato Oncología, Instituto Nacional de Cancerología, Bogotá, Colombia |
| | | | 8 Grupo de Inmunobiología y Biología Celular, Departamento de Microbiología, Facultad de Ciencias, Pontificia Universidad Javeriana, Bogotá, Colombia |
| | | | 9 Hospital Universitario San Ignacio, Bogotá, Colombia |
| | | | 10 Stanley S. Scott Cancer Center, Center Louisiana State University Health Sciences Center Louisiana Cancer Research Center, New Orleans, LA, USA |
| | | | 11 Universidad CES, Medellín, Colombia |
| | | | 12 Stanley S. Scott Cancer Center, Center Louisiana State University Health Sciences Center Louisiana Cancer Research Center, New Orleans, LA, USA |
| | | | 13 Department of Pediatrics, Center Louisiana State University Health Sciences Center Louisiana Cancer Research Center, New Orleans, LA, USA* |
| Comparison between Urine and Cervical Samples for HPV DNA Detection and Typing in Young Women in Colombia | Cancer Prev Res 2016; 9(9):766-71 | Combita AL ^{1,2} , Gheit T ³ , Gonzalez P ⁴ , Puerto D5, Murillo RH5,6, Montoya L ⁷ , Vorsters A ⁸ , Van Keer S ⁸ , Van Damme P ⁸ , Tommasino M ³ , Hernandez-Suarez G ⁵ , Sanchez L ¹ , Herrero R ⁶ , Wiesner C ⁵ | 1 Grupo de Investigación en Biología del Cancer, Instituto Nacional de Cancerología (INC), Bogota, Colombia |
| | | | 2 Departamento de Microbiología, Facultad de Medicina, Universidad Nacional de Colombia, Bogota, Colombia |
| | | | 3 Infections and Cancer Biology Group, International Agency for Research on Cancer, Lyon, France |
| | | | 4 Proyecto Epidemiológico Guanacaste, Fundación INCIENSA, Guanacaste, Costa Rica |
| | | | 5 Grupo de Investigación en Salud Pública y Vigilancia Epidemiológica, Instituto Nacional de Cancerología (INC), Bogota, Colombia |
| | | | 6 Early Detection and Prevention Section, International Agency for Research on Cancer, Lyon, France |
| | | | 7 Unidad de Analisis, Subdirección de Investigaciones, Instituto Nacional de Cancerología (INC), Bogota, Colombia |
| | | | 8 Centre for the Evaluation of Vaccination, Vaccine and Infectious Disease Institute, University of Antwerp, Antwerpen, Belgium |
| Novel predictive biomarkers for cervical cancer prognosis | Mol Clin Oncol 2016; 5(6): 792-96 | Moreno-Acosta P ¹ , Carrillo S ¹ , Gamboa O ² , Romero-Rojas A ³ , Acosta J ⁴ , Molano M ⁵ , Balart-Serra J ⁶ , Cotes M ⁷ , Rancoule C ⁸ , Magné N ^{8,9} | 1 Research Group in Cancer Biology, Research Group in Radiobiology Clinical, Molecular and Celular, National Cancer Institute, Bogotá, Colombia |
| | | | 2 Analysis Unit, National Cancer Institute, Bogotá, Colombia |
| | | | 3 Pathological Oncology Group, National Cancer Institute, Bogotá, Colombia |
| | | | 4 Pathology Group, National University of Colombia, Bogotá, Colombia |
| | | | 5 Microbiology and Infection Diseases, The Royal Women's Hospital, Melbourne, Victoria, Australia |
| | | | 6 Radiation Oncology Department, SanPau Hospital, Barcelona, Spain |
| | | | 7 Department of Radiotherapy, National Cancer Institute, Bogotá, Colombia |
| | | | 8 Department of Radiotherapy, Lucien Neuwirth Cancer Institute, Saint Priest En Jarez, France |
| | | | 9 Laboratory of Radiobiology, EMR3738, Faculty of Medicine Lyon Sud, Pierre Bénite, France |

Tabla 59. Publicaciones científicas por grupo, según filiación del primer autor, INC, Colombia, 2016

| Nombre de la publicación | Medio de publicación | Autores | Grupo / Servicio |
|--|---|---|---|
| Association Between Type-specific HPV Infections and hTERT DNA Methylation in Patients with Invasive Cervical Cancer | Cancer Genomics and proteomics 2016;13(6): 483-91 | Molano M ^{1,2,3} , Moreno-Acosta P ^{1,2} , Morales N ¹ , Burgos M ¹ , Buitrago L ⁴ , Gamboa O ^{2,4} , Alvarez R ^{1,2} , Garland SM ^{3,5,6} , Tabrizi SN ^{3,5,6} , Steenbergen RDM ⁷ , Mejía JC ⁸ | 1 Research Group in Cancer Biology, Research Branch, National Cancer Institute, Bogotá, Colombia 2 Research Group in Radiobiology Clinical, Molecular and Cellular, National Cancer Institute, Bogotá, Colombia 3 Microbiology and Infection Diseases, The Royal Women's Hospital, Melbourne, VIC, Australia 4 Unit Group of Analysis, Research Branch, National Cancer Institute, Bogotá, Colombia 5 Murdoch Children's Research Institute, Parkville, VIC, Australia 6 Department of Obstetrics and Gynaecology, University of Melbourne, Parkville, VIC, Australia 7 Department of Pathology, VU University Medical Center, Amsterdam, the Netherlands 8 Oncological Pathology Group, National Cancer Institute, Bogotá, Colombia |
| High prevalence of luminal B breast cancer intrinsic subtype in Colombian women | Carcinogenesis 2016;37(7):669-76 | Serrano-Gomez SJ ^{1,2} , Sanabria-Salas MC ¹ , Hernández-Suarez G ¹ , García O ¹ , Silva C ¹ , Romero A ¹ , Mejía JC ¹ , Miele L ^{3,4} , Fejerman L ⁵ , Zabaleta J ^{4,6} | 1 Grupo de Investigación en Biología del Cáncer, Instituto Nacional de Cancerología, Bogotá, Colombia 2 Programa de Doctorado en Ciencias Biológicas, Pontificia Universidad Javeriana, Bogotá, Colombia 3 Department of Genetics,LSUHSC, New Orleans, LA, USA 4 Stanley S. Scott Cancer Center, LSUHSC, New Orleans, LA, USA 5 Department of Medicine, Institute of Human Genetics, University of California San Francisco, San Francisco, CA, USA 6 Department of Pediatrics, LSUHSC, New Orleans, LA, USA |
| Time trends in educational inequalities in cancer mortality in Colombia, 1998-2012 | BMJ Open 2016;6(4):e008985 | De Vries E ^{1,2} , Arroyave I ^{2,3} , Pardo C ¹ | 1 Cancer Surveillance and Epidemiology Group, National Cancer Institute, Bogotá, Colombia 2 Department of Public Health, Erasmus University Medical Center, Rotterdam, The Netherlands 3 Department of Specific Sciences in Public Health, National School of Public Health, University of Antioquia, Medellín, Colombia |
| Estimating the cost of operating cancer registries: Experience in Colombia | Cancer Epidemiol 2016;45(1):S13-S19 | De VriesE ¹ , PardoC ² , Arias N ³ , Bravo LE ⁴ , NavarroE ⁵ , UribeC ⁶ , Yepez MC ⁷ , Jurado D ⁷ , Garcí LS ⁴ , Piñeros M ⁸ , EdwardsP ⁹ , BeebeM ⁹ , Tangka F ¹⁰ , Subramanian S ⁹ | 1 Cancer Surveillance Group, Instituto Nacional de Cancerología, Bogotá, Colombia; Department of Clinical Epidemiology and Biostatistics, Pontificia Universidad Javeriana, Bogotá, Colombia 2 Cancer Surveillance Group, Instituto Nacional de Cancerología, Bogotá, Colombia 3 Manizales Cancer Registry, Universidad de Caldas, Manizales, Colombia 4 Cali Cancer Registry, Universidad del Valle, Cali, Colombia 5 Barranquilla Cancer Registry, Universidad del Norte, Barranquilla, Colombia 6 Metropolitan Area of Bucaramanga Cancer Registry, Universidad Autónoma de Bucaramanga, Floridablanca, Colombia 7 Pasto Cancer Registry, Universidad de Nariño, Pasto, Colombia 8 Cancer Surveillance Section, International Agency for Research on Cancer (IARC), Lyon, France 9 RTI International, Research Triangle Park, NC, USA 10 Centers for Disease Control and Prevention, DCPC, 4770 Buford Highway, NE, Mailstop K-76, Atlanta, GA, USA. Electronic address: fbt9@cdc.gov |

(continúa)

Tabla 59. Publicaciones científicas por grupo, según filiación del primer autor, INC, Colombia, 2016

| Nombre de la publicación | Medio de publicación | Autores | Grupo / Servicio |
|--|--|--|--|
| Melanoma acral lentiginoso (MAL): experiencia del Instituto Nacional de Cancerología de Colombia. 2003-2006 | Rev. argent. dermatol 2016;97(1):1-12 | Duarte CA ¹ López HG ² Castillo JS ³ De Haart AA ⁴ Rueda X ⁴ Flórez JP ² De Vries E ⁵ | <ol style="list-style-type: none"> 1 Grupo de Cirugía Oncológica. Instituto Nacional de Cancerología. Bogotá, DC Colombia 2 Especialistas en Entrenamiento. Grupo de Cirugía Oncológica. Instituto Nacional de Cancerología. Bogotá, DC Colombia 3 Grupo de Investigación Clínica. Instituto Nacional de Cancerología. Bogotá, DC Colombia 4 Grupo de Dermatología Oncológica. Instituto Nacional de Cancerología. Bogotá, DC Colombia 5 Directora de Investigaciones. Instituto Nacional de Cancerología. Bogotá, DC Colombia |
| Increased breast cancer screening and downstaging in Colombian women: A randomized trial of opportunistic breast-screening | Int J Cancer 2016;138(3):705-13 | Murillo RH ^{1,2} , Díaz S ¹ , Perry F ¹ , Poveda C ¹ , Piñeros M ¹ , Sánchez O ¹ , Buitrago L ¹ , Gamboa O ¹ , Lozano T ¹ , Yu H ³ , Wang CY ⁴ , Duggan C ⁴ , Thomas DB ⁴ , Anderson BO ^{4,5} | <ol style="list-style-type: none"> 1 Instituto Nacional De Cancerología De Colombia, Bogotá, Colombia 2 Prevention and Implementation Group, International Agency for Research on Cancer, Lyon, France 3 Institute of Statistics, National Tsing-Hua University, Hsin-Chu, Taiwan 4 Division of Public Health Sciences, Fred Hutchinson Cancer Research Center, Seattle, WA 5 Departments of Surgery and Global Health Medicine, University of Washington, Seattle, WA |
| The role of stereotactic ablative radiotherapy (SBRT) in the management of oligometastatic non small cell lung cancer | Lung Cancer 2016; 92(1):22-8 | Guerrero E ¹ Ahmed M ² | <ol style="list-style-type: none"> 1 Radiation Oncology Department, Instituto Nacional de Cancerología, Bogotá, Colombia 2 Academic Radiotherapy, Royal Marsden NHS Foundation Trust, Sutton, UK. Electronic address: Merina.ahmed@rmh.nhs.uk |
| Evaluación preanestésica cardiovascular en cirugía oncológica | Rev Colomb Anestesiol 2016;44(1):17-22 | Gómez-Henao PA ¹ Carreño-Dueñas JA ² | <ol style="list-style-type: none"> 1 Anestesiólogo, Servicio de Anestesiología y Reanimación, Instituto Nacional de Cancerología, Bogotá, Colombia 2 Médico Investigador, Grupo Área de Investigaciones, Instituto Nacional de Cancerología, Bogotá, Colombia |
| Randomized controlled clinical trial comparing radioguided occult lesion localization with wire-guided lesion localization to evaluate their efficacy and accuracy in the localization of nonpalpable breast lesions | Surgery 2016;159(4):1140-5 | Duarte C ¹ Bastidas F ² De los Reyes A ³ Martínez MC ³ Hurtado G ⁴ Gómez MC ⁵ Sánchez R ⁶ Manrique ^{1,2} | <ol style="list-style-type: none"> 1 Grupo de Cirugía de Seno y Tejidos Blandos, Instituto Nacional de Cancerología, Bogotá D.C., Colombia. Electronic address: duarte10.carlos@gmail.com 2 Grupo de Cirugía de Seno y Tejidos Blandos, Instituto Nacional de Cancerología, Bogotá D.C., Colombia 3 Grupo de Medicina Nuclear, Instituto Nacional de Cancerología, Bogotá D.C., Colombia 4 Grupo de Imágenes Diagnósticas, Instituto Nacional de Cancerología, Bogotá D.C., Colombia 5 Grupo de Patología, Instituto Nacional de Cancerología, Bogotá D.C., Colombia 6 Grupo de Investigación Clínica, Instituto Nacional de Cancerología, Bogotá D.C., Colombia; Facultad de Medicina Universidad Nacional de Colombia, Bogotá D.C., Colombia |

(continúa)

Tabla 59. Publicaciones científicas por grupo, según filiación del primer autor, INC, Colombia, 2016

| Nombre de la publicación | Medio de publicación | Autores | Grupo / Servicio |
|--|---|--|--|
| Pediatric Nasopharyngeal Cancer: Case Report and Review of the Literature | Cureus 2016; 8(2): e497 | González-Motta A ¹ , González G ¹ , Bermudéz Y ² , Maldonado MC ¹ , Castañeda JM ³ , López D ³ Cotes-Mestre M ¹ | 1 Department of Radiation Oncology, Instituto Nacional de Cancerología, Universidad Militar Nueva Granada, Bogota, D.C., Colombia 2 Department of Radiation Oncology, Instituto Nacional de Cancerología, Universidad Militar Nueva Granada, Bogota, D.C., Colombia 3 Clinical Research Group, Instituto Nacional de Cancerología, Bogota, D.C., Colombia |
| Relapsed High-Risk Medulloblastoma: Stable Disease after Two Years of Treatment with Somatostatin Analog - Case Report | Cureus 2016 Jan;8(1):e446 | Galvis L ¹ , Gonzalez D ² , Bonilla C ¹ | 1 Oncology, Instituto Nacional de Cancerología, Bogota, Colombia 2 Oncology, Instituto de Cancerología Las Américas, Medellín, Colombia |
| Müllerian adenocarcinoma of the uterine cervix with sarcomatous overgrowth: A case report of aggressive disease in a young patient | "International Journal of Surgery Case Reports 2016;27:155-161" | Morales DA ¹ , Medina ML ² , Trujillo LM ² , Beltrán MI ³ , Dulcey IC ³ | 1 Department of Gynecologic Oncology, National Cancer Institute of Colombia (INC), Bogotá D.C., Colombia 2 Department of Gynecologic Oncology, National Cancer Institute of Colombia (INC), Bogotá D.C., Colombia 3 Department of Pathologic Oncology, National Cancer Institute of Colombia (INC), Bogotá, Colombia |
| First non-intubated uniportal video-assisted pulmonary lobectomy in America | J Vis Surg 2016;16;2:144 | Buitrago R ¹ , Serna A ¹ , González-Rivas D ² , Beltrán R ¹ , Palacio CM ¹ , Parades P ³ , Beltrán J ⁴ | 1 Department of Thoracic Surgery, National Cancer Institute, Bogotá, Colombia 2 Department of Thoracic Surgery, Coruña University Hospital and Minimally Invasive Thoracic Surgery Unit (UCTMI), Coruña, Spain 3 Department of Anesthesiology, National Cancer Institute, Bogotá, Colombia 4 Department of Radiology, National Cancer Institute, Bogotá, Colombia |
| Cutaneous Collision Tumor Associated With Porocarcinomatous and Angiosarcomatous Components: A Potential Diagnostic Pitfall | Am J Dermatopathol 2016;38(9):e128-32 | Parra-Medina R ¹ , Melo-Uribe MA ¹ , Messa-Botero O ¹ , Morales SD ^{2,3} | 1 Department of Pathology, National Institute of Cancer, Bogotá, Colombia 2 Department of Pathology, Fundación Universitaria de Ciencias de la Salud, Bogotá, Colombia 3 Department of Pathology, Universidad de La Sabana, Chia, Colombia |

(continúa)

Tabla 59. Publicaciones científicas por grupo, según filiación del primer autor, INC, Colombia, 2016
Publicaciones nacionales

| Nombre de la publicación | Medio de publicación | Autores | Grupo / Servicio |
|---|--------------------------------------|--|--|
| Estandarización del protocolo para la detección de las fusiones TMPRSS2:ERG y de la expresión de los genes EZH2, SPINK-1 y NKX3.1 en cáncer de próstata (CaP) | Acta biol. Colomb 2016;21(3):533-542 | Segura YY ^{1,2} , Serrano ML ^{1,3} | 1 Grupo Área de Investigaciones. Instituto Nacional de Cancerología. Bogotá, Colombia 2 Departamento de Biología, Facultad de Ciencias, Universidad Nacional de Colombia. Bogotá, Colombia. Ciudad Universitaria 3 Departamento de Química, Facultad de Ciencias, Universidad Nacional de Colombia. Ciudad Universitaria, Bogotá, Colombia |
| Distribución de los genotipos del virus del papiloma humano en mujeres de Bogotá con anomalías en la citología cervicouterina | Rev Colomb Cancerol 2016;20(1):3-9 | Trujillo E ¹ , Morales N ¹ , Buitrago O ¹ , Posso H ² , Bravo MM ¹ | 1 Grupo de Investigación en Biología del Cáncer, Instituto Nacional de Cancerología, Bogotá, D. C., Colombia 2 Dirección Médica, Liga Contra el Cáncer-Bogotá, Bogotá, D. C., Colombia |
| Tumor miofibroblástico de origen ovárico: comportamiento agresivo y fatal | Rev Colomb Cancerol 2016;20(1):40-4 | Fletcher AV ¹ , Vega DI ² , Acosta JA ¹ , Suescún O ¹ , Beltrán MI ³ | 1 Departamento de Ginecología Oncológica, Instituto Nacional de Cancerología, Bogotá D. C., Colombia 2 Departamento de Ginecología y Obstetricia, Universidad Nacional de Colombia, Bogotá D. C., Colombia 3 Departamento de Patología, Instituto Nacional de Cancerología, Bogotá D. C., Colombia |
| Costos directos de la atención del cáncer de mama en Colombia | Rev Colomb Cancerol 2016;20(2):52-60 | Gamboa O ¹ , Buitrago LA ¹ , Lozano T ² , Dieleman S ¹ , Gamboa C ² , León E ^{1,2} , Gila M ² , Fuentes J ^{1,2} | 1 Vigilancia Epidemiológica, Promoción y Prevención, Subdirección General de Investigaciones, Instituto Nacional de Cancerología, Bogotá, D. C., Colombia 2 Fedesalud, Bogotá, D. C., Colombia |
| Estimación de la carga económica de las lesiones preneoplásicas y el cáncer de cuello uterino en Colombia. Implicaciones para la vacunación contra el VPH | Rev Colomb Cancerol 2016;20(2):61-72 | Gamboa O ¹ , Murillo RH ² | 1 Grupo Área Unidad de Análisis, Instituto Nacional de Cancerología de Colombia, Bogotá D. C., Colombia 2 Implementation Group, International Agency for Research on Cancer, Lyon, Francia |

Tabla 59. Publicaciones científicas por grupo, según filiación del primer autor, INC, Colombia, 2016

| Nombre de la publicación | Medio de publicación | Autores | Grupo / Servicio |
|---|--|--|---|
| Criocirugía en el manejo del carcinoma basocelular de bajo riesgo y evaluación de la recidiva tumoral | Rev Colomb Cancerol 2016;20(3):103-9 | Martínez A ¹ , Acosta A ¹ , Rueda X ¹ , López-Daza D ² | 1 Grupo Dermatología Oncológica, Instituto Nacional de Cancerología, Bogotá, D.C., Colombia 2 Grupo de Investigación Clínica, Instituto Nacional de Cancerología, Bogotá, D.C., Colombia |
| Cáncer y embarazo: Experiencia de seis años en un centro de referencia en cáncer en un país latinoamericano (2007-2013) | Rev Colomb Cancerol 2016;20(3):117-23 | Acosta J ¹ , Serrano O ^{1,2} , Trujillo L ¹ , Morales D ^{1,2} , López D ³ | 1 Grupo de Ginecología Oncológica, Instituto Nacional de Cancerología, Bogotá, D. C., Colombia 2 Posgrado de Ginecología Oncológica, Universidad Militar Nueva Granada, Bogotá, D. C., Colombia 3 Grupo de Investigación Clínica, Instituto Nacional de Cancerología, Bogotá, D. C., Colombia |
| Hiponatremia luego de uso de cisplatino: a propósito de un caso | Rev Colomb Cancerol 2016;20(3):135-40 | Alan Ovalle ^{1,2} , Diego González ^{1,3} , Carlos Bonilla ^{1,3} , Ricardo Bruges ^{1,3} , Catalina Rúa Marín ⁴ | 1 Departamento de Oncología Clínica, Instituto Nacional de Cancerología, Bogotá, D. C., Colombia 2 Facultad de Medicina, Medicina Interna, Fundación Universitaria Juan N. Corpas, Bogotá, D. C., Colombia 3 Facultad de Medicina, Oncología Clínica, Universidad del Bosque, Bogotá, D. C., Colombia 4 Facultad de Medicina, Endocrinología, Universidad de Antioquia, Medellín, Colombia |
| Productividad científica de las líneas de investigación y su contribución para el control del cáncer en Colombia | Rev Colomb Cancerol 2016;20(4):167-74 | Serrano ML ^{1,2} , Carreño JA ³ | 1 Grupo Área de Investigaciones, Instituto Nacional de Cancerología, Bogotá D. C., Colombia 2 Departamento de Química, Facultad de Ciencias, Universidad Nacional de Colombia, Bogotá D. C., Colombia 3 Grupo de Investigación Clínica, Instituto Nacional de Cancerología, Bogotá D. C., Colombia |
| Years of life lost as a measure of cancer burden in Colombia, 1997-2012 | Biomédica 2016;36:547-55 | De Vries E ^{1,2} , Meneses MX ¹ , Piñeros M ³ | 1 Subdirección de Investigaciones, Vigilancia Epidemiológica, Promoción y Prevención, Instituto Nacional de Cancerología, Bogotá, D.C., Colombia 2 Departamento de Epidemiología Clínica y Bioestadística, Pontificia Universidad Javeriana, Bogotá, D.C., Colombia 3 Section of Cancer Surveillance, International Agency for Research on Cancer, Lyon, France |
| Consentimiento informado en investigación clínica: Un proceso dinámico | Pers.bioét 2016;20(2):232-243 | Carreño-Dueñas JA ¹ | 1 Instituto Nacional de Cancerología, Colombia |

(continúa)

Tabla 59. Publicaciones científicas por grupo, según filiación del primer autor, INC, Colombia, 2016
Libros y capítulos de libro

| Nombre de la publicación | Medio de publicación | Autores | | Grupo / Servicio |
|---|--|---|--------|---|
| Sistema de Vigilancia Epidemiológica del Cáncer Ocupacional en Colombia - SIVECAO | Libro: Ministerio de Trabajo, Instituto Nacional de Cancerología; Bogotá D.C., 2016. ISBN: 978-958-8963-06-8 | Ministerio de Trabajo ¹ Instituto Nacional de Cancerología ² | 1 2 | Ministerio de Trabajo Grupo de Vigilancia Epidemiológica del Cáncer, INC |
| Sistema de información sobre la exposición ocupacional a agentes carcinógenos para Colombia CAREX – 2012, población asegurada | Libro: Ministerio de Trabajo, Instituto Nacional de Cancerología; Bogotá D.C., 2016. ISBN: 978-958-8963-05-1 | Ministerio de Trabajo ¹ Instituto Nacional de Cancerología ² | 1 2 | Ministerio de Trabajo Grupo de Vigilancia Epidemiológica del Cáncer, INC |

Participación en publicaciones extrainstitucionales

| Nombre de la publicación | Medio de publicación | Autores | | Grupo / Servicio |
|--|---|---|---------------------------------|--|
| The heritability and patterns of DNA methylation in normal human colorectum (AO) | Human Molecular Genetic 2016;25(12):2600-2611 | Rowlatt A ¹ Hernández-Suárez G ² Sanabria-Salas MC ^{3,4} Serrano ML ^{3,4} Rawlik K ¹ Hernandez-Illan E ⁵ Alenda C ⁶ Castillejo A ⁵ Soto JL ⁵ Haley CS ^{1,7} Tenesa A ^{1,7} | 1 2 3 4 5 6 7 | The Roslin Institute, The University of Edinburgh, Edinburgh, EH25 9RG, UK Grupo de Investigación Epidemiológica Grupo de Investigación en Biología del Cáncer, Instituto Nacional de Cancerología, Bogotá, Colombia Departamento de Química, Universidad Nacional de Colombia, Bogotá, Colombia Laboratorio Genética Molecular, Hospital General Universitario de Elche, 03203 Elche, Alicante, Spain Pathology, Alicante University Hospital, Alicante, Spain MRC Human Genetics Unit, MRC Institute of Genetics and Molecular Medicine, The University of Edinburgh, Edinburgh, EH4 2XU, UK |

(continúa)

Tabla 59. Publicaciones científicas por grupo, según filiación del primer autor, INC, Colombia, 2016

| Nombre de la publicación | Medio de publicación | Autores | Grupo / Servicio |
|---|---|---|--|
| Clinical manifestations of colorectal cancer patients from a large multicenter study in Colombia | Medicine (Baltimore) 2016;95(40):e4883 | Mabel Bohorquez ^{1,2} , Ruta Sahasrabudhe ¹ , Angel Criollo ^{1,2} , M ^a Carolina Sanabria-Salas ³ , Alejandro Vélez ⁴ , Jorge Mario Castro ⁵ , Juan Ricardo Marquez ^{4,6} , Gilbert Mateus ⁵ , Fernando Bolaños ⁷ , Cesar Panqueva ⁸ , Jose Ignacio Restrepo ⁴ , Juan Dario Puerta ⁶ , Raul Murillo ³ , M ^a Mercedes Bravo ³ , Gustavo Hernández ³ , Angela Rios ³ , Rodrigo Prieto ² , Ian Tomlinson ¹⁰ , Magdalena Echeverry ² , Carvajal-CarmonaLG ^{1,2,11} | 1 Genome Center and Department of Biochemistry and Molecular Medicine, School of Medicine, University of California, Davis, CA 2 Grupo de Investigación Citogenética, Filogenia y Evolución de Poblaciones, Facultades de Ciencias y de Ciencias de Salud, Universidad del Tolima, Ibagué, Colombia 3 Instituto Nacional de Cancerología, Bogotá, DC, Colombia 4 Hospital Pablo Tobón Uribe, Medellín, Colombia 5 Hospital Federico Lleras Acosta, Ibagué, Colombia 6 Clínica Las Américas, Medellín, Colombia 7 Hospital Hernando Moncaleano Perdomo, Neiva, Colombia 8 Universidad Surcolombiana, Neiva, Colombia 9 Patologos Asociados Tolima, Ibagué, Colombia 10 Wellcome Trust Centre for Human Genetics, University of Oxford, Oxford, UK 11 Fundación de Genética y Genómica, Medellín, Colombia |
| Guía de atención integral para la detección oportuna, diagnóstico, tratamiento y seguimiento de leucemia linfocítica aguda en niños, niñas y adolescentes | Rev Colomb Cancerol 2016;20(1):17-27 | Vizcaíno M ¹ , Lopera JE ² , Martínez L ³ , De los Reyes I ¹ , Linares A ⁴ | 1 Grupo de Pediatría, Centro Javeriano de Oncología, Bogotá D.C., Colombia 2 Grupo de Pediatría, Instituto Nacional de Cancerología, Bogotá D.C., Colombia 3 Grupo de Pediatría, Clínica Colsubsidio, Bogotá D.C., Colombia 4 Grupo de Pediatría, Universidad Nacional de Colombia, Bogotá D.C., Colombia |
| Ruptura espontánea de la vejiga: Reporte de un caso | Rev Colomb Cancerol 2016;20(2):92-5 | Claudia Ochoa C ^{1,2} , Villaquirán C ^{1,2} , Varela R ² | 1 Facultad de Medicina, Universidad Militar Nueva Granada, Bogotá, D. C., Colombia 2 Servicio Urología Oncológica, Instituto Nacional de Cancerología, Bogotá, D. C., Colombia |
| Desigualdades en la continuidad de la atención ambulatoria de población desplazada en Colombia, 2012-2013 | Rev. Salud Pública 2016;18(5):687-699 | Henríquez GM ^{1,2} | 1 Oficina de Promoción Social. Ministerio de Salud y Protección Social de Colombia 2 Instituto Nacional de Cancerología |

(continúa)

Tabla 59. Publicaciones científicas por grupo, según filiación del primer autor, INC, Colombia, 2016

| Nombre de la publicación | Medio de publicación | Autores | Grupo / Servicio |
|---|--|--|---|
| The burden of cutaneous melanoma and status of preventive measures in Central and South America | Cancer Epidemiology 2016;44(1): S100-S109 | De Vries E ^{1,2,3} Sierra M ¹ Piñeros M ¹ Loría D ⁴ Forman D ¹ | 1 International Agency for Research on Cancer, Section of Cancer Surveillance, Lyon, France 2 National Cancer Institute, Directorate of Research, Surveillance, Prevention and Promotion, Colombia 3 Erasmus MC University Medical Center, Department of Public Health, Rotterdam, The Netherlands 4 Argentinian Registry of Cutaneous Melanoma, Argentina |
| Costo-Efectividad del uso profiláctico del factor estimulante de colonias de granulocitos en adultos con Leucemia Linfoblástica Aguda en Colombia | Value in Health Regional Issues 2016;11:9-16 | Casadiago EG ¹ Díaz JA ² Bermúdez CD ³ Prieto V ² | 1 Centro Dermatológico Federico Lleras Acosta E.S.E., Bogotá D. C., Colombia 2 Universidad Nacional de Colombia, Bogotá D. C., Colombia 3 Instituto Nacional de Cancerología, Bogotá D. C., Colombia |
| Secular trends of HPV genotypes in invasive cervical cancer in Cali, Colombia 1950–1999 | Cancer Epidemiology 2016; 40: 173-178 | Sanchez GI ¹ Bravo LE ² Hernandez-Suarez G ³ Tous S ⁴ Alemany L ⁵ de Sanjose S ⁵ Bosch FX ⁴ Muñoz N ³ | 1 Group Infection and Cancer, School of Medicine and Corporación Académica para el Estudio de Patologías Tropicales, Universidad de Antioquia (UdeA), Medellín, Colombia 2 Registro Poblacional de Cancer de Cali, Universidad del Valle, Cali, Colombia 3 Grupo Epidemiología, Instituto Nacional de Cancerología, Bogotá, Colombia 4 IDIBELL, Institut Català d'Oncologia-Catalan Institute of Oncology, L'Hospitalet de Llobregat, Barcelona, Spain 5 IDIBELL, Institut Català d'Oncologia-Catalan Institute of Oncology, L'Hospitalet de Llobregat, Barcelona, Spain; CIBER en Epidemiología y Salud Pública (CIBERESP), Barcelona, Spain |

Tabla 59. Publicaciones científicas por grupo, según filiación del primer autor, INC, Colombia, 2016

| Nombre de la publicación | Medio de publicación | Autores | Grupo / Servicio |
|---|-------------------------------------|---|---|
| Role of Human Papillomavirus in Penile Carcinomas Worldwide | European Urology 2016;69(5):953-961 | Alemany L ¹ | 1 Institut Català d'Oncologia, Barcelona, Spain; CIBER en Epidemiologia y Salud Pública (CIBERESP), Barcelona, Spain |
| | | Cubilla A ² Halec G ³ | 2 Instituto de Investigaciones en Ciencias de la Salud-Universidad Nacional de Asunción, Asunción, Paraguay. |
| | | Kasamatsu E ² | 3 German Cancer Research Center (DKFZ), Heidelberg, Germany |
| | | Quirós B ⁴ | 4 Institut Català d'Oncologia, Barcelona, Spain |
| | | Masferrer E ⁵ | 5 Hospital del Mar, Barcelona, Spain |
| | | Tous S ⁴ | 6 Instituto Nacional de Cancerología, Bogotá, Colombia. |
| | | Lloveras B ⁵ | 7 Norfolk and Norwich University Hospital NHS Foundation Trust, Norfolk, UK |
| | | Hernández-Suarez G ⁵ | 8 Hospital Oncológico, Quito, Ecuador |
| | | Lonsdale R ⁷ | 9 Hospital General Hospitalet, Barcelona, Spain |
| | | Tinoco L ⁸ | 10 Hospital de Oncología Centro Médico Nacional Siglo XXI, IMSS Mexico, D.F, Mexico |
| | | Alejo M ⁹ | 11 The Fingerland Department of Pathology, Charles University in Prague Faculty of Medicine and University Hospital, Hradec Králové, Czech Republic |
| | | Alvarado-Cabrero I ¹⁰ | 12 DDL Diagnostic Laboratory, Rijswijk, The Netherlands |
| | | Laco J ¹¹ | 13 Hospital General Universitario de Albacete, Albacete, Spain |
| | | Guimerà N ¹² | 14 Centro de Investigación Epidemiológica en Salud Sexual y Reproductiva-CIESAR, Hospital General San Juan de Dios, Guatemala City, Guatemala |
| | | Poblet E ¹³ | 15 Laboratoire Cerba, Saint-Ouen-l'Aumône, France |
| | | Lombardi LE ¹⁴ | 16 National Cancer Center, Goyang-si Gyeonggi-do, South Korea |
| | | Bergeron C ¹⁵ | 17 Universidad Autónoma de Honduras, Tegucigalpa, Honduras |
| | | Clavero O ⁴ | 18 Instituto Portugues de Oncologia de Lisboa Francisco Gentil, Lisbon, Portugal |
| | | Shin HR ¹⁶ | 19 University of Philippines, Manila, Philippines |
| | | Ferrera A ¹⁷ | 20 Third Faculty of Medicine, Charles University and Faculty Hospital King's Vineyards, Prague, Czech Republic |
| | | Felix A ¹⁸ | 21 CHU Reims, Reims, France |
| | | Germar J ¹⁹ | 22 Medical School of University of Crete, Crete, Greece. |
| | | Mandys V ²⁰ | 23 Hospital de Tortosa Verge de la Cinta, Tarragona, Spain |
| | | Clavel C ²¹ | 24 Westmead Hospital, Westmead, Australia |
| | | Tzardi M ²² | 25 Centro de Oncología de Coimbra, Coimbra, Portugal. |
| | | Pons LE ²³ | 26 Universidad de Chile, Santiago, Chile |
| | | Wain V ²⁴ | 27 Universidad Central de Venezuela, Caracas, Venezuela. |
| | | Cruz E ²⁵ | 28 Jagiellonian University Medical College, Krakow, Poland |
| | | Molina C ²⁶ | 29 Hospital San Agustín, Asturias, Spain |
| | | Mota JD ²⁷ | 30 Eduardo Mondlane University and Maputo Central Hospital, Maputo, Mozambique |
| | | Jach R ²⁸ | 31 Instituto Potosino de Investigación Científica y Tecnológica, San Luis Potosí, Mexico |
| | | Velasco J ²⁹ | 32 Cancer Research Center, University of Hawaii, Honolulu, HI, USA; Cedars Sinai Medical Center, Los Angeles, CA, USA |
| | | Carrilho C ³⁰ | 33 National Cancer Institute of Colombia, Bogota, Colombia |
| | | López-Revilla R ³¹ | 34 Institut Català d'Oncologia, Barcelona, Spain; CIBER en Epidemiologia y Salud Pública (CIBERESP), Barcelona, Spain |
| Goodman MT ³² | | | |
| Quint WG ¹² | | | |
| Castellsagué X ⁴ | | | |
| Bravo I ⁴ | | | |
| Pawlita M ³ | | | |
| Muñoz N ³³ | | | |
| De Sanjosé S ³⁴ | | | |
| Discrimination of cirrhotic nodules, dysplastic lesions and hepatocellular carcinoma by their vibrational signature | J Transl Med 2016;14:9 | Peng C ^{1,2} | 1 Inserm, Unité 1193, 94800 Villejuif, France |
| | | Kašćáková S ^{1,2} | 2 Univ Paris-Sud, UMR-S1193, 94800 Villejuif, France |
| | | Chiappini F ^{1,2} | 3 Instituto Nacional de Cancerología, Bogota, Colombia |
| | | Olaya N ³ | 4 SOLEIL Synchrotron, 91192 Gif sur Yvette, France |
| | | Sandt C ⁴ | 5 Centre Hépatobiliaire, AP-HP Hôpital Paul Brousse, 94800 Villejuif, France |
| | | Yousef I ⁴ | 6 Service d'Anatomopathologie, AP-HP Hôpital Bicêtre, 94275 Le Kremlin-Bicêtre, France |
| | | Samuel D ^{1,2,5} | |
| Dumas P ⁴ | | | |
| Guettier C ^{1,2,6} | | | |
| Le Naour F ^{1,2} | | | |

(continúa)

Tabla 59. Publicaciones científicas por grupo, según filiación del primer autor, INC, Colombia, 2016

| Nombre de la publicación | Medio de publicación | Autores | Grupo / Servicio |
|---|---|--|---|
| Human papillomavirus detection in cervical neoplasia attributed to 12 high-risk human papillomavirus genotypes by region | Papillomavirus Research 2016;2:61-69 | Castellsagué X ¹ , Ault KA ² , Bosch FX ³ , Brown D ⁴ , Cuzick J ⁵ , Ferris DG ⁶ , Joura EA ⁷ , Garland SM ⁸ , Giuliano AR ⁹ , Hernandez-Avila M ¹⁰ , Huh W ¹¹ , Iversen OE ¹² , Kjaer SK ¹³ , Luna J ¹⁴ , Monsonogo J ¹⁵ , Muñoz N ¹⁶ , Myers E ¹⁷ , Paavonen J ¹⁸ , Pitisuttihum P ¹⁹ , Steben M ²⁰ , Wheeler CM ²¹ , Perez G ²² , Saah A ²³ , Luxembourg A ²³ , Sings HL ²³ , Velicer C ²³ | 1 Institut Catala d'Oncologia (ICO), IDIBELL, CIBERESP, L'Hospitalet de Llobregat, Catalonia, Spain |
| | | | 2 Department of Obstetrics and Gynecology, University of Kansas Medical Center, Kansas City, KS, USA |
| | | | 3 Institut Catala d'Oncologia (ICO), IDIBELL, CIBERESP, L'Hospitalet de Llobregat, Catalonia, Spain |
| | | | 4 Department of Medicine, Indiana University School of Medicine, Indianapolis IN, USA |
| | | | 5 Wolfson Institute of Preventive Medicine, Queen Mary University of London, London, United Kingdom |
| | | | 6 Department of Obstetrics and Gynecology, Georgia Regents University Cancer Center, Georgia Regents University, Augusta, GA, USA |
| | | | 7 Department of Gynecology and Obstetrics, Comprehensive Cancer Center, Medical University of Vienna, Vienna, Austria |
| | | | 8 Department of Microbiology and Infectious Diseases, The Royal Women's Hospital, Murdoch Childrens Research Institute, Department of Obstetrics and Gynecology, University of Melbourne, Australia |
| | | | 9 Moffitt Cancer Center, Tampa, FL, USA |
| | | | 10 National Institute of Public Health, Cuernavaca, Morelos, Mexico |
| | | | 11 Division of Gynecologic Oncology, University of Alabama, Birmingham, AL, USA |
| | | | 12 Institute of Clinical Medicine, University of Bergen/Haukeland University Hospital, Bergen, Norway |
| | | | 13 Danish Cancer Society Research Center, Copenhagen Denmark and Department of Gynecology, Rigshospitalet, University of Copenhagen, Denmark |
| | | | 14 Department of Obstetrics and Gynecology, Clinica Colsanitas, Fundacion Universitaria Sanitas, Bogota, Colombia |
| | | | 15 Institut du col, Paris, France |
| | | | 16 National Institute of Cancer, Bogotá, Colombia. |
| | | | 17 Department of Obstetrics and Gynecology, Duke University Medical Center, Durham, NC, USA |
| | | | 18 Department of Obstetrics and Gynecology, University Central Hospital, Helsinki, Finland |
| | | | 19 Faculty of Tropical Medicine, Mahidol University, Thailand |
| | | | 20 Direction des Risques Biologiques et de la Santé au travail, Institut National de Santé Publique du Québec, Montréal, QC, Canada |
| | | | 21 Departments of Pathology and Obstetrics and Gynecology, University of New Mexico Health Sciences Center, Albuquerque, NM, USA |
| | | | 22 Merck & Co., Inc., Kenilworth, NJ, USA; Universidad del Rosario, Bogota, Colombia |
| | | | 23 Merck & Co., Inc., Kenilworth, NJ, USA |
| Impact and Effectiveness of the Quadrivalent Human Papillomavirus Vaccine: A Systematic Review of 10 Years of Real-world Experience | Clin Infect Dis 2016;63(4):519-27 | Garland SM ¹ , Kjaer SK ² , Muñoz N ³ , Block SL ⁴ , Brown DR ⁵ , DiNubile MJ ⁶ , Lindsay BR ⁶ , Kuter BJ ⁶ , Perez G ⁷ , Dominiak-Felden G ⁸ , Saah AJ ⁶ , Drury R ⁸ , Das R ⁶ , Velicer C ⁶ | 1 Royal Women's Hospital, University of Melbourne, Murdoch Childrens Research Institute, Victoria, Australia |
| | | | 2 Danish Cancer Society Research Center and Department of Gynecology, Rigshospitalet, University of Copenhagen, Denmark |
| | | | 3 Colombian National Institute of Cancer, Bogota |
| | | | 4 Kentucky Pediatric and Adult Research, Bardstown |
| | | | 5 Indiana University School of Medicine, Indianapolis |
| | | | 6 Merck & Co, Inc, Kenilworth, New Jersey |
| | | | 7 Merck & Co, Inc, Kenilworth, New Jersey Universidad del Rosario, Bogota, Colombia |
| | | | 8 Sanofi Pasteur MSD, Lyon, France |

Tabla 59. Publicaciones científicas por grupo, según filiación del primer autor, INC, Colombia, 2016

| Nombre de la publicación | Medio de publicación | Autores | Grupo / Servicio |
|--|---------------------------------------|--|---|
| Evaluation of the immunogenicity of the quadrivalent HPV vaccine using 2 versus 3 doses at month 21: An epidemiological surveillance mechanism for alternate vaccination schemes | Hum Vaccin Immunother 2016;12(1):30-8 | Hernández-Ávila M ¹ Torres-Ibarra L ¹ Stanley M ² Salmerón J ^{1,3} Cruz-Valdez A ¹ , Muñoz N ⁴ Herrero R ⁵ Villaseñor-Ruíz IF ⁶ Lazcano-Ponce E ¹ | <ol style="list-style-type: none"> 1 Center for Population Health Research; National Institute of Public Health; Cuernavaca, Morelos, Mexico 2 University of Cambridge; Cambridge, UK 3 Unidad de Investigación Epidemiológica y en Servicios de Salud; Instituto Mexicano del Seguro Social; Cuernavaca, Morelos, México 4 National Institute of Cancer; Bogotá, Colombia. 5 International Agency for Research on Cancer; Lyon, France 6 Centro Nacional para la Salud de la Infancia y la Adolescencia; Mexico City, Mexico |

(continúa)

Glosario

Para mayor claridad y comprensión por parte del lector en el glosario se proveen algunas definiciones técnicas y operativas que están relacionadas con cada una de las secciones a las que hace referencia el Anuario. En el caso de la asistencia hospitalaria, se recogieron los conceptos que rutinariamente utilizan los especialistas y profesionales del Instituto Nacional de Cancerología en el desarrollo de sus actividades, los cuales no necesariamente coinciden en todos los casos con sus definiciones teóricas.





85 Años
1934 - 2019
Por el control
del cáncer

Glosario

En el glosario se define cómo se utilizan los conceptos en cada uno de los grandes procesos a los que hace referencia el Anuario. Para facilidad de los lectores, el glosario está organizado por cada una de las secciones del Anuario. En el caso de la asistencia hospitalaria, se recogieron los conceptos que rutinariamente utilizan los especialistas y profesionales del Instituto Nacional de Cancerología en el desarrollo de sus actividades, los cuales no necesariamente coinciden en todos los casos con sus definiciones teóricas.

Registro institucional de cáncer

Base de diagnóstico: hace referencia a la forma en que los pacientes accedieron a la atención médica y a la definición del diagnóstico. Se recoge con base en el método más válido durante el curso de la enfermedad. Permite diferenciar las neoplasias verificadas microscópicamente de las que no lo fueron (1, 2).

Cáncer: crecimiento anormal y desordenado de las células de un órgano o sistema determinado que tienen la capacidad de producir metástasis a distancia.

Caso de cáncer: paciente con diagnóstico confirmado de cáncer con base en un método de diagnóstico, independientemente de que haya sido diagnosticado y tratado en otra institución.

Caso nuevo de cáncer: presentación de un caso de cáncer nuevo que no ha sido reportado como tal en la información del registro institucional – es posible que tuvo un diagnóstico previo en otra institución. Es importante tener en cuenta que un mismo paciente puede presentar varios casos nuevos de cáncer si la localización anatómica o la histología son diferentes.

Clasificación de caso: define la condición del caso nuevo de cáncer en relación con los servicios prestados en la institución (caso diagnosticado y tratado en la institución, caso diagnosticado fuera y tratado en la institución, caso diagnosticado y tratado en otra institución y viene para tratamiento complementario).

Confirmación microscópica: o verificación histológica, es la confirmación de la presencia de células neoplásicas en un fragmento extraído de la neoplasia, que ha sido examinado a través de un microscopio por parte del patólogo.

Entidades administradoras de planes de beneficios: Bajo el párrafo del Artículo 4o. del Decreto 1018 de 2007 del Ministerio de la Protección Social determina: “Se entiende por Entidades administradoras de planes de beneficios de salud (EAPB) las Entidades Promotoras de Salud del Régimen Contributivo y Subsidiado, Empresas Solidarias de Salud, las Asociaciones Mutuales en sus actividades de Salud, las Entidades Promotoras de Salud Indígenas, las Cajas de Compensación Familiar en sus actividades de salud, las Entidades que administren planes adicionales de salud, las entidades obligadas a compensar, las entidades adaptadas de Salud, las entidades pertenecientes al régimen de excepción de salud y las universidades en sus actividades de salud”(3).

Primario múltiple: más de un tumor presente en una misma persona.

Registro institucional de cáncer: sistema de recolección, almacenamiento, procesamiento, análisis, interpretación y uso continuo de la información sobre la presentación y las características de los casos nuevos de cáncer atendidos en la institución (4).

Tratamiento: son los tipos de terapéutica recibidos en la institución: reportados en categorías: cirugía, quimioterapia, radioterapia, yodoterapia, inmunoterapia y cuidado paliativo. Es posible que un paciente tenga varias combinaciones. Los casos que aparecen sin tratamiento se deben a distintas causas cuyas opciones corresponden a aseguramiento, no tratable, seguimiento, abandono del tratamiento o de la institución, remisión, bajos recursos y muerte.

- Aseguramiento: la Empresa Promotora de Salud no emite autorizaciones para la atención en el INC.
- No tratable: casos en estado avanzado, carcinomatosis.
- Seguimiento: pacientes ya tratados en otras instituciones y son remitidos para control o seguimiento únicamente.
- Abandono: pacientes que no continúan la atención en la institución.
- Remisión: el paciente tiene alguna condición o tratamiento que no realiza el INC y que debe hacerse en otra institución.
- Muerte: mueren y no alcanzan a tener un tratamiento en la institución.

Registro de mortalidad institucional

Causa básica de defunción: enfermedad o lesión que inicia la cadena de acontecimientos patológicos que condujeron directamente a la muerte. Su codificación se basa en la Clasificación Internacional de Enfermedades, 10ª versión.

Certificado de defunción: instrumento de recolección de las defunciones establecido por el Sistema de Registro Civil y Estadísticas Vitales, que tiene fines legales y estadísticos. Defunción certificada: defunción cuyo certificado haya sido diligenciado por un médico, en este caso por un médico que trabaja en el INC, independientemente del lugar de fallecimiento.

Mortalidad hospitalaria: defunciones certificadas cuyo lugar de ocurrencia es una institución hospitalaria, en este caso el INC.

Producción hospitalaria

Aféresis: concentrado de plaquetas que equivale a 8 o 10 unidades obtenidas de los donantes de sangre.

Braquiterapia: o radioterapia interna, es un tratamiento en el que la fuente de radiación se coloca dentro de su cuerpo, y esta puede ser sólida o líquida. Utiliza fuentes radioactivas para dar una dosis a corta distancia por medio de aplicaciones intracavitarias, intraluminales e intersticiales.

Braquiterapia de alta tasa: braquiterapia a dosis mayores de 12 Gys/hora.

Braquiterapia de baja tasa: braquiterapia a dosis de 0,4 a 2 Gys/hora.

Concentración consulta externa: número de veces que un servicio de consulta externa se le presta al mismo paciente en un periodo.

Consulta de control: consulta realizada al paciente con diagnóstico de cáncer al que, dependiendo de la gravedad de la enfermedad y de la respuesta al tratamiento, se le hacen seguimientos por parte del médico y del residente. El paciente debe llegar con toda la batería de exámenes necesarios para continuar con el estudio. En el caso de radioterapia, el control se hace cada vez que el paciente requiera valoración durante el tratamiento, al final del cual se da comienzo a las consultas de seguimiento.

Consultas de primera vez: consultas efectivas realizadas por los médicos a un paciente que asiste por primera vez, es decir que no tiene historia clínica de consulta externa.

Consultas de urgencia: sumatoria de consultas realizadas en GAICA (Grupo de Atención Inmediata en Cáncer) y en urgencias pediátricas.

Consultas totales: incluye consultas de urgencia, urgencias pediátricas, consultas de control, consultas de primera vez en la vida, interconsultas Grupo de Atención Inmediata en Cáncer (GAICA), interconsultas hospitalarias y juntas de decisión.

Días cama desocupada: número de días que estuvieron desocupadas las camas durante un periodo.

Días cama disponible: sumatoria de los días cama disponibles en el periodo. Una cama disponible es aquella cama habilitada que está en condiciones de uso para la atención de pacientes durante 24 horas y cuenta con la dotación de recurso físico, humano, material y tecnológico. El número de camas disponibles es igual a la sumatoria de camas utilizadas más camas desocupadas. Las camas que existen físicamente pero que no cuentan con la dotación mencionada, no se consideran camas disponibles.

Días cama utilizada: número de días que estuvieron ocupadas las camas durante un periodo.

Días estancia egresos: sumatoria de los días que permanece hospitalizado cada uno de los pacientes que egresan durante un periodo de tiempo.

Egresos hospitalarios: número total de pacientes dados de alta de los servicios de internación del Instituto Nacional de Cancerología. No incluye GAICA (Grupo de Atención Inmediata en Cáncer) ni UCIs (Unidades de Cuidado Intensivo).

Giro cama: relación entre el número de egresos y el número de camas hospitalarias habilitadas.

Inmunoterapia: terapia biológica (sustancias producidas por organismos vivos) que ayuda al sistema inmunitario a combatir el cáncer.

Inmunoematología: proceso para detectar los antígenos y los anticuerpos de los eritrocitos o glóbulos rojos.

Interconsultas hospitalarias: número de remisiones para emisión de un concepto clínico que los servicios de internación solicitan a consulta externa.

Intervalo de sustitución: relación en la que el numerador corresponde al promedio de días estancia multiplicado por el porcentaje de desocupación, y el denominador, al porcentaje ocupacional.

Inyección de modificación de respuesta: inyección de moduladores biológicos para el tratamiento contra el cáncer.

Junta de decisiones: número de reuniones clínicas de varios especialistas para la definición de conducta frente a un determinado tipo de paciente.

Monoquimioterapia: uso de un agente único activo contra la enfermedad neoplásica.

Pacientes con cáncer: número de pacientes remitidos de diferentes instituciones con diagnóstico de cáncer.

Poliquimioterapia: combinación de dos o más agentes activos contra la enfermedad neoplásica.

Porcentaje de ocupación: número de días cama ocupada en el periodo sobre el número de días cama disponible del mismo periodo. Se expresa en términos porcentuales.

Procedimiento quirúrgico: número de intervenciones realizadas a un paciente en salas de cirugía, en cirugía ambulatoria, o algunas intervenciones en otros servicios determinadas por el cirujano o el anestesiólogo.

Promedio estancia: sumatoria de los días de estancia de los pacientes con egreso dividido por total de egresos hospitalarios. Corresponde al tiempo promedio en que permanece hospitalizado un paciente. No incluye GAICA (Grupo de Atención Inmediata en Cáncer) ni UCIs (Unidades de Cuidado Intensivo).

Quimioterapia: tratamiento que usa fármacos para destruir células cancerosas. Esta puede usarse para curar el cáncer, para reducir las posibilidades de que regrese, o para hacer lento su crecimiento.

Radioterapia: tratamiento que usa altas dosis de radiación para destruir células cancerosas y reducir tumores.

Relación consulta egreso: relación entre el número de consultas totales en un periodo determinado, dividido por el número de egresos de cada periodo.

Sesión de radioterapia: tiempo requerido, usualmente cerca de 15 minutos, para un tratamiento no complicado de un paciente en una unidad de megavoltaje.

Sesiones con acelerador: teleterapia con acelerador lineal.

Teleterapia: o radioterapia externa, tipo de radioterapia local que trata una parte específica del cuerpo. Utiliza equipos que emiten radiaciones ionizantes a distancias mayores de 30 a 40 cm hasta 100 cm.

Terapia hormonal: tratamiento con hormonas o terapia endocrina, que hace lento o detiene el crecimiento del cáncer.

Tratamientos con megavoltaje: tratamientos con equipos de cobalto o aceleradores lineales, que emiten radiaciones ionizantes con equipos iguales o mayores a 1 megavoltio (Mv).

Infecciones asociadas a la atención en salud

Bacteremia asociada a catéter venoso central: paciente con síntomas clínicos de bacteremia, sin otro foco aparente de infección, en quien se aísla tanto en un cultivo semicuantitativo de la punta del catéter venoso central, como en un hemocultivo periférico, el mismo microorganismo.

Infecciones asociadas a la atención en salud: infecciones que el paciente adquiere mientras recibe tratamiento para alguna condición médica o quirúrgica, y en quien la infección no se había manifestado ni estaba en periodo de incubación en el momento del ingreso a la institución; pueden ocurrir durante la estancia hospitalaria o hasta 72 horas después del egreso del paciente. En caso de prótesis pueden presentarse hasta doce meses después.

Número de aislamientos de acuerdo con el tipo de muestra según microorganismos: número de aislamientos microbiológicos detectados para cada microorganismo de acuerdo con los tipos de muestras enviadas al laboratorio de microbiología.

Resistencia a los antimicrobianos (o farmacorresistencia): se produce cuando los microorganismos, sean bacterias, virus, hongos o parásitos, sufren cambios que hacen que los medicamentos utilizados para curar las infecciones dejen de ser eficaces.

Referencias

- 1.** Jensen OM, Parkin DM, MacLennan R, Muir CS, Skeet RG. Cancer Registration: Principles and Methods. Items of patient information which may be collected by registries. Scientific Publication No. 95. Lyon, France: International Agency for Research on Cancer; 1991. Disponible en: <http://www.iarc.fr/en/publications/pdfs-online/epi/sp95/sp95-chap6.pdf>
- 2.** Organización Mundial de la Salud. Clasificación Internacional de Enfermedades para Oncología (CIEO-3). Tercera edición. Ginebra: Organización Mundial de la Salud; 2000.
- 3.** Superintendencia Nacional de Salud – Supersalud. Título II Entidades Administradoras de Planes de Beneficios (EAPB). Circular única – documentos - Supersalud, 2009. Disponible en: https://docs.supersalud.gov.co/PortalWeb/Juridica/CircularUnica/CIR%20U_T_II.pdf.
- 4.** Jensen OM, Parkin DM, MacLennan R, Muir CS, Skeet RG. Cancer Registration: Principles and Methods. The hospital-based cancer registry. Scientific Publication No. 95. Lyon, France: International Agency for Research on Cancer; 1991. Disponible en: <http://www.iarc.fr/en/publications/pdfs-online/epi/sp95/sp95-chap13.pdf>



El futuro
es de todos

Gobierno
de Colombia



Instituto Nacional de Cancerología-ESE Colombia

Por el control del cáncer

Calle 1 # 9-85 Bogotá D.C · (571)432 -0160 ext. 4803 - 4806
Grupo Vigilancia Epidemiológica del Cáncer
Resto del país: 018000 - 414414
comunicaciones@cancer.gov.co

www.cancer.gov.co



Instituto Nacional de Cancerología



INCancerología